



ระบบผู้เชี่ยวชาญอัตโนมัติสำหรับการวิเคราะห์หินในทางเดินปัสสาวะจากอินฟราเรด  
สเปกโตรแกรม

**Automated Expert System for Urolithiasis Classification from Infrared  
Spectrogram**

เจียรไน พลนุ้ย

**Jiaranai Ponnui**

วิทยานิพนธ์นี้เป็นส่วนหนึ่งของการศึกษาตามหลักสูตรปริญญา  
วิศวกรรมศาสตรมหาบัณฑิต สาขาวิชาวิศวกรรมไฟฟ้า  
มหาวิทยาลัยสงขลานครินทร์

**A Thesis Submitted in Partial Fulfillment of the Requirements for the Degree of  
Master of Engineering in Electrical Engineering  
Prince of Songkla University**

2557

ลิขสิทธิ์ของมหาวิทยาลัยสงขลานครินทร์



ระบบผู้เชี่ยวชาญอัตโนมัติสำหรับการวิเคราะห์หินในทางเดินปัสสาวะจากอินฟราเรด  
สเปกโตรแกรม

**Automated Expert System for Urolithiasis Classification from Infrared  
Spectrogram**

เจียรไน พลนุ้ย

**Jiaranai Ponnui**

วิทยานิพนธ์นี้เป็นส่วนหนึ่งของการศึกษาตามหลักสูตรปริญญา

วิศวกรรมศาสตรมหาบัณฑิต สาขาวิชาวิศวกรรมไฟฟ้า

มหาวิทยาลัยสงขลานครินทร์

**A Thesis Submitted in Partial Fulfillment of the Requirements for the Degree of**

**Master of Engineering in Electrical Engineering**

**Prince of Songkla University**

**2557**

ลิขสิทธิ์ของมหาวิทยาลัยสงขลานครินทร์

ชื่อวิทยานิพนธ์                      ระบบผู้เชี่ยวชาญอัตโนมัติสำหรับการวิเคราะห์แนวโน้มในทางเดินปัสสาวะจาก  
อินฟราเรดสเปกโตรแกรม

ผู้เขียน                                      นางสาวเจียรระโน พลนุ้ย

สาขาวิชา                                  วิศวกรรมไฟฟ้า

อาจารย์ที่ปรึกษาวิทยานิพนธ์หลัก

คณะกรรมการสอบ

.....  
(รองศาสตราจารย์ บุญเจริญ วงศ์กิตติศึกษา)

.....ประธานกรรมการ  
(รองศาสตราจารย์ ดร.พรชัย พุกภัยภัทรานนท์)

อาจารย์ที่ปรึกษาวิทยานิพนธ์ร่วม

.....กรรมการ  
(รองศาสตราจารย์ บุญเจริญ วงศ์กิตติศึกษา)

.....  
(ผู้ช่วยศาสตราจารย์ สวัสดิ์ ตันตานุช)

.....กรรมการ  
(ผู้ช่วยศาสตราจารย์ สวัสดิ์ ตันตานุช)

.....กรรมการ  
(ดร.อจลวิษญ์ ฉันทวีโรจน์)

บัณฑิตวิทยาลัย มหาวิทยาลัยสงขลานครินทร์ อนุมัติให้รับวิทยานิพนธ์ฉบับนี้เป็น  
ส่วนหนึ่งของการศึกษา ตามหลักสูตรปริญญา วิศวกรรมศาสตรมหาบัณฑิต สาขาวิชา  
วิศวกรรมไฟฟ้า

.....  
(รองศาสตราจารย์ ดร.ธีระพล ศรีชนะ)

คณบดีบัณฑิตวิทยาลัย

ขอรับรองว่า ผลงานวิจัยนี้เป็นผลมาจากการศึกษาวิจัยของนักศึกษาเอง และขอขอบคุณผู้ที่มีส่วน  
เกี่ยวข้องทุกท่านไว้ ณ ที่นี้

ลงชื่อ.....

(รองศาสตราจารย์ บุญเจริญ วงศ์กิตติศึกษา)

อาจารย์ที่ปรึกษาวิทยานิพนธ์

ลงชื่อ.....

(นางสาวเจียรระโน พลนุ้ย)

นักศึกษา

ข้าพเจ้าขอรับรองว่า ผลงานวิจัยนี้ไม่เคยเป็นส่วนหนึ่งในการอนุวัติปริญญาในระดับใดมาก่อน และ  
ไม่ได้ถูกใช้ในการยื่นขออนุวัติปริญญาในขณะนี้

ลงชื่อ.....

(นางสาวเจียรระไน พลนุ้ย)

นักศึกษา

|                 |   |
|-----------------|---|
| ชื่อวิทยานิพนธ์ | ระบบผู้เชี่ยวชาญอัตโนมัติสำหรับการวิเคราะห์น้ำในทางเดินปัสสาวะจากอินฟราเรดสเปกโทรแกรม |
| ผู้เขียน        | นางสาวเจียรระไน พลนุ้ย  |
| สาขาวิชา        | วิศวกรรมไฟฟ้า   |
| ปีการศึกษา      | 2556  |

### บทคัดย่อ

โรคนิ่วในทางเดินปัสสาวะเป็นกลุ่มโรคที่พบได้มากในปัจจุบัน สาเหตุ มาจากค่านิยมในการบริโภคอาหาร และการสะสมของเสียภายในร่างกาย เป้าหมายหลักในการรักษานิ่วประกอบด้วย 2 ส่วนคือการกำจัดนิ่วออกและการป้องกันการกลับมาเป็นซ้ำ ซึ่งมีโอกาสกลับมาเป็นซ้ำสูงถึงร้อยละ 39 การทราบองค์ประกอบของนิ่วจะช่วย ป้องกันปัญหานี้ได้ วิธีอินฟราเรดสเปกโทร สโกปีเป็นวิธีที่เหมาะสมที่สุดในการวิเคราะห์นิ่ว ลักษณะสเปกตรัมจะแตกต่างกันออกไปตามองค์ประกอบทางเคมีของแต่ละชนิด การแปลผลแบ่งออกเป็น 2 ส่วนคือการแปลผลเชิงคุณภาพซึ่งเป็นการใช้ตำแหน่งพีคในการจำแนกชนิดของนิ่ว และการแปลผลเชิงปริมาณในกรณีนี้ว่าชนิดผสม เพื่อบอกปริมาณของนิ่วแต่ละชนิดองค์ประกอบ

วัตถุประสงค์ของงานวิจัยนี้คือการจำแนกชนิดของนิ่วในทางเดินปัสสาวะ และบอกปริมาณในกรณีนี้ว่าชนิดผสม ปัญหาเบื้องต้นที่พบได้จากการแปลผลจากอินฟราเรดสเปกตรัมตั้งต้นคือ ความแปรปรวนของเส้นแนวโน้ม ดังนั้นจึงเลือก การทำอนุพันธ์อันดับ หนึ่งและอันดับสองซึ่งมีประสิทธิภาพเป็นอย่างมาก มาใช้ในการกำจัดเส้นแนวโน้ม แต่ผลที่ตามมาคือ ปรากฏสัญญาณรบกวน ปะปนอยู่บนสเปกตรัม ดังนั้นจึงมีการกำจัดสัญญาณรบกวนโดยใช้ ตัวกรองซาวีตส์กี-โกเลย์เปรียบเทียบกับวิธีวิเคราะห์หลายระดับความละเอียดเพื่อหาวิธีการที่ดีที่สุดในการกำจัดสัญญาณรบกวน โดยประเมินผลจากค่า SNR ปรากฏว่า ตัวกรองซาวีตส์กี-โกเลย์ พหุนามอันดับสองขนาดหน้าต่างพิจารณาเท่ากับ 5 มีผลการวัดค่า SNR ดีที่สุดเท่ากับ 64.04 ในขณะที่วิธีวิเคราะห์หลายระดับความละเอียด นั้นให้ผลการวัดค่า SNR ที่ดีที่สุดเท่ากับ 48.05 เมื่อใช้เวฟ เล็ต db08(L2) เมื่อเปรียบเทียบผลการระบุตำแหน่งพีคจากทั้งสองวิธีดังกล่าวกับการระบุตำแหน่งพีคจากอินฟราเรดสเปกตรัมตั้งต้น พบว่าผลการระบุตำแหน่งพีคจากสเปกตรัมตั้งต้นนั้นมีเปอร์เซ็นต์ความถูกต้องมากกว่าผลจากการทำอนุพันธ์อันดับสองในกรณีของนิ่วชนิดเดี่ยว ส่วนกรณีนี้ว่าชนิดผสมนั้นพบว่าอนุพันธ์อันดับสองสามารถระบุตำแหน่งพีคสำคัญของนิ่วองค์ประกอบได้มากกว่า เนื่องจากสามารถจำแนกพีคที่มีการซ้อนทับกันได้

ในส่วนของการแปลผลเชิงปริมาณของนิวชนิดผสม โดยวิธี zero-crossing first-derivative และการวัดค่าความเข้มข้น จากตำแหน่งความถี่  $1324\text{ cm}^{-1}$  ซึ่งเป็นพีคของนิวแคลเซียมออกซาเลตไดไฮเดรต จากวิธีตัวกรองซาวีสกี-โกเลย์ และวิธีวิเคราะห์หลายระดับความละเอียด เมื่อนำมาประเมิน ผลค่าความผิดพลาดเบี่ยงเบนมาตรฐาน (SEP) พบว่ามีค่า 0.0129 และ 0.0127 ตามลำดับ แต่พบว่าค่าความเข้มข้นที่ได้จากตำแหน่งพีคของนิวแคลเซียมออกซาเลตไดไฮเดรตที่ได้จากการทำอนุพันธ์อันดับสอง ซึ่งเป็นผลจากการทดลองมีค่าสอดคล้องกับ ค่าความเข้มข้นที่ได้จากเส้นโค้งอ้างอิงมากกว่า

คำสำคัญ      นิวในทางเดินปัสสาวะ อินฟราเรดสเปกโทรสโกปี ตัวกรองซาวีสกี-โกเลย์ วิธีวิเคราะห์หลายระดับความละเอียด

|                      |   |
|----------------------|---|
| <b>Thesis Title</b>  | Automated Expert System for Urolithiasis Classification from Infrared Spectrogram |
| <b>Author</b>        | Miss Jiaranai Ponnui  |
| <b>Major Program</b> | Electrical Engineering  |
| <b>Academic Year</b> | 2013  |

### ABSTRACT

Urolithiasis is frequently found in nowadays because of consumer behavior and accumulation of waste products in the body. Goals are removing and preventing a recurrence of urinary stone, which has a chance to recurrent high 39 percent after surgery. The knowledge of the chemical composition is important to prevent recurrence of stones. Infrared spectroscopy is suitable method for analysis urinary stone composition. Each spectrum is depended on chemical formula. The interpretation of infrared spectra separate in 2 types; qualitative analysis and quantitative analysis.

The purpose of this research is classification of Urolithiasis from infrared spectroscopy and measuring quantitative in case of mixed stone. The first problem of interpreting is baseline offset from zero because of scattering of light. The 1<sup>st</sup> and 2<sup>nd</sup> derivative are high performance to eliminate baseline slope but it affected by noise. Savitzky-Golay filter (2 polynomial, 5 side points) are compared with multiresolution analysis method (db08(L2) for noise removal. Savitzky-Golay filter is better than multiresolution analysis method because Savitzky-Golay filter has SNR value = 64.04, on the others hand multiresolution analysis method has SNR value only 48.05. However, the qualitative analysis results from original spectrum are better than 2 methods in case of pure stone. For mixed stone, the results from second derivative can identify peaks more than original spectrum because the second derivative has performance for distinguish the overlapped peaks.

In case of quantitative analysis with COM-COD mixed stone, the analysis employ zero-crossing first-derivative and calculation intensity value at  $1324\text{ cm}^{-1}$  which is COD's peak. The results of Savitzky-Golay filter has SEP value = 0.0129 and the results of multiresolution analysis method has SEP value = 0.0127, respectively.



Keyword: Urolithiasis, Infrared spectroscopy, Savitzky-Golay filter, Multiresolution analysis method

## สารบัญ

|   | หน้า |
|---|------|
| สารบัญ  | (10) |
| รายการตาราง   | (14) |
| รายการภาพประกอบ   | (15) |
| สัญลักษณ์คำย่อและตัวย่อ   | (20) |
| บทที่ 1 บทนำ  | 1    |
| 1.1 ความสำคัญและที่มาของงานวิจัย                                    | 1    |
| 1.2 การทบทวนวรรณกรรม  | 4    |
| 1.2.1 การประมวลผลสัญญาณขั้นต้น (preprocessing methods)              | 4    |
| 1.2.2 การดึงคุณลักษณะสำคัญของสัญญาณ (feature extraction)            | 6    |
| 1.3 วัตถุประสงค์  | 7    |
| 1.4 ขอบเขตงานวิจัย  | 7    |
| 1.5 ประโยชน์ที่คาดว่าจะได้รับ                                       | 7    |
| 1.6 วิธีดำเนินการวิจัย  | 7    |
| บทที่ 2 ทฤษฎีและหลักการ   | 9    |
| 2.1 นิ่วในทางเดินปัสสาวะ (urinary tract stones)                     | 9    |
| 2.2 เทคนิคการวิเคราะห์องค์ประกอบของนิ่วในปัจจุบัน                   | 11   |
| 2.3 ขั้นตอนการวิเคราะห์นิ่วโดยวิธีอินฟราเรดสเปกโทรสโกปี             | 11   |
| 2.4 อินฟราเรดสเปกโทรสโกปี (infrared spectroscopy)                   | 12   |
| 2.4.1 แสงอินฟราเรด (infrared radiation)                             | 12   |
| 2.4.2 ประเภทของการสั่น  | 15   |
| 2.4.3 อินฟราเรดสเปกตรัม (IR spectrum)                               | 16   |
| 2.4.4 ตำแหน่งของแถบดูดกลืน  | 18   |
| 2.5 การแปลผลจากอินฟราเรดสเปกตรัม                                    | 19   |
| 2.5.1 ระเบียบวิธีการจัดการอินฟราเรดสเปกตรัม (spectrum manipulation) | 19   |

## สารบัญ(ต่อ)

|  | หน้า |
|--|------|
| 2.5.1.1 การปรับเส้นพื้นฐาน (baseline correction)   | 19   |
| 2.5.1.2 การปรับเส้นเรียบ (smoothing)   | 21   |
| 2.5.1.3 อนุพันธ์สเปกตรัม (spectral derivatives)  | 22   |
| 2.5.1.4 การปรับขนาดสัญญาณบรรทัดฐาน (Normalization)   | 22   |
| 2.5.2 เทคนิคที่ใช้ในการแปลผล   | 23   |
| 2.5.2.1 การแปลงเวฟเล็ต (wavelet transform)   | 23   |
| 2.5.2.2 วิธีการวิเคราะห์สัญญาณแบบหลายระดับความละเอียด  | 24   |
| 2.5.2.3 ตัวกรองของซาวิตซ์กี-โกเลย์ (Savitzky-Golay filter)   | 24   |
| 2.5.2.4 การหาอนุพันธ์ (derivative)   | 27   |
| 2.5.3 การแปลผลเชิงคุณภาพ   | 28   |
| 2.5.3.1 นิ่วที่มีแคลเซียมเป็นองค์ประกอบหลัก (Calcium stone)  | 28   |
| 2.5.3.2 นิ่วแมกนีเซียม แอมโมเนียมฟอสเฟต (Magnesium Ammonium Phosphate stone) หรือนิ่วสตรูไวต์ (Struvite) | 33   |
| 2.5.3.3 นิ่วยูริก (Uric acid stone)  | 34   |
| 2.5.3.4 นิ่วซิสทีน (Cystine)   | 35   |
| 2.5.3.5 นิ่วแซนทีน (Xanthine)  | 36   |
| 2.5.4 การแปลผลเชิงปริมาณ   | 37   |
| 2.5.5 ตัวชี้วัดประสิทธิภาพ (performance indicator)   | 38   |
| 2.5.5.1 Signal-to-Noise Ratio (SNR)  | 38   |
| 2.5.5.2 Standard Error of Performance (SEP)  | 39   |
| บทที่ 3 การทดลอง   | 40   |
| 3.1 อินฟราเรดสเปกตรัมของนิ่วในทางเดินปัสสาวะที่นำมาทดลอง   | 40   |
| 3.1.1 สมมุติฐาน  | 40   |
| 3.1.2 ตัวอย่างของนิ่วที่ใช้ในการทดลอง  | 41   |
| 3.2 ระเบียบวิธีการจัดการอินฟราเรดสเปกตรัม  | 42   |
| 3.3 ขั้นตอนการทดลอง  | 43   |

## สารบัญ(ต่อ)

|  | หน้า |
|--|------|
| 3.4 เครื่องมือและการกำหนดค่าพารามิเตอร์ของเครื่องมือที่ใช้ใน โปรแกรม LabVIEW                                       | 44   |
| 3.5 แผนภูมิแสดงขั้นตอนการทดลอง   | 45   |
| บทที่ 4 ผลการทดลอง   | 46   |
| 4.1 ขั้นตอนประมวลผลสัญญาณขั้นต้น   | 46   |
| 4.1.1 การปรับขนาดสัญญาณบรรทัดฐาน (normalization)   | 46   |
| 4.1.2 ขั้นตอนการกำจัดเส้นแนวโน้มพื้นฐาน (baseline correction)  | 47   |
| 4.1.3 การปรับเส้นเรียบสเปกตรัม (spectral smoothing)  | 48   |
| 4.1.3.1 ผลการวัดค่า SNR ของอินฟราเรดสเปกตรัมตั้งต้น  | 49   |
| 4.1.3.2 ผลการวัดค่า SNR ของอินฟราเรดสเปกตรัมหลังผ่านการกรองสัญญาณ โดยวิธีตัวกรองซาวีตส์กี-โกเลย์                   | 49   |
| 4.1.3.3 ผลการวัดค่า SNR ของอินฟราเรดสเปกตรัมหลังผ่านการกรองสัญญาณ โดยวิธีการวิเคราะห์สัญญาณแบบหลายระดับความละเอียด | 52   |
| 4.2 การแปลผลเชิงคุณภาพ (Qualitative analysis)  | 55   |
| 4.2.1 การกำหนดค่าเครื่องมือใน โปรแกรม LabVIEW เพื่อระบุตำแหน่งพิก  | 55   |
| 4.2.1.1 กรณีอินฟราเรดสเปกตรัมที่ไม่ผ่านการประมวลผลสัญญาณขั้นต้น  | 55   |
| 4.2.1.2 กรณีอินฟราเรดสเปกตรัมที่ผ่านการประมวลผลสัญญาณขั้นต้น และผ่านการทำอนุพันธ์อันดับสอง                         | 57   |
| 4.2.2 การแปลผลเชิงคุณภาพของอินฟราเรดสเปกตรัมกรณีไม่ผ่านการประมวลผลขั้นต้น  | 58   |
| 4.2.2.1 นิ้วแคลเซียมออกซาลेटโมโนไฮเดรต   | 58   |
| 4.2.2.2 นิ้วแคลเซียมออกซาลेटไดไฮเดรต   | 59   |
| 4.2.2.3 นิ้วสตูไวท์  | 59   |
| 4.2.2.4 นิ้วแซนทีน   | 60   |
| 4.2.2.5 นิ้วซิสทีน   | 61   |

## สารบัญ(ต่อ)

|  | หน้า |
|--|------|
| 4.2.2.6 นีวรูไฮต์  | 61   |
| 4.2.2.7 นีวูริก  | 62   |
| 4.2.2.8 นีวผสมระหว่างนีวแคลเซียมออกซาลेटโมโนไฮเดรตกับนีว<br>แคลเซียมออกซาลेटไดไฮเดรต   | 63   |
| 4.2.3 การแปลผลเชิงคุณภาพของอินฟราเรดสเปกตรัมหลังผ่านการ<br>ประมวลผลสัญญาณขั้นต้นและการทำอนุพันธ์อันดับสอง                      | 67   |
| 4.2.3.1 กรณีใช้ตัวกรองซาวีสกี-โกเลย์   | 67   |
| 4.2.3.2 กรณีใช้วิธีวิเคราะห์หลายระดับความละเอียด   | 71   |
| 4.3 ผลการแปลผลเชิงปริมาณ   | 73   |
| บทที่ 5 สรุปผลการทดลองและข้อเสนอแนะ  | 81   |
| 5.1 การวิเคราะห์และสรุปผลการทดลอง  | 81   |
| 5.1.1 ผลการทดลองจากขั้นตอนการประมวลผลสัญญาณขั้นต้น   | 81   |
| 5.1.2 ผลการแปลผลเชิงคุณภาพ   | 81   |
| 5.1.3 ผลการการแปลผลเชิงปริมาณจากจากวิธี zero-crossing first-derivative<br>และการประเมินค่า Standard Error of Performance (SEP) | 82   |
| 5.2 ปัญหาและข้อเสนอแนะ   | 82   |
| 5.2.1 ปัญหา  | 82   |
| 5.2.2 ข้อเสนอแนะ   | 83   |
| บรรณานุกรม   | 84   |
| ภาคผนวก  | 88   |
| ภาคผนวก ก ผลงานที่ตีพิมพ์  | 89   |
| ประวัติผู้เขียน  | 95   |

### รายการตาราง

|              |  | หน้า |
|--------------|--|------|
| ตารางที่ 2.1 | รังสีแม่เหล็กไฟฟ้าช่วงต่าง ๆ   | 13   |
| ตารางที่ 2.2 | ช่วงคลื่นของอินฟราเรด  | 14   |
| ตารางที่ 3.1 | ตัวอย่างของนิวที่ใช้ในการทดลอง   | 41   |
| ตารางที่ 4.1 | ผลการวัดค่า SNR ของอินฟราเรดสเปกตรัมตั้งต้น  | 49   |
| ตารางที่ 4.2 | อัตราส่วนร้อยละของปริมาณองค์ประกอบนิวชนิดผสมชนิดแคลเซียมออกซาลेट โมโนไฮดรตต่อนิวแคลเซียมออกซาลेटไดไฮดรต และส่วนประกอบไม่ทราบชนิด | 65   |
| ตารางที่ 4.3 | ค่าความเข้มข้นที่ตำแหน่งแถบดูดกลืน $1324\text{ cm}^{-1}$ ของนิวเดี่ยวชนิดแคลเซียมออกซาลेट โมโนไฮดรต (COM)                        | 76   |
| ตารางที่ 4.3 | ค่าความเข้มข้นที่ตำแหน่ง $1324\text{ cm}^{-1}$ ของนิวผสมชนิดแคลเซียมออกซาลेट โมโนไฮดรต (COM) และนิวแคลเซียมออกซาลेटไดไฮดรต(COD)  | 78   |

## รายการภาพประกอบ

|                |  | หน้า |
|----------------|--|------|
| ภาพประกอบ 1-1  | จำนวนประชากรทั้งประเทศที่ป่วยเป็นโรคนิวในทางเดินปัสสาวะตั้งแต่ปีพ.ศ. 2550-2553   | 1    |
| ภาพประกอบ 1-2  | จำนวนประชากรที่ป่วยเป็นโรคนิวในทางเดินปัสสาวะตั้งแต่ปีพ.ศ. 2550-2553 โดยจำแนกตามภูมิภาค  | 2    |
| ภาพประกอบ 2-1  | ตำแหน่งที่พบนิวในทางเดินปัสสาวะ  | 9    |
| ภาพประกอบ 2-2  | เทคนิคบดผสมก้อนนิวตัวอย่างกับโพแทสเซียมโบรไมด์   | 12   |
| ภาพประกอบ 2-3  | เครื่องอินฟราเรดสเปกโทรสโกปี   | 12   |
| ภาพประกอบ 2-4  | การสัณพื้นฐานรูปแบบต่างๆ   | 15   |
| ภาพประกอบ 2-5  | ลักษณะของอินฟราเรดสเปกตรัมในรูปแบบการดูดกลืนแสง (Absorbance)   | 17   |
| ภาพประกอบ 2-6  | เส้นพื้นฐานถูก offset ขึ้นมาจากเส้นศูนย์   | 20   |
| ภาพประกอบ 2-7  | เส้นพื้นฐานมีค่าความชัน  | 21   |
| ภาพประกอบ 2-8  | เส้นพื้นฐานโค้ง  | 21   |
| ภาพประกอบ 2-9  | การเปรียบเทียบสเปกตรัมของสารที่ผ่านและไม่ผ่านการปรับเส้นเรียบ  | 22   |
| ภาพประกอบ 2-10 | (a) ลักษณะสัญญาณก่อนผ่านตัวกรองซาวีสกี-โกเลย์ (b) ลักษณะสัญญาณหลังผ่านตัวกรองซาวีสกี-โกเลย์ ที่มีจำนวนตำแหน่งในการพิจารณาเท่ากับ 65 ตำแหน่ง และมีอันดับของพหุนาม 2, 4 และ 6 ตามลำดับ | 26   |
| ภาพประกอบ 2-11 | ลักษณะสเปกตรัมหลังการแปลงอนุพันธ์อันดับต่างๆ   | 28   |
| ภาพประกอบ 2-12 | โครงสร้างทางเคมีของนิวเคลเซียมออกซาลेट โมโนไฮเดรต  | 28   |
| ภาพประกอบ 2-13 | อินฟราเรดสเปกตรัมของนิวเคลเซียมออกซาลेट โมโนไฮเดรต   | 29   |
| ภาพประกอบ 2-14 | โครงสร้างทางเคมีของนิวเคลเซียมออกซาลेट ไดไฮเดรต  | 30   |
| ภาพประกอบ 2-15 | อินฟราเรดสเปกตรัมของนิวเคลเซียมออกซาลेट ไดไฮเดรต   | 30   |
| ภาพประกอบ 2-16 | อินฟราเรดสเปกตรัมของนิวเคลเซียมฟอสเฟต  | 31   |
| ภาพประกอบ 2-17 | โครงสร้างทางเคมีของนิวรูโซท์   | 32   |
| ภาพประกอบ 2-18 | อินฟราเรดสเปกตรัมของนิวรูโซท์  | 32   |

### รายการภาพประกอบ(ต่อ)

|                | หน้า   |    |
|----------------|--|----|
| ภาพประกอบ 2-19 | โครงสร้างทางเคมีของนิวสตรูไวต์   | 33 |
| ภาพประกอบ 2-20 | อินฟราเรดสเปกตรัมของนิวสตรูไวต์  | 33 |
| ภาพประกอบ 2-21 | โครงสร้างทางเคมีของนิวยูริก  | 34 |
| ภาพประกอบ 2-22 | อินฟราเรดสเปกตรัมของนิวยูริก   | 34 |
| ภาพประกอบ 2-23 | โครงสร้างทางเคมีของนิวซิสทีน   | 35 |
| ภาพประกอบ 2-24 | อินฟราเรดสเปกตรัมของนิวซิสทีน  | 35 |
| ภาพประกอบ 2-25 | โครงสร้างทางเคมีของนิวแซนทีน   | 36 |
| ภาพประกอบ 2-26 | อินฟราเรดสเปกตรัมของนิวแซนทีน  | 36 |
| ภาพประกอบ 2-27 | เส้นโค้งมาตรฐานเปรียบเทียบ   | 37 |
| ภาพประกอบ 2-28 | ลักษณะการคำนวณค่า SNR สำหรับอินฟราเรดสเปกตรัม  | 38 |
| ภาพประกอบ 3-1  | หน้าต่างแสดงตัวอย่างอินฟราเรดสเปกตรัมจากโปรแกรม EZ<br>OMNIC  | 40 |
| ภาพประกอบ 3-2  | ระเบียบวิธีการจัดการอินฟราเรดสเปกตรัม  | 42 |
| ภาพประกอบ 3-3  | แผนภูมิแสดงขั้นตอนการทดลอง   | 45 |
| ภาพประกอบ 4-1  | ลักษณะอินฟราเรดสเปกตรัมตัวอย่างเมื่อแสดงผลโดยโปรแกรม<br>LabVIEW  | 46 |
| ภาพประกอบ 4-2  | อินฟราเรดสเปกตรัมหลังการทำ Normalization   | 47 |
| ภาพประกอบ 4-3  | อินฟราเรดสเปกตรัมเมื่อผ่านการทำอนุพันธ์อันดับหนึ่ง   | 48 |
| ภาพประกอบ 4-4  | ค่า SNR เฉลี่ยของอินฟราเรดสเปกตรัมหลังผ่านการกรองสัญญาณ<br>โดยวิธีตัวกรองซาวีสกี-โกเลย์  | 50 |
| ภาพประกอบ 4-5  | ผลการเปรียบเทียบขนาดพิกของอินฟราเรดสเปกตรัมหลังการทำ<br>smoothing ด้วยวิธีตัวกรองซาวีสกี-โกเลย์ที่หน้าต่างการพิจารณา<br>เท่ากับ 5 และ 11 side points | 51 |
| ภาพประกอบ 4-6  | ผลการเปรียบเทียบลักษณะสเปกตรัมก่อนและหลังการทำ<br>smoothing โดยวิธีตัวกรองซาวีสกี-โกเลย์ ที่หน้าต่างพิจารณาเท่ากับ<br>5 side points                  | 52 |



### รายการภาพประกอบ(ต่อ)

|                |   | หน้า |
|----------------|---|------|
| ภาพประกอบ 4-7  | ค่า SNR เฉลี่ยของอินฟราเรดสเปกตรัมหลังผ่านการกรองสัญญาณ โดยวิธีการวิเคราะห์สัญญาณแบบหลายระดับความละเอียด                    | 53   |
| ภาพประกอบ 4-8  | ผลการเปรียบเทียบขนาดพีคของอินฟราเรดสเปกตรัมหลังการทำ smoothing ด้วยวิธีการวิเคราะห์สัญญาณแบบหลายระดับความละเอียด (db08(L2)) | 54   |
| ภาพประกอบ 4-9  | ผลการเปรียบเทียบลักษณะสเปกตรัมก่อนและหลังการทำ smoothing ด้วยวิธีการวิเคราะห์สัญญาณแบบหลายระดับความละเอียด (db08(L2))       | 54   |
| ภาพประกอบ 4-10 | ผลการระบุตำแหน่งจากการกำหนดค่า width ค่าต่างๆ   | 56   |
| ภาพประกอบ 4-11 | อินฟราเรดสเปกตรัมที่ใช้เทคนิคตัวกรองซาวีสกี-โกเลย์ และผ่านการทำอนุพันธ์อันดับสอง  | 57   |
| ภาพประกอบ 4-12 | อินฟราเรดสเปกตรัมที่ใช้เทคนิควิเคราะห์หลายระดับความละเอียด และผ่านการทำอนุพันธ์อันดับสอง                                    | 58   |
| ภาพประกอบ 4-13 | หน้าต่างแสดงผลการหาค่าตำแหน่งพีคของนิวเคลเซียมออกซาลेट โมโนไฮเดรต   | 58   |
| ภาพประกอบ 4-14 | หน้าต่างแสดงผลการหาค่าตำแหน่งพีคของนิวเคลเซียมออกซาลेट ไดไฮเดรต   | 59   |
| ภาพประกอบ 4-15 | หน้าต่างแสดงผลการหาค่าตำแหน่งพีคของนิวสตูไวท์   | 60   |
| ภาพประกอบ 4-16 | หน้าต่างแสดงผลการหาค่าตำแหน่งพีคของนิวแซนทีน  | 60   |
| ภาพประกอบ 4-17 | หน้าต่างแสดงผลการหาค่าตำแหน่งพีคของนิวซิสทีน  | 61   |
| ภาพประกอบ 4-18 | หน้าต่างแสดงผลการหาค่าตำแหน่งพีคของนิวรูไรด์  | 62   |
| ภาพประกอบ 4-19 | หน้าต่างแสดงผลการหาค่าตำแหน่งพีคของนิวยูริก   | 62   |
| ภาพประกอบ 4-20 | เปอร์เซ็นต์ความถูกต้องในการระบุตำแหน่งพีคของนิวชนิดเดี่ยวที่ไม่ผ่านการประมวลผลสัญญาณขั้นต้น                                 | 63   |

### รายการภาพประกอบ(ต่อ)

|                | หน้า   |    |
|----------------|--|----|
| ภาพประกอบ 4-21 | (A) อินฟราเรดสเปกตรัมของน้ำออกซาเลตโมโนไฮเดรต (COM)<br>(B) อินฟราเรดสเปกตรัมของน้ำออกซาเลตไดไฮเดรต (COD) (C)<br>อินฟราเรดสเปกตรัมของน้ำผสมระหว่างน้ำออกซาเลตโมโนไฮ<br>เดรตกับน้ำออกซาเลตไดไฮเดรต (COM+COD) | 64 |
| ภาพประกอบ 4-22 | หน้าต่างแสดงผลการหาค่าแห่งพีคของอินฟราเรดสเปกตรัมน้ำ<br>ชนิดผสมระหว่างน้ำแคลเซียมออกซาเลตโมโนไฮเดรตกับน้ำ<br>แคลเซียมออกซาเลตไดไฮเดรต ตัวอย่างที่ 19   | 65 |
| ภาพประกอบ 4-23 | หน้าต่างแสดงผลการหาค่าแห่งพีคของอินฟราเรดสเปกตรัมน้ำ<br>ชนิดผสมระหว่างน้ำแคลเซียมออกซาเลตโมโนไฮเดรตกับน้ำ<br>แคลเซียมออกซาเลตไดไฮเดรต ตัวอย่างที่ 79   | 65 |
| ภาพประกอบ 4-24 | หน้าต่างแสดงผลการหาค่าแห่งพีคของอินฟราเรดสเปกตรัมน้ำ<br>ชนิดผสมระหว่างน้ำแคลเซียมออกซาเลตโมโนไฮเดรตกับน้ำ<br>แคลเซียมออกซาเลตไดไฮเดรต ตัวอย่างที่ 101  | 66 |
| ภาพประกอบ 4-25 | หน้าต่างแสดงผลการหาค่าแห่งพีคของน้ำแคลเซียมออกซาเลตโม<br>โนไฮเดรตในช่วงความถี่ 4000-400 $\text{cm}^{-1}$   | 67 |
| ภาพประกอบ 4-26 | หน้าต่างแสดงผลการหาค่าแห่งพีคของน้ำแคลเซียมออกซาเลตโม<br>โนไฮเดรตในช่วงความถี่ 2000-400 $\text{cm}^{-1}$   | 68 |
| ภาพประกอบ 4-27 | เปอร์เซ็นต์ความถูกต้องในการระบุตำแหน่งพีคของน้ำชนิดเดี่ยวที่<br>ผ่านตัวกรองซาวิสกี-โกเลย์และการทำอนุพันธ์อันดับสอง   | 68 |
| ภาพประกอบ 4-28 | ลักษณะพีคในช่วงความถี่ 1300 $\text{cm}^{-1}$ ของน้ำผสมตัวอย่างที่ 107  | 69 |
| ภาพประกอบ 4-29 | ลักษณะพีคในช่วงความถี่ 1300 $\text{cm}^{-1}$ ของน้ำผสมตัวอย่างที่ 167  | 70 |
| ภาพประกอบ 4-30 | ลักษณะพีคในช่วงความถี่ 1300 $\text{cm}^{-1}$ ของน้ำผสมตัวอย่างที่ 79   | 70 |
| ภาพประกอบ 4-31 | ลักษณะพีคในช่วงความถี่ 1300 $\text{cm}^{-1}$ ของน้ำผสมตัวอย่างที่ 101  | 71 |
| ภาพประกอบ 4-32 | เปอร์เซ็นต์ความถูกต้องในการระบุตำแหน่งพีคของน้ำชนิดเดี่ยวโดย<br>ใช้วิธีวิเคราะห์หลายระดับความละเอียดและการทำอนุพันธ์อันดับ<br>สอง  | 71 |
| ภาพประกอบ 4-33 | ลักษณะพีคในช่วงความถี่ 1300 $\text{cm}^{-1}$ ของน้ำผสมตัวอย่างที่ 107  | 72 |

**รายการภาพประกอบ(ต่อ)**

|                | หน้า  |    |
|----------------|---|----|
| ภาพประกอบ 4-34 | ลักษณะพีคในช่วงความถี่ $1300\text{ cm}^{-1}$ ของนิวผสมตัวอย่างที่ 167 | 72 |
| ภาพประกอบ 4-35 | ลักษณะพีคในช่วงความถี่ $1300\text{ cm}^{-1}$ ของนิวผสมตัวอย่างที่ 79  | 73 |
| ภาพประกอบ 4-36 | ลักษณะพีคในช่วงความถี่ $1300\text{ cm}^{-1}$ ของนิวผสมตัวอย่างที่ 101 | 73 |
| ภาพประกอบ 4-37 | zero-crossing-point first-derivative Infrared spectrum (SG)(COM)      | 77 |
| ภาพประกอบ 4-38 | zero-crossing-point first-derivative Infrared spectrum (SG)           | 79 |
| ภาพประกอบ 4-39 | zero-crossing-point first-derivative Infrared spectrum (MRA)          | 79 |

**สัญลักษณ์คำย่อและตัวย่อ**

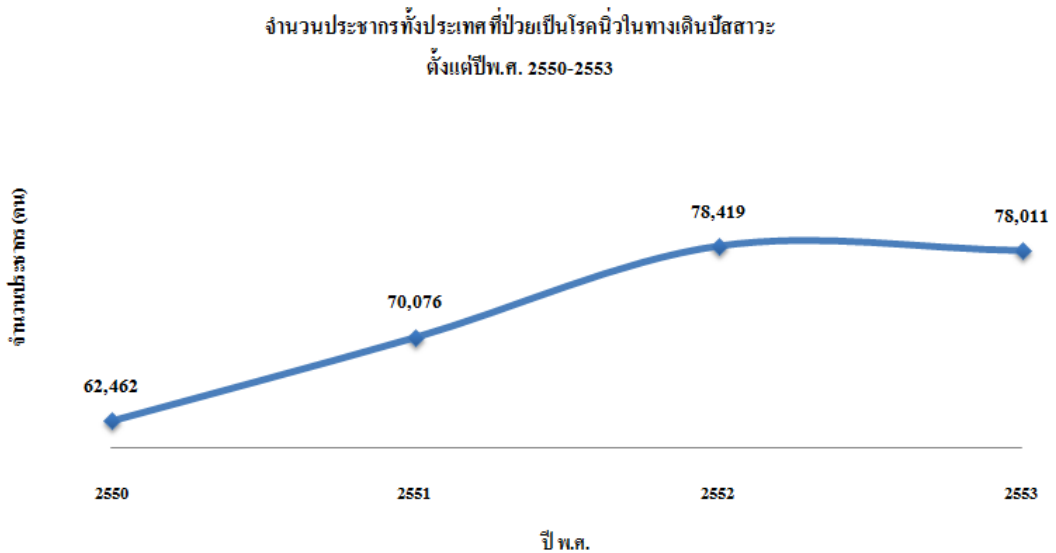
|     |                               |  |
|-----|-------------------------------|--|
| COM | Calcium Oxalate MonoHydrate   | น้ำแคลเซียมออกซาเลตโมโนไฮเดรต            |
| COD | Calcium Oxalate DiHydrate     | น้ำแคลเซียมออกซาเลตไดไฮเดรต              |
| MRA | Multiresolution analysis      | วิธีวิเคราะห์หลายระดับความละเอียด        |
| SNR | Signal to Noise Ratio         | อัตราส่วนระหว่างสัญญาณต่อสัญญาณรบกวน     |
| SEP | Standard Error of Performance | ค่าความผิดพลาดที่เกิดขึ้นจากการประเมินผล |

# บทที่ 1

## บทนำ

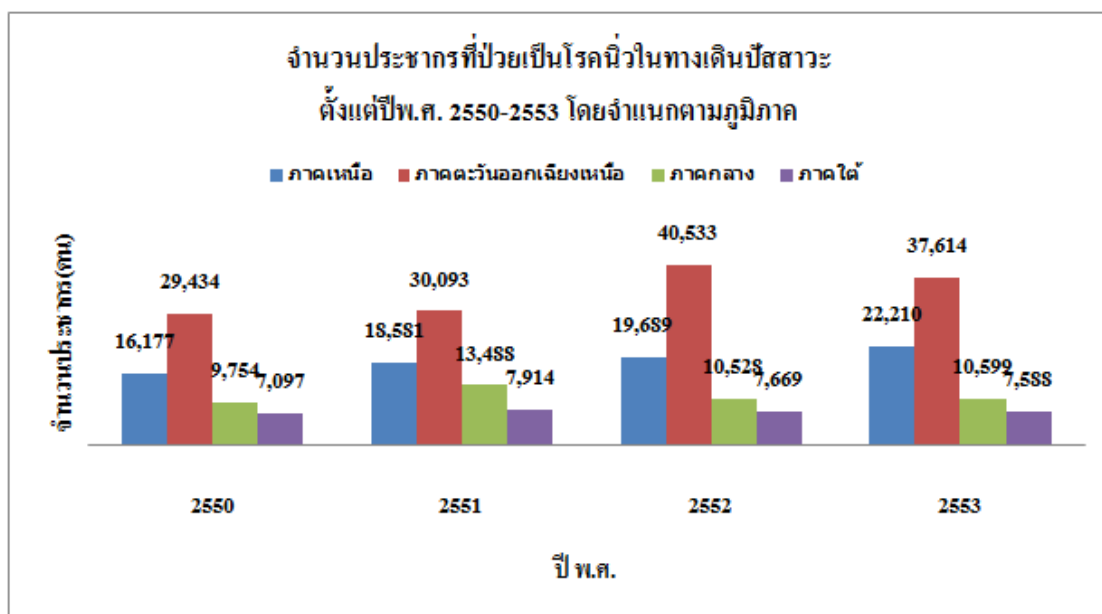
### 1.1 ความสำคัญและที่มาของงานวิจัย

เมื่อก้าวถึงปัญหาด้านสุขภาพที่พบได้มากในปัจจุบัน หลายคนจะนึกถึงโรคมะเร็ง โรคหัวใจ โรคเส้นเลือดตีบ หรือโรคอ้วน ซึ่งปัญหาดังกล่าวเป็นสาเหตุอันดับต้นๆ ของการเสียชีวิต แต่จากข้อมูลสถิติของกระทรวงสาธารณสุขพบว่า โรคนิวในทางเดินปัสสาวะก็เป็นอีกกลุ่มโรคที่พบบ่อย และสามารถนำไปสู่การเสียชีวิตได้เช่นกัน หากไม่ได้รับการรักษาที่เหมาะสม นิวในระบบทางเดินปัสสาวะแบ่งออกเป็น นิวในไต นิวในท่อไต นิวในกระเพาะปัสสาวะ หรือนิวในท่อปัสสาวะ ก้อนนิวเหล่านี้จะทำให้เกิดการติดเชื้อในระบบทางเดินปัสสาวะซึ่งส่งผลกระทบต่อการทำงานของไต เป็นสาเหตุของไตเสื่อม ในระยะยาวจะส่งผลให้เกิดภาวะไตอักเสบเรื้อรัง และกลายเป็นโรคไตวายซึ่งเป็นสาเหตุของการเสียชีวิตได้ มีแนวโน้มพบผู้ป่วยโรคนิวในทางเดินปัสสาวะเพิ่มสูงขึ้นในทุกปี โดยอ้างอิง จากรายงานสถิติผู้ป่วยโรคนิวในทางเดินปัสสาวะของกระทรวงสาธารณสุขตั้งแต่ปี พ.ศ. 2550-2553[1] ดังแสดงในภาพประกอบ 1-1



ภาพประกอบ 1-1 จำนวนประชากรทั้งประเทศที่ป่วยเป็นโรคนิวในทางเดินปัสสาวะ  
ตั้งแต่ปีพ.ศ. 2550-2553

เมื่อพิจารณาโดยจำแนก ตามภูมิภาคแล้วพบว่าภาคตะวันออกเฉียงเหนือมีอัตราการป่วยเป็นโรคนิวในทางเดินปัสสาวะมากที่สุด และรองลงมาคือภาคเหนือ ดังภาพประกอบ 1-2



ภาพประกอบ 1-2 จำนวนประชากรที่ป่วยเป็นโรคนิวในทางเดินปัสสาวะ  
ตั้งแต่ปีพ.ศ. 2550-2553 โดยจำแนกตามภูมิภาค

สาเหตุหลักของการเกิดนิ่วมาจากค่านิยมในการบริโภคอาหารที่มีส่วนทำให้เกิดนิ่ว และมีการสะสมตัวของก้อนนิ่วภายในร่างกาย นอกจากนี้ก็เป็นผลมาจาก ของเสียที่เกิดขึ้นในร่างกาย ได้แก่ แคลเซียมออกซาเลต ฟอสเฟต และกรดยูริก ดังนั้นกลไกการเกิด นิ่วแต่ละชนิดจะแตกต่างกันตามลักษณะองค์ประกอบหลักทางเคมี โดยแบ่งออกเป็น 5 กลุ่มใหญ่ๆ คือ นิ่วแคลเซียม ออกซาเลต นิ่วยูริก นิ่วแมกนีเซียมแอมโมเนียมฟอสเฟต นิ่วซีสทีน และนิ่วแชนทีน [2]

การกำจัดก้อนนิ่วโดยทั่วไปจะใช้วิธีการผ่าตัดเอาก้อนนิ่วออก หรือใช้รังสีสลายก้อนนิ่ว ซึ่งก็ได้ โดยเป้าหมายหลักในการรักษานิ่วในทางเดินปัสสาวะจะประกอบด้วย 2 ส่วนคือ การกำจัดนิ่วออกจากตัวผู้ป่วย และการป้องกันการกลับมาเป็นซ้ำ ซึ่งเป็นเป้าหมายสำคัญของการรักษา เนื่องจากพบว่าโอกาสการเกิดนิ่วซ้ำหลังการผ่าตัดหรือสลายนิ่วสูงถึงร้อยละ 39 [2] อาจมีสาเหตุมาจากการเหลือค้างของนิ่ว เดิม หรือจากการรับประทานอาหาร แบบเดิม ที่มีส่วนทำให้เกิดนิ่ว นอกจากนี้การกลับมาเป็นซ้ำจะทำให้ ตัวผู้ป่วยรวมถึงภาครัฐ ต้องเสียค่าใช้จ่ายในการรักษา เพิ่มขึ้น

การทราบองค์ประกอบทางเคมีของก้อนนี้จะเป็นวิธีการป้องกันการกลับมาสะสมของน้ำใหม่ ซึ่งวิธีการวิเคราะห์องค์ประกอบของน้ำในปัจจุบันมีด้วยกันอยู่หลาย วิธี [3-5] ได้แก่ Thermal analysis (การวิเคราะห์ด้วยความร้อน) Chemical analysis (การวิเคราะห์ทางเคมี) X-ray diffraction (การวิเคราะห์การเลี้ยวเบนของรังสีเอ็กซ์เมื่อกระทบกับสาร) Infrared spectroscopy (การวิเคราะห์ลักษณะอินฟราเรดสเปกตรัมจากการดูดกลืนแสงอินฟราเรดของสาร)

วิธีที่ได้รับความนิยมและใช้กันอย่างแพร่หลายคือ วิธีอินฟราเรดสเปกโทรสโกปี และ เอ็กซ์เรย์ดิฟแฟรกชัน แต่พบว่า วิธีเอ็กซ์เรย์ดิฟแฟรกชันนั้น เหมาะสำหรับการวิเคราะห์สารที่มีลักษณะเป็นผลึก [5] ต้องใช้สารเฉพาะสำหรับการตรวจสอบนี้ในแต่ละชนิด ซึ่งสารที่ใช้ทดสอบจะมีราคาแพง นอกจากนี้ในการวิเคราะห์สาร ที่มีขนาดของตัวอย่างเท่ากัน จะมีค่าใช้จ่ายที่สูงกว่า [6] จากสาเหตุดังกล่าวทำให้ วิธีอินฟราเรดสเปกโทรสโกปี ได้รับความนิยมมากกว่า ขั้นตอนในการวิเคราะห์โดยใช้วิธีนี้ทำได้โดยการบดผสมก้อนนี้ตัวอย่างกับโพแทสเซียมโบรไมด์ (KBr pellet) แล้วนำไปอัดแรงดัน เม็ดสารดังกล่าวจะถูกนำไปเข้าเครื่องอินฟราเรดสเปกโทรสโกปี โมเลกุลของสารจะดูดกลืนพลังงานของรังสีอินฟราเรดช่วงกลาง (mid-infrared) จนทำให้เกิดการสั่นของพันธะภายในโมเลกุล ปฏิกิริยาทั้งหมดที่เกิดขึ้น จะถูกบันทึกไว้เป็นอินฟราเรดสเปกตรัม ซึ่งลักษณะของอินฟราเรดสเปกตรัมจะแสดงความสัมพันธ์ระหว่างตำแหน่งแถบดูดกลืนในรูปของเลขคลื่น (wavenumber,  $\text{cm}^{-1}$ ) กับค่าความเข้มขึ้น (intensity) ซึ่งอาจจะแสดงอยู่ในรูปของค่า เปอร์เซนต์การส่งผ่านแสง (%transmittance, T) หรือค่าการดูดกลืนแสง (absorbance, A) ก็ได้ [7] จากนั้น จะเข้าสู่ขั้นตอนการการแปลผลจากอินฟราเรดสเปกตรัม ซึ่งมีด้วยกันสองด้านคือ การแปลผลเชิงคุณภาพ (qualitative analysis) คือการ ระบุตำแหน่งการเกิด จุดยอด (peak) หรือที่เรียกว่าตำแหน่งแถบดูดกลืนความถี่ โดยแต่ละตำแหน่งแถบดูดกลืนความถี่จะเป็นผลมาจากการดูดกลืนแสงอินฟราเรดของหมู่ฟังก์ชันที่แตกต่างกันตามองค์ประกอบทางเคมี ของน้ำชนิดนั้นๆ และ โอกาสที่อินฟราเรดสเปกตรัมของน้ำต่างชนิดจะเหมือนกันทั้งหมดนั้นมีน้อยมาก จึงสามารถใช้ผลส่วนนี้ในการจำแนกน้ำชนิดต่างๆ ออกจากกันได้ การแปลผลอีกส่วนหนึ่ง คือการแปลผลในเชิงปริมาณ (quantitative analysis) จะถูกนำมาใช้วิเคราะห์ในกรณีที่เป็นน้ำชนิดผสม เพื่อหาอัตราส่วนประกอบของน้ำชนิดผสมนั้นจากค่าความเข้มขึ้นที่วัดได้จากตำแหน่งแถบดูดกลืนความถี่ น้ำผสมที่พบมากที่สุดคือน้ำผสมชนิดนี้วเคลเซียมออกซาลेटโมโนไฮเดรตกับนี้วเคลเซียมออกซาลेटไดไฮเดรต

งานวิจัยนี้ได้นำเสนอระบบผู้เชี่ยวชาญอัตโนมัติสำหรับการคัดแยกนิวชนิดต่าง ๆ จาก การแปลผลอินฟราเรดสเปกตรัมของนิวในทางเดินปัสสาวะที่เกิดขึ้นเองตามธรรมชาติ ซึ่งก่อนนี้ อาจมีส่วนประกอบอื่นๆ นอกเหนือจากส่วนประกอบหลักของนิวชนิดนั้นๆ ประปนอยู่ โดยเฉพาะ การแปลผลจากอินฟราเรดสเปกตรัมของนิวชนิดซึ่งจะ ประกอบด้วย ตำแหน่งแถบดูดกลืนความถี่ จำนวนมากและมีความซับซ้อน การแปลผลจึงทำได้ยาก ดังนั้นในงานวิจัยนี้จึงได้ศึกษาและพัฒนา ระบบสำหรับช่วยในการแปลผลอินฟราเรดสเปกตรัม ของนิวประเภทต่างๆ ให้ ง่าย รวดเร็ว และมีความแม่นยำเพียงพอในการระบุชนิด รวมถึงองค์ประกอบของนิว เพื่อประโยชน์ในการรักษาต่อไป

## 1.2 การทบทวนวรรณกรรม

จากการศึกษาบทความและงานวิจัยที่เกี่ยวข้องกับการแปลผลอินฟราเรดสเปกตรัม ใน สารประกอบชีวภาพชนิดต่างๆ พบว่าสามารถแบ่งออกเป็น 2 ส่วนได้แก่ ส่วนแรกคือ ขั้นตอนการ ประมวลผลสัญญาณขั้นต้น (preprocessing methods) ประกอบไปด้วยการปรับขนาดสัญญาณ บรรทัดฐาน (normalization) การกำจัดสัญญาณเส้นแนวโน้ม (baseline correction) และการปรับ เส้นเรียบสเปกตรัม (spectral smoothing) และส่วนที่สองคือขั้นตอนการแปลผล ซึ่งจะประกอบไป ด้วยการแปลผลเชิงคุณภาพและการแปลผลเชิงปริมาณ ปัญหาที่พบในการ แปลผลจากอินฟราเรด สเปกโทรสโกปีคือการวางตัวผิดปกติ ของเส้นแนวโน้มพื้นฐาน (baseline) ซึ่งเป็นผลจากปัจจัย ภายนอกขณะการทดลอง ได้แก่ อุณหภูมิ หรือความชื้นของเครื่องอินฟราเรดสเปกโทรสโกปี และ การซ้อนทับกันของตำแหน่งพีค (overlapped peaks) อาจส่งผลให้การแปลผลทั้งชนิด และปริมาณ ของนิวผิดพลาดได้ มีงานวิจัยที่เกี่ยวข้องซึ่งได้รับการตีพิมพ์ดังต่อไปนี้

### 1.2.1 การประมวลผลสัญญาณขั้นต้น (preprocessing methods)

ผลการศึกษาค้นคว้าเกี่ยวกับการแปลผลอินฟราเรดสเปกโทรสโกปีพบว่ามีการ มุ่งเน้นไปที่ 2 ขั้นตอนก่อนการแปลผล ได้แก่การกำจัดเส้นแนวโน้ม และการกำจัดสัญญาณรบกวน วิธีการที่ถูกนำมาใช้ในขั้นตอนการประมวลผลสัญญาณขั้นต้น สำหรับอินฟราเรด สเปกโทรสโกปี มีดังต่อไปนี้ โดยจะถูกแบ่งออกเป็นสองส่วน คือส่วนของการปรับเส้นแนวโน้ม พื้นฐาน (baseline correction) และส่วนของการกำจัดสัญญาณรบกวน (spectral smoothing)

บทความ [8] กล่าวว่า Schulze et al. [9] ได้ทำการศึกษาวรรณกรรมเกี่ยวกับกำจัด เส้นแนวโน้มที่เกิดขึ้นบนอินฟราเรดสเปกตรัม โดยนำเสนอใน 3 วิธีการได้แก่ วิธีการปรับเส้นโค้ง



(curve fitting) ซึ่งเป็นวิธีการที่ง่ายที่สุดในการปรับเส้นแนวโน้ม โดยการหาเส้นโค้งพอดี ของสเปกตรัม แล้วนำไปลบออกจากสเปกตรัมเดิม (subtracting) ซึ่งในความเป็นจริงพบว่าเส้นโค้งพอดีที่ได้ อาจไม่ใช่เส้นแนวโน้มที่แท้จริงของสเปกตรัม วิธีการต่อมาคือ วิเคราะห์ความถี่ (frequency analysis) โดยการแปลงฟูริเยร์ (fourier transform) และการแปลงเวฟเล็ต (wavelet transform) พบว่ามีการประยุกต์ใช้การวิเคราะห์ความถี่ในขั้นตอนการประมวลผลสัญญาณขั้นต้นสำหรับอินฟราเรดสเปกตรัมหลากหลายแขนง โดยเฉพาะอย่างยิ่ง บทความที่เกี่ยวข้องกับการวิเคราะห์องค์ประกอบทางเคมีของสาร โดยการแบ่งลักษณะสัญญาณออกเป็นองค์ประกอบความถี่สูง (high frequency features) องค์ประกอบความถี่กลาง (middle-frequency features) และองค์ประกอบความถี่ต่ำ (low frequency features) โดยมองเส้นแนวโน้มเป็นองค์ประกอบความถี่ต่ำ ดังนั้นการกำจัดองค์ประกอบความถี่ต่ำออกไป ก็จะเป็นการกำจัดเส้นแนวโน้ม [10] โดยใช้การแปลงเวฟเล็ตแบบ Daubechies เนื่องจากมีโครงสร้างคล้ายกับลักษณะของอินฟราเรดสเปกตรัมมากที่สุด แต่ข้อด้อยที่พบคือไม่มีทฤษฎีตรงตัวที่ใช้สำหรับอธิบายการกำจัดเส้นแนวโน้มนี้ วิธีการสุดท้ายคือการหาอนุพันธ์ (Derivative) [4-5], [11-14] ซึ่งมีทั้งการใช้อนุพันธ์อันดับหนึ่งและอนุพันธ์อันดับสอง นอกจากนั้นลักษณะของอินฟราเรดสเปกตรัมหลังการทำอนุพันธ์จะง่ายต่อการนำไปแปลผลเชิงปริมาณอีกด้วย ข้อด้อยของวิธีการนี้ คือการกำหนดค่าที่เหมาะสมเพื่อกำจัดเส้นแนวโน้ม เนื่องจากพบว่าหากกำหนดค่าหน้าตาของการวิเคราะห์กว้างเกินไปจะเป็นการบิดเบือนลักษณะของ พิก ในขณะเดียวกันหากกำหนดค่าให้แคบเกินไปก็จะยังเป็นการเพิ่มสัญญาณรบกวนในสเปกตรัมมากยิ่งขึ้น

วิธีการที่ใช้ในขั้นตอนการกำจัดสัญญาณรบกวน ที่พบมากที่สุดคือ วิธีการเคลื่อนที่ (moving average) [14-15] และตัวกรองของซาวิตสกี-โกเลย์ (Savitzky-Golay filter) [4-5], [11], [14-17] ซึ่งพบว่าวิธีตัวกรองเคลื่อนที่ที่ใช้วิธีการแทนที่ค่าช่วงที่พิจารณาด้วยค่าเฉลี่ยของตำแหน่งทั้งหมดที่อยู่ในช่วงนั้น และค่าดังกล่าวจะเป็นตัวกำหนดอันดับพหุนามของการปรับเส้นโค้ง (polynomial degree) ดังนั้นจะส่งผลให้ข้อมูลบางตำแหน่งเกิดการสูญหาย ทำให้ลักษณะของสเปกตรัมที่ได้มีความผิดเพี้ยนสูง ส่วนตัวกรองของซาวิตสกี-โกเลย์ นั้น เรียกได้อีกอย่างว่าหน้าตาตัวกรองเคลื่อนที่ (moving window averaging) ซึ่งจะแตกต่างกับตัวกรองเคลื่อนที่ ธรรมดาตรงที่ จะต้องมีการกำหนดทั้งขนาดหน้าตาของการวิเคราะห์ (window size) และอันดับของพหุนาม

(polynomial order) ซึ่งค่าพหุนามนี้จะใช้สำหรับการปรับเส้นเรียบของสเปกตรัม หน้าต่างของการวิเคราะห์จะเลื่อนตำแหน่งการพิจารณาไปเรื่อยๆ ทีละตำแหน่งจนถึงที่สุดตำแหน่งการพิจารณา

### 1.2.2 การดึงคุณลักษณะสำคัญของสัญญาณ (feature extraction)

จากที่ได้กล่าวไปแล้วว่าขั้นตอนการแปลผลจากอินฟราเรดสเปกโตรสโกปีนั้นแบ่งออกเป็นสองส่วน คือการแปลผลเชิงคุณภาพและการแปลผลเชิงปริมาณ จากบทความวิจัยที่ได้ศึกษามาพบว่าโดยส่วนมากแล้วจะเป็นการศึกษาวิธีการสำหรับการแปลผลในเชิงปริมาณเป็นส่วนใหญ่ การแปลผลในเชิงปริมาณเป็นการบอกอัตราส่วนประกอบของหมู่ฟังก์ชัน จากอินฟราเรดสเปกตรัม ซึ่งอาจเป็นการผสมระหว่างสารประกอบสองชนิด หรือมากกว่า เนื่องจากโดยธรรมชาติแล้ว นิวในทางเดินปัสสาวะจะเป็นการผสมกันระหว่างนิวหลายชนิด ดังนั้นจึงต้องการความแม่นยำในการวิเคราะห์เชิงปริมาณ วิธีการที่มีการตีพิมพ์และได้รับการยอมรับเด่นๆ มีสองวิธี คือ การใช้โครงข่ายประสาทเทียมในการวิเคราะห์ (artificial neuron network) [17] และวิธีการหาอนุพันธ์ ทั้งอันดับที่ 1 และ 2 ( $1^{\text{st}} - 2^{\text{nd}}$  derivative) [4-5], [11], [14-17] ซึ่งจากการศึกษาบทความวิจัยทั้งหมดพบว่าข้อดีของการวิเคราะห์โดยการใช้โครงข่ายประสาทเทียมคือ จำเป็นจะต้องมีตัวอย่างในการทดลองจำนวนมาก ขั้นตอนการกำหนดค่าตัวแปรซับซ้อน ยุ่งยาก แต่ให้ผลการทดลองที่ละเอียดและมีความแม่นยำสูง ในขณะที่ข้อดีของวิธีการหาอนุพันธ์คือสามารถระบุตำแหน่งแถบดูดกลืนแสงที่อยู่ในส่วนของการซ้อนทับ (overlapping) ได้จากการหาอนุพันธ์อันดับสองของอินฟราเรดสเปกตรัม และสามารถหาเปอร์เซ็นต์อัตราส่วนผสมของนิวที่เกิดจากนิวสองชนิดได้โดยการหาอนุพันธ์อันดับหนึ่งควบคู่ไปกับการใช้ตำแหน่งจุดตัดผ่านศูนย์ (zero-crossing) และตัวกรองของชาวีสกี-โกเลย์ ซึ่งพบว่ายังมีอีกหลายบทความวิจัยที่ใช้วิธีการนี้ไปประยุกต์ใช้สำหรับการหาอัตราส่วนผสมระหว่างสารสองชนิดด้วย [17], [19] ข้อดีที่พบได้จากวิธีนี้คือการที่ลักษณะสเปกตรัมที่ได้หลังการทำอนุพันธ์จะไม่เหมือนกับลักษณะสเปกตรัมดั้งเดิม เนื่องจากเมื่อผ่านการ ทำอนุพันธ์ขนาดของอินฟราเรดสเปกตรัมจะลดลงในอัตรา 1 ใน 3 [4] นอกจากนี้ยังพบว่าตำแหน่งพีคที่มีค่าเป็นบวก จะเปลี่ยนไปมีค่าเป็นลบเมื่อผ่านการทำอนุพันธ์อันดับหนึ่งแล้ว

จากการศึกษาบทความข้างต้นพบว่าการทำอนุพันธ์เป็นวิธีการที่มีประสิทธิภาพในการกำจัดเส้นแนวโน้มพื้นฐานของอินฟราเรดสเปกตรัม และยังมีประโยชน์ต่อการแปลผลเชิงคุณภาพและปริมาณ ซึ่งส่วนใหญ่จะทำงานควบคู่ไปกับตัวกรองชาวีสกี-โกเลย์ในการกรองสัญญาณรบกวน

ที่เกิดขึ้นหลังจากผ่านการทำอนุพันธ์ อย่างไรก็ตาม พบว่ายังไม่มีการทดลองกับอินฟราเรดสเปกตรัมของน้ำที่เกิดขึ้นเองโดยธรรมชาติในประเทศไทย ในงานวิจัยนี้จึงได้ใช้วิธีการขั้นต้นเป็นเทคนิคสำคัญในการวิเคราะห์ผล และทำการทดลองเปรียบเทียบตัวกรองสัญญาณ รบกวนจากตัวกรองชาวีสกี-โกเลย์ที่เป็นวิธีการเดิมกับวิธีการวิเคราะห์ความถี่โดยการแปลงเวฟเล็ต แล้ววิเคราะห์ผลที่ได้ ทั้งในส่วนของ การแปลผลเชิงปริมาณและเชิงคุณภาพ ตามลำดับ

### 1.3 วัตถุประสงค์

1.3.1 เพื่อศึกษาลักษณะของอินฟราเรดสเปกตรัม และการแปลผลจากอินฟราเรดสเปกตรัม

1.3.2 เพื่อศึกษาน้ำในทางเดินปัสสาวะ และความแตกต่างของน้ำแต่ละชนิดตามหมู่ฟังก์ชันที่เป็นองค์ประกอบ

1.3.3 เพื่อเปรียบเทียบวิธีการและหาวิธีการที่เหมาะสม ในการวิเคราะห์ผลจากอินฟราเรดสเปกตรัม สำหรับการกำหนดเงื่อนไขให้กับระบบผู้เชี่ยวชาญ

### 1.4 ขอบเขตงานวิจัย

1.4.1 ใช้ข้อมูล อินฟราเรดสเปกโทรสโกปีของน้ำในทางเดินปัสสาวะที่ นำมาจากโรงพยาบาลเชียงใหม่ ปี พ.ศ. 2544 จำนวน 52 ตัวอย่าง โดยข้อมูลที่นำมาทดลองมีทั้งน้ำชนิดเดี่ยวและชนิดผสม บันทึกผลมาใน โปรแกรม EZ OMNIC

1.4.2 สามารถแปลผลเชิงคุณภาพจากตัวอย่างอินฟราเรดสเปกตรัมได้

1.4.3 สามารถแปลผลเชิงปริมาณจากตัวอย่างของน้ำชนิดผสมได้

### 1.5 ประโยชน์ที่คาดว่าจะได้รับ

ได้เครื่องมือสำหรับการจำแนกประเภทของน้ำจากอินฟราเรดสเปกตรัมที่มีความซับซ้อน สำหรับช่วยนระยะเวลาในการแปลผล และตัดปัญหาเรื่องขาดผู้เชี่ยวชาญในการแปลผล

### 1.6 วิธีดำเนินการวิจัย

1.6.1 ศึกษาและค้นคว้าโครงการวิจัยที่เกี่ยวข้อง

1.6.2 ศึกษา หลักการของ อินฟราเรดสเปกโทรสโกปีและรวบรวมข้อมูลอินฟราเรดสเปกตรัมของน้ำประเภทต่าง ๆ

1.6.3 ศึกษาวิธีการแปลผลจากอินฟราเรดสเปกตรัม และเทคนิคที่ใช้ในการแปลผลทั้งเชิงคุณภาพและปริมาณ

1.6.4 สร้างเงื่อนไขการตัดสินใจโดยใช้ซอฟต์แวร์ LabVIEW ในการวิเคราะห์ผลข้อมูล และใช้เทคนิคในการแปลผลมาทดลองใช้กับข้อมูลจริง

1.6.5 ตรวจสอบ พัฒนาและแก้ไขจุดบกพร่องของอัลกอริทึมที่ใช้ในการแปลผลอินฟราเรดสเปกตรัมของน้ำในทางเดินปัสสาวะ

1.6.6 ตรวจสอบอีกครั้ง สรุปผลและเขียนรายงาน

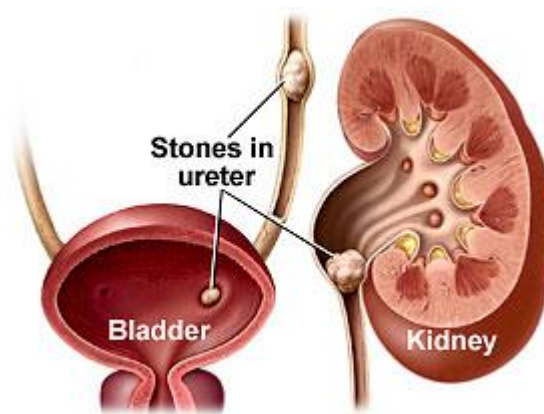
## บทที่ 2

### ทฤษฎีและหลักการ

การวิเคราะห์และการแปลผลจากอินฟราเรดสเปกโทรสโกปี จะประกอบด้วยสองส่วนหลักๆ คือ การประมวลผลสัญญาณขั้นต้น และส่วนของการแปลผล ดังนั้นผู้วิจัยจะแบ่งทฤษฎีที่เกี่ยวข้องกับงานวิจัยดังต่อไปนี้ 1) นิ่วในทางเดินปัสสาวะ (Urinary tract stone) 2) เทคนิคที่ใช้ในการวิเคราะห์นิ่ว 3) ขั้นตอนการวิเคราะห์นิ่วโดยวิธีอินฟราเรดสเปกโทรสโกปี 4) หลักการของอินฟราเรดสเปกโทรสโกปี 5) การแปลผลจากอินฟราเรดสเปกตรัม

#### 2.1 นิ่วในทางเดินปัสสาวะ (urinary tract stones)

นิ่วเกิดจากการตกผลึกของของเสียที่จะขับออกทางปัสสาวะ รวมตัวกันเป็นนิ่วเกิดขึ้นในไต ซึ่งก้อนนิ่วในระยะแรกที่มีขนาดเล็กก็อาจจะเคลื่อนที่หลุดออกมาที่ท่อไต และลงไปที่กระเพาะปัสสาวะ หากเกิดการสะสมของผลึกจำนวนมาก ขนาดของนิ่วก็จะยังมีขนาดใหญ่ขึ้น หรืออาจมีก้อนนิ่วปริมาณที่เยอะขึ้น ทำให้ค้างอยู่ในบริเวณที่เรียกว่า ทางเดินปัสสาวะและในไต [2] โดยตำแหน่งที่พบแสดงได้ในภาพประกอบ 2-1 โดยนิ่วในทางเดินปัสสาวะแบ่งออกเป็น 2 ประเภทคือ นิ่วในไตและท่อไต (renal calculi, ureteral calculi) และนิ่วในกระเพาะปัสสาวะและทางเดินปัสสาวะ (vesicle calculi, urethral calculi)



ภาพประกอบ 2-1 ตำแหน่งที่พบนิ่วในทางเดินปัสสาวะ [20]

การมีนิ่วอาจทำให้เกิดโรคแทรกซ้อนได้หลายอย่าง ทั้งการติดเชื้อในระบบทางเดินปัสสาวะ หรือภาวะไตทำงานหนักจนเกิดภาวะไตวายเรื้อรังอาจถึงขั้นเสียชีวิตได้ ดังนั้นการรักษาโรคนี้อาจมุ่งเน้นในสองทาง คือ การนำนิ่วออก และการป้องกันไม่ให้เป็นซ้ำซึ่งเป็นขั้นตอนสำคัญในการรักษาเนื่องจากโอกาสในการกลับมาเป็นซ้ำมีมากถึงร้อยละ 39 ขึ้นอยู่กับองค์ประกอบของก้อนนิ่ว [2-3]

ก้อนนิ่วมีองค์ประกอบ 2 ส่วนคือ ส่วนที่เป็นแร่ธาตุ (mineral composition) และส่วนที่เป็นสารอินทรีย์ (organic matrix) ซึ่งร้อยละ 5-10 ของสารจำพวกนี้จะเป็นสารโมเลกุลใหญ่ที่พบในปัสสาวะ ได้แก่ โปรตีน ไขมัน และคาร์โบไฮเดรต [2] ส่วนที่เป็นแร่ธาตุเกิดจากการตกผลึกของของเสียที่เป็นสารก่อกำเนิดในปัสสาวะ ได้แก่ แคลเซียมออกซาเลต ฟอสเฟต และกรดยูริก การทราบองค์ประกอบของนิ่วจำเป็นมากต่อการรักษา เนื่องจากนิ่วแต่ละชนิดมีกลไกการเกิดและอัตราการเพิ่มปริมาณที่แตกต่างกัน ซึ่งนิ่วในทางเดินปัสสาวะแบ่งออกเป็น 5 ประเภทตามองค์ประกอบทางเคมี ได้แก่

นิ่วแคลเซียมออกซาเลต (calcium oxalate) เป็นนิ่วที่พบมากที่สุดในประเทศไทย โดยพบมากถึงร้อยละ 75-80 นิ่วแคลเซียมออกซาเลตเกิดจากการรวมตัวของแคลเซียมกับกรดออกซาลิก (oxalic acid) นอกจากนี้ยังพบว่ายังมีการรวมตัวกับ สารตัวอื่นอีก เช่น ฟอสเฟต (phosphate) แมกนีเซียม (magnesium) หรือโปแตสเซียม (potassium) ทำให้นิ่วที่มีแคลเซียมเป็นองค์ประกอบหลักมีจำนวนมากที่สุด [2-3] โดยสามารถ แบ่งออกตามสารผสมได้เป็น 5 ประเภทย่อย ได้แก่ นิ่วแคลเซียมออกซาเลต โมโนไฮเดรต (calcium oxalate monohydrate, whewellite) มีโครงสร้างทางเคมีคือ  $\text{Ca}_2\text{C}_2\text{O}_4 \cdot \text{H}_2\text{O}$ , นิ่วแคลเซียมออกซาเลต ไดไฮเดรต (calcium oxalate dihydrate, weddellite) มีโครงสร้างทางเคมีคือ  $\text{Ca}_2\text{C}_2\text{O}_4 \cdot 2\text{H}_2\text{O}$ , นิ่วแคลเซียมฟอสเฟต (calcium phosphate, carbonate apatite) มีโครงสร้างทางเคมีคือ  $\text{Ca}_{10}(\text{PO}_4)(\text{CO}_3\text{OH})_6(\text{OH})_2$ , นิ่วบรูไซต์ (brushite) มีโครงสร้างทางเคมีคือ  $\text{CaHPO}_4 \cdot 2\text{H}_2\text{O}$  และนิ่ววิทล็อกไคต์ (whitlockite) มีโครงสร้างทางเคมีคือ  $\text{Ca}_3(\text{PO}_4)_2$

ส่วนนิ่วชนิดอื่นๆ ได้แก่ นิ่วยูริกมีโครงสร้างทางเคมีคือ  $\text{C}_5\text{H}_4\text{N}_4\text{O}_3$  พบได้ร้อยละ 6 ซึ่งเกิดจากการรับประทานอาหารที่มีพิวรีน (purine) สูง ซึ่งสารชนิดนี้จะพบมากในสัตว์ปีก นิสตดูไวท์ หรือนิ่วแมกนีเซียม แอมโมเนียมฟอสเฟตมีโครงสร้างทางเคมีคือ  $\text{MgNH}_4\text{PO}_4 \cdot 6\text{H}_2\text{O}$  พบได้มากถึงร้อยละ 15 ส่วนใหญ่เกิดในผู้ป่วยทางเดินปัสสาวะอักเสบเรื้อรัง นิ่วซิสทีนเกิดจากความผิดปกติของ

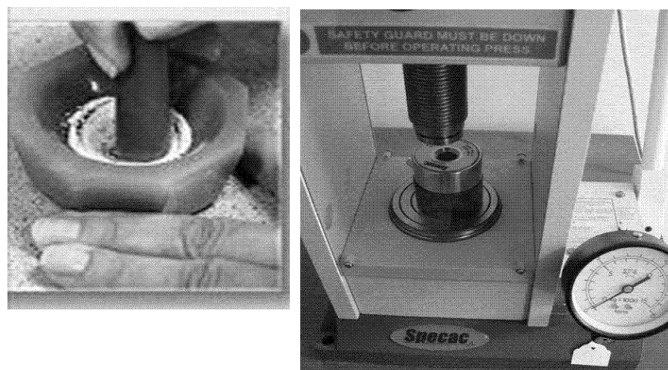
การดูดซึมสาร ซิสทีน [2] มีโครงสร้างทางเคมีคือ  $C_6H_{12}N_2O_4S_2$  นิวตัวสุดท้ายคือนิวแซนทีน (xanthine) มีโครงสร้างทางเคมีคือ  $C_5H_4N_4O_2$  ในปัจจุบันมีการวิเคราะห์นิวในทางเดินปัสสาวะอยู่หลายวิธีการ แต่วิธีการที่น่าเชื่อถือและได้รับความนิยมมากที่สุดคือวิธีอินฟราเรดสเปกโทรสโกปี

## 2.2 เทคนิคการวิเคราะห์หึ่งค์ประกอบของนิวในปัจจุบัน

วิธีการวิเคราะห์นิวที่ได้รับการยอมรับ และใช้กันอย่างแพร่หลายในปัจจุบันมี 2 วิธี คือ เทคนิคเอกซเรย์ดิฟแฟรกชัน (X-ray diffraction) และเทคนิคอินฟราเรดสเปกโทรสโกปี (infrared spectroscopy) ซึ่งพบว่าเทคนิคเอกซเรย์ดิฟแฟรกชันนั้นเหมาะสำหรับการวิเคราะห์สารที่เป็นผลึก และต้องใช้สารเฉพาะสำหรับการตรวจสอบนิวแต่ละชนิด ดังนั้นเทคนิคอินฟราเรดสเปกโทรสโกปี จึงได้รับความนิยมกว่า วิธีอินฟราเรดสเปกโทรสโกปีถูกใช้เพื่อระบุความเป็นเอกลักษณ์ของ สารอินทรีย์ วัสดุโครงสร้าง หรือหาปริมาณของสาร เนื่องจากโมเลกุลของสารแต่ละชนิด จะดูดกลืนแสงที่มีความถี่มีค่าเฉพาะแตกต่างกันไป [7] จนทำให้เกิดการสั่น (vibration) ของพันธะ แถบการดูดกลืนจะถูกบันทึกไว้เป็นสเปกตรัมการดูดกลืนของ สาร สารที่มีองค์ประกอบทางเคมีของ โมเลกุลเหมือนกัน จะมีลักษณะสเปกตรัมแบบเดียวกัน โมเลกุลสารอินทรีย์โดยทั่วไปจะมี อินฟราเรดสเปกตรัมที่ค่อนข้างซับซ้อน และยากต่อการแปลความหมาย บางครั้งสารที่มีกลุ่ม อะตอม (หมู่ฟังก์ชัน) เดียวกัน ก็ให้แถบดูดกลืน (absorption band) ที่เลขคลื่นเดียวกัน หรือใกล้เคียง กันมาก เพราะโคเนหมู่ฟังก์ชันบางตัวบังคับแถบดูดกลืน ดังนั้นการแปลผลจากอินฟราเรด สเปกโทรสโกปี และระบุหมู่ฟังก์ชันของอินฟราเรดสเปกตรัมที่บันทึกได้ต้องอาศัยผู้เชี่ยวชาญใน วิเคราะห์และทำการแปลผล

## 2.3 ขั้นตอนการวิเคราะห์นิวโดยวิธีอินฟราเรดสเปกโทรสโกปี [3]

การวิเคราะห์วิธี นี้ จะใช้เทคนิคผสมก้อนนิวตัวอย่างกับโพแทสเซียมโบรไมด์ (KBr pellet) โดยใช้สารตัวอย่างที่ต้องการวิเคราะห์ 2.0 มิลลิกรัม ผสมกับ KBr 100 – 200 มิลลิกรัมใน โกร่งอะเกต และบดให้ละเอียดเป็นเนื้อเดียวกัน นำไปใส่ในเครื่องอัด (KBr die) ดังแสดงใน ภาพประกอบ 2-2 จากนั้นนำไปเข้าเครื่องอินฟราเรดสเปกโทรสโกปี ดังภาพประกอบ 2-3 เพื่ออ่าน ค่าสเปกตรัม (infrared spectrum)



ภาพประกอบ 2-2 เทคนิคบดผสมก้อนนิ้วตัวอย่างกับโพแทสเซียมโบรไมด์ [21]



ภาพประกอบ 2-3 เครื่องอินฟราเรดสเปกโทรสโกปี [22]

## 2.4 อินฟราเรดสเปกโทรสโกปี (infrared spectroscopy)

### 2.4.1 แสงอินฟราเรด (infrared radiation) [7]

คลื่นรังสีแม่เหล็กไฟฟ้า ที่อยู่ในช่วงที่มองเห็น (visible light) ถูกจำแนกออกตามช่วงตามความถี่ (frequency) ดังตารางที่ 2-1



ตารางที่ 2-1 รังสีแม่เหล็กไฟฟ้าช่วงต่าง ๆ

| Type of Radiation | Frequency Range<br>(V : HZ)  | Wavelength Range<br>( $\lambda$ : $\mu\text{m}$ ) | Type of Transition                         |
|-------------------|------------------------------|---|--|
| Gamma- rays       | $10^{20} - 10^{24}$          | <1 pm   | Nuclear                                    |
| X-rays            | $10^{17} - 10^{20}$          | 1nm – 1 pm  | Inner electron                             |
| Ultraviolet       | $10^{15} - 10^{17}$          | 400 nm -1 nm                                      | Outer electron                             |
| Visible           | $4 - 7.5 \times 10^{14}$     | 750 nm – 400 nm                                   | Outer electron                             |
| Infrared          | $10^{13} - 10^{14}$          | 25 $\mu\text{m}$ -2.5 $\mu\text{m}$               | Molecular vibration                        |
| Microwave         | $3 \times 10^{11} - 10^{13}$ | 1 mm – 25 $\mu\text{m}$                           | Molecular rotation,<br>electron spin flips |
| Radio Wave        | $<3 \times 10^{11}$          | >1mm  | Nuclear spin flips                         |

อินฟราเรดสเปกโทรสโกปีเป็นเทคนิคที่ใช้แสงอินฟราเรดในการตรวจวิเคราะห์เอกลักษณ์ของสาร จากการดูดกลืนแสงอินฟราเรดในช่วงความถี่ที่มีค่าเฉพาะแตกต่างกันแล้วทำให้เกิดการสั่นของโมเลกุล (vibrations) สเปกตรัมจะแสดงลักษณะเฉพาะของสารแต่ละชนิด โดยช่วงคลื่นของแสงอินฟราเรด ถูกแบ่งออกเป็น 3 ช่วงคลื่นตามค่าความถี่ คือช่วงสูง, กลาง และต่ำ ดังตารางที่ 2-2

ตารางที่ 2-2 ช่วงคลื่นของอินฟราเรด [7]

| Region | Wavelength range (mm) | Wavenumber range (cm <sup>-1</sup> ) |
|--------|-----------------------|--------------------------------------|
| Near   | 0.78 – 2.5            | 12800 - 4000                         |
| Middle | 2.5 - 50              | 4000 - 200                           |
| Far    | 50 -1000              | 200 - 10                             |

ช่วงคลื่นอินฟราเรดที่นำมาใช้ในการวิเคราะห์คือ อินฟราเรดช่วงกลางซึ่งมีความถี่ตรงกับการสั่นของพันธะโควาเลนต์ (covalent bond) ในโมเลกุลของสาร สารตัวอย่างจะได้รับพลังงานที่พอเหมาะ พลังงานที่โมเลกุลได้รับเป็นไปตาม กฎของพลังค์ (Planck's equation) [23] ดังสมการที่ 2.1

$$E = hv \quad (2.1)$$

เมื่อ  $E$  = ค่าของพลังงาน ( J)  
 $h$  = ค่าคงที่ของพลังค์ (6.626 x 10<sup>-34</sup> J-s)  
 $v$  = ความถี่มูลฐานของการสั่น

การสั่นของโมเลกุลทำให้เกิดการเปลี่ยนแปลงค่าโมเมนต์ขั้วคู่ (dipole moment) ทำให้โมเลกุลเกิดการดูดกลืนแสงและถูกบันทึกออกมาเป็นอินฟราเรดสเปกตรัม ยิ่งการเคลื่อนไหวของพันธะทำให้เกิด dipole moment มากเท่าใด ลักษณะสเปกตรัมที่ตรวจได้จะยิ่งสูงขึ้นเท่านั้น โดยพันธะแต่ละชนิดจะมีการดูดกลืนแสงที่ความถี่เฉพาะแตกต่างกันไป (quantized energy)

## 2.4.2 ประเภทของการสั่น

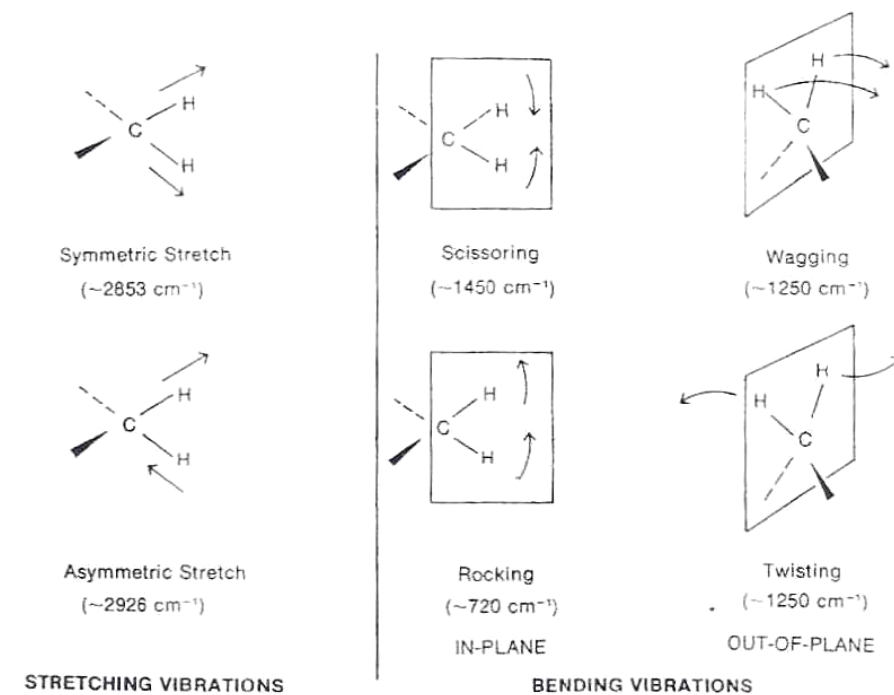
การสั่นแบบพื้นฐาน (fundamental vibration) แบ่งได้เป็น 2 ชนิด คือ

2.4.2.1 การยืด (stretching) เป็นการเปลี่ยนแปลงระยะทางระหว่างอะตอมตามแนวแกนพันธะ แต่มุมของพันธะไม่เปลี่ยนแปลง

2.4.2.2 การงอ (bending) เป็นการสั่นที่ทำให้เกิดการเปลี่ยนแปลงของมุมระหว่างอะตอม เช่น การขยับเข้าหากันและแยกกันแบบกรรไกร (scissoring), การเหวี่ยง (rocking), การกระดิก (wagging) และการบิด (twisting)

นอกจากนั้นจะพบการยืดและการงอแบบสมมาตร (symmetric) และแบบอสมมาตร (asymmetric) ในกลุ่มอะตอมที่มีอะตอมเหมือนกันอยู่สองอะตอม โดยพลังงานที่ทำให้เกิดการยืดแบบอสมมาตรจะสูงกว่าการยืดแบบสมมาตร ลักษณะการสั่นของโมเลกุลแสดงได้ในภาพประกอบ

2-4



ภาพประกอบ 2-4 การสั่นพื้นฐานรูปแบบต่างๆ [24]

การสั่นของโมเลกุลที่กล่าวมาข้างต้นเรียกว่าการสั่นหลักมูล (fundamental vibration) แต่ นอกจากการสั่นแบบหลักมูลแล้ว ยังมีแถบดูดกลืนอื่นๆที่แสดงในอินฟราเรดสเปกตรัม ได้แก่ แถบ โอเวอร์โทน (overtone band) แถบรวม (combination band) และเฟอร์มิ แรโซแนนซ์ (Fermi resonance) แถบโอเวอร์โทนจะมีเลขคลื่นเป็น 2, 3, 4... เท่าของการสั่นหลักมูล และบางครั้งมีความเข้มต่ำ เช่นเดียวกับแถบรวมที่มักจะมีความเข้มต่ำเช่นกัน และปรากฏที่เลขคลื่นที่เป็นผลรวมหรือ ผลต่างของแถบที่เกิดจากการสั่นหลักมูลสองแถบ หรือมากกว่า ถ้าแถบโอเวอร์โทนและแถบรวม เกิดอยู่ใกล้ๆกับแถบการสั่นหลักมูล จะทำให้ความเข้มของแถบหลักมูลลดลง แต่จะเพิ่มค่าความเข้ม ของแถบโอเวอร์โทน และแถบรวมแทน หรือเกิดการแตกแถบดูดกลืนออกเป็นสองแถบ เรียก ปรากฏการณ์นี้ว่าเฟอร์มิ แรโซแนนซ์ [7]

### 2.4.3 อินฟราเรดสเปกตรัม (IR spectrum)

อินฟราเรดสเปกตรัมเป็นกราฟแสดงความสัมพันธ์ระหว่างเลขคลื่น และความเข้มในการดูดกลืน ซึ่งแสดงอยู่ในรูปทรานสมิตแตนซ์ (transmittance, T) หรือแอบซอร์เบแนนซ์ (absorbance, A) [7] ดังแสดงได้ดังภาพประกอบ 2-5 โดยที่ทั้งสองค่าสัมพันธ์กับความเข้มของรังสี อินฟราเรดดังสมการที่ 2.2 ซึ่งเป็นไปตามกฎของ Lambert-Beer

$$T = \frac{I}{I_0} \quad (2.2)$$

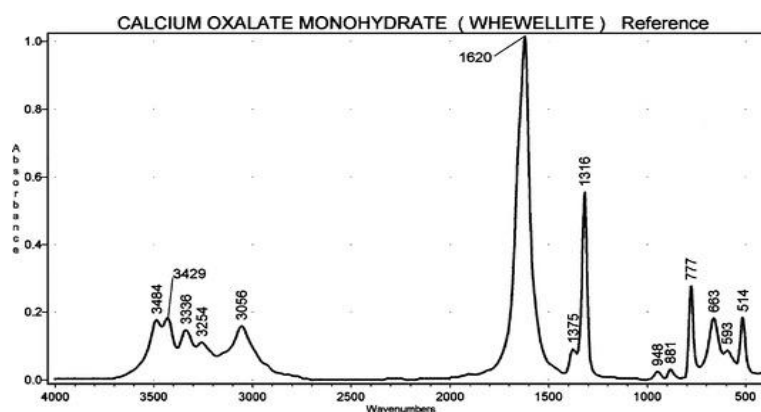
เมื่อ  $I$  = ความเข้มของรังสีที่ผ่านออกจากตัวอย่างที่ทดสอบ

$I_0$  = ความเข้มของรังสีที่ตกกระทบตัวอย่างที่ทดสอบ

จากสมการ T มีค่าเป็นศูนย์ถ้ารังสีทั้งหมดถูกดูดกลืน และมีค่าเป็น 1 หากไม่มีการดูดกลืน รังสี ค่าทรานสมิตแตนซ์มีความสัมพันธ์กับค่าแอบซอร์เบแนนซ์ดังสมการที่ 2.3

$$A = \log \frac{1}{T} = \log \frac{I_0}{I} = \epsilon cl \quad (2.3)$$

เมื่อ  $A$  = แอ็บซอร์เบแนนซ์  
 $T$  = ทรานส์มิทเทนซ์  
 $\epsilon$  = โมลาร์แอ็บซอร์บติวิตี (molar absorptivity)  
 $C$  = ปริมาณของสารตัวอย่าง  
 $l$  = ความหนาของสารตัวอย่าง



ภาพประกอบ 2-5 ลักษณะของอินฟราเรดสเปกตรัมในรูปแบบการดูดกลืนแสง (Absorbance) [25]

จากลักษณะของอินฟราเรดสเปกตรัม สามารถแปลผลจาก ย่านรังสีอินฟราเรดที่ใช้การหาโครงสร้างองค์ของสารแบ่งออกเป็น 3 บริเวณดังนี้

2.4.3.1 ย่านหมู่ฟังก์ชัน (functional group region) เป็นช่วงรังสีที่มีเลขคลื่น 4000 – 1300  $\text{cm}^{-1}$  เกิดจากการสั่นของพันธะระหว่างอะตอมสองอะตอม สเปกตรัมในช่วงนี้จะทำให้ทราบชนิดพันธะและอะตอม

- X-H stretching region (4000 – 2500  $\text{cm}^{-1}$ ) เป็นบริเวณที่เกิดการสั่นแบบ stretching ของพันธะเดี่ยวที่ต่ออยู่กับอะตอมของไฮโดรเจน
- Triple bond region (2500 – 2000  $\text{cm}^{-1}$ ) เป็นบริเวณที่เกิดการสั่นแบบ stretching ของพันธะสาม เช่น  $\text{C}\equiv\text{C}$  และ  $\text{C}\equiv\text{N}$
- Double bond region (2000 – 1500  $\text{cm}^{-1}$ ) เป็นบริเวณที่เกิดการสั่นแบบ stretching ของพันธะคู่ เช่น  $\text{C}=\text{C}$  และ  $\text{C}=\text{O}$

2.4.3.2 ย่านรอยนิ้วมือ (fingerprint region) เป็นช่วงรังสีที่มีเลขคลื่น  $1300 - 910 \text{ cm}^{-1}$  เกิดจากการสั่นแบบยืดและแบบงอของพันธะ C-C, C-O และ C-N เนื่องจากโมเลกุลมีการสั่นแบบงอมากกว่าแบบยืด สเปกตรัมจึงมีลักษณะซับซ้อน ประกอบด้วยแถบจำนวนมาก และหัวไหล่ (shoulders) ซึ่งเป็นแถบขนาดเล็กที่ยื่นออกมาจากแถบขนาดใหญ่ สารบางชนิดอาจมีลักษณะในย่านหมู่ฟังก์ชันคล้ายกัน แต่สามารถระบุความแตกต่างได้จากย่านรอยนิ้วมือ

2.4.3.3 ย่านอะโรแมติก (aromatic region) เป็นช่วงที่มีเลขคลื่น  $910 - 650 \text{ cm}^{-1}$  สารประกอบอะโรแมติกและเฮเทอโรอะโรแมติกแสดงแถบการงอของพันธะ C-H ซึ่งมีความสัมพันธ์กับแบบอย่างการแทนที่ (substitution pattern) บนวงแหวนได้

#### 2.4.4 ตำแหน่งของแถบดูดกลืน

ตำแหน่งของแถบดูดกลืนจะปรากฏในรูปของเลขคลื่น (wavenumber ( $\nu$ ),  $\text{cm}^{-1}$ ) หรือความยาวคลื่น (wavelength ( $\lambda$ ),  $\mu\text{m}$ ) โดยเลขคลื่นเป็นส่วนผกผันกับความยาวคลื่น แต่เป็นส่วนโดยตรงกับความถี่ ดังแสดงในสมการที่ 2.4 ดังต่อไปนี้

$$\nu = \frac{1}{\lambda} = \frac{f}{c} \quad (2.4)$$

|       |           |                           |
|-------|-----------|---------------------------|
| เมื่อ | $c$       | = ความเร็วของแสง (cm/s)   |
|       | $\lambda$ | = ความยาวคลื่นของแสง (cm) |
|       | $f$       | = ความถี่ของแสง (Hz)      |

ในอินฟราเรดสเปกตรัมของนิวตันนิยามใช้หน่วยเลขคลื่นมากกว่าหน่วยความยาวคลื่น และเนื่องจากเลขคลื่นเป็นส่วนผกผันโดยตรงกับความถี่ จึงมักเรียกเลขคลื่นเป็นความถี่ ตำแหน่งแถบดูดกลืนสามารถคำนวณได้โดยใช้กฎของฮุก (Hooke's Law) อะตอมสองอะตอมและพันธะซึ่งต่อระหว่างอะตอมทั้งสองเหมือนกับสปริงโมโนอะตอมิกเชิงเดี่ยว (simple harmonic oscillator) ที่ประกอบด้วยมวลสองชนิดที่ยึดกันด้วยสปริง สมการที่ 2.5 แสดงความสัมพันธ์ระหว่างเลขคลื่นของการยืด (stretching frequency) มวลอะตอม และค่าคงตัวของแรง (force constant) ของพันธะ มีดังต่อไปนี้

$$v = \frac{1}{2\pi} \left( \frac{k}{\mu} \right)^{1/2} \quad (2.5)$$

เมื่อ  $v$  = เลขคลื่นของการสั่น ( $\text{cm}^{-1}$ )

$c$  = ความเร็วของแสง ( $\text{cm/s}$ )

$k$  = ค่าคงตัวของแรงของพันธะ (ไดน์/cm)

$\mu$  = reduced mass =  $(m_A m_B) / (m_A + m_B)$

$m_A$  และ  $m_B$  คือมวลอะตอมของอะตอม A และ B ตามลำดับ

ค่าคงตัวของแรงมีค่าประมาณ  $5 \times 10^5$  ไดน์/ซม. สำหรับพันธะเดี่ยว และเพิ่มเป็น 2 และ 3 เท่าสำหรับพันธะคู่และพันธะสามตามลำดับ จากข้างต้นจะเห็นว่าแต่ละตำแหน่งการดูดกลืนของสเปกตรัม จะขึ้นอยู่กับคุณลักษณะเฉพาะของโมเลกุลที่เป็นองค์ประกอบ ทั้งมวลอะตอม หมู่ฟังก์ชัน หรือแม้แต่ลักษณะการจัดเรียงตัวของโมเลกุล

## 2.5 การแปลผลจากอินฟราเรดสเปกตรัม

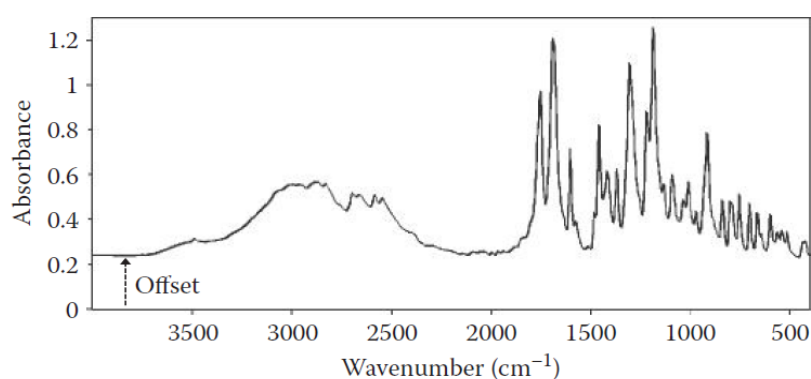
### 2.5.1 ระเบียบวิธีการจัดการอินฟราเรดสเปกตรัม (spectrum manipulation)

ระเบียบวิธีการจัดการอินฟราเรดสเปกตรัมคือ ขั้นตอนการปรับคุณลักษณะอินฟราเรดสเปกตรัมให้สามารถนำไปวิเคราะห์ และแปลผลได้ อินฟราเรดสเปกตรัมแต่ละสเปกตรัมอาจเกิดความผิดเพี้ยนอันเนื่องมาจากเครื่องอินฟราเรดสเปกตรัม จากตัวอย่างที่ใช้ในการทดลอง หรือจากอุณหภูมิโดยรอบขณะทำการทดลอง ทุกตัวแปรมีผลต่อลักษณะอินฟราเรดสเปกตรัมทั้งหมด การจะแปลผลเพื่อหาอัตลักษณ์ หรือเปรียบเทียบ สารแต่ละชนิด จึงต้องมีขั้นตอนการจัดการอินฟราเรดสเปกตรัม ซึ่งประกอบไปด้วยขั้นตอนดังต่อไปนี้

#### 2.5.1.1 การปรับเส้นพื้นฐาน (Baseline correction) [25-26]

ตำแหน่งเส้นพื้นฐาน (baseline) ในอุดมคติของอินฟราเรดสเปกตรัมในรูปการดูดกลืนแสงควรวางอยู่บนเส้นศูนย์ของค่าความเข้มข้นที่วัดได้ หรือในกรณีสเปกตรัมของการสะท้อนแสง ตำแหน่งเส้นพื้นฐานจะอยู่ที่ค่าความเข้มข้นเท่ากับ 100% แต่ปัญหาที่พบได้บ่อยในอินฟราเรดสเปกตรัมคือการเกิดความผันผวนของเส้นพื้นฐาน ดังนั้นในขั้นตอนนี้จึงเป็นการกำจัดส่วนนี้ของสเปกตรัมออกไป ซึ่งเป็นส่วนขององค์ประกอบความถี่ต่ำ ความผิดเพี้ยนของเส้นพื้นฐานของสเปกตรัม เกิดขึ้นได้ 3 กรณี ได้แก่

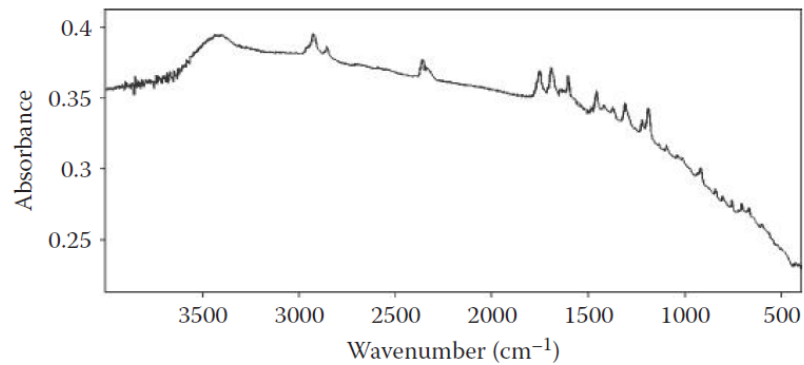
- กรณีที่ 1 เส้นพื้นฐานถูก offset ขึ้นมาจากเส้นศูนย์ (offset baseline) ซึ่งการ offset แบบนี้เท่ากับว่ามีการบวกค่าคงที่ค่าหนึ่งเข้าไปในสเปกตรัม ดังแสดงได้ดังภาพประกอบ 2-6 ค่า offset เกิดขึ้นได้โดยหลายกรณีได้แก่ ความหนาของตัวอย่างทดลอง การสะท้อน (reflected) และการดูดกลืน (absorbed) ของลำแสงอินฟราเรดที่ทุกตำแหน่งเลขคลื่น ปัญหานี้แก้ไขได้โดยการทำให้ตัวอย่างสารทดลองมีขนาดบางลง ในกรณีที่ยังทำการทดลอง แต่ในกรณีของการวิเคราะห์จากอินฟราเรดสเปกตรัมจะใช้วิธีการลบค่าคงที่ที่เป็นค่า offset ออก



ภาพประกอบ 2-6 เส้นพื้นฐานถูก offset ขึ้นมาจากเส้นศูนย์ [25]

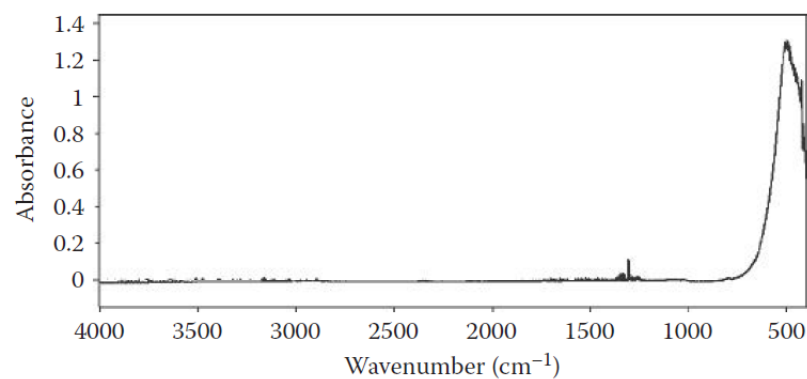
- กรณีที่ 2 เส้นพื้นฐาน มีค่าความชัน (slope baseline) ดังภาพประกอบ 2-7 ซึ่งเกิดจากการกระเจา (scattered) ของแสงจากลำแสงอินฟราเรด (infrared beam) สามารถแก้ไขปัญหานี้โดยทำ KBr pellet ขึ้นมาใหม่ หรือในกรณีที่มีสาเหตุมาจาก sloped baseline drift ของเครื่องมือ อาจเนื่องมาจากความแปรปรวนของอุณหภูมิภายในเครื่องมือและความผันผวนของกำลังไฟฟ้า แก้ไขโดยการปรับค่าพื้นหลังของเครื่องใหม่ (running a fresh background )





ภาพประกอบ 2-7 เส้นพื้นฐานมีค่าความชัน [25]

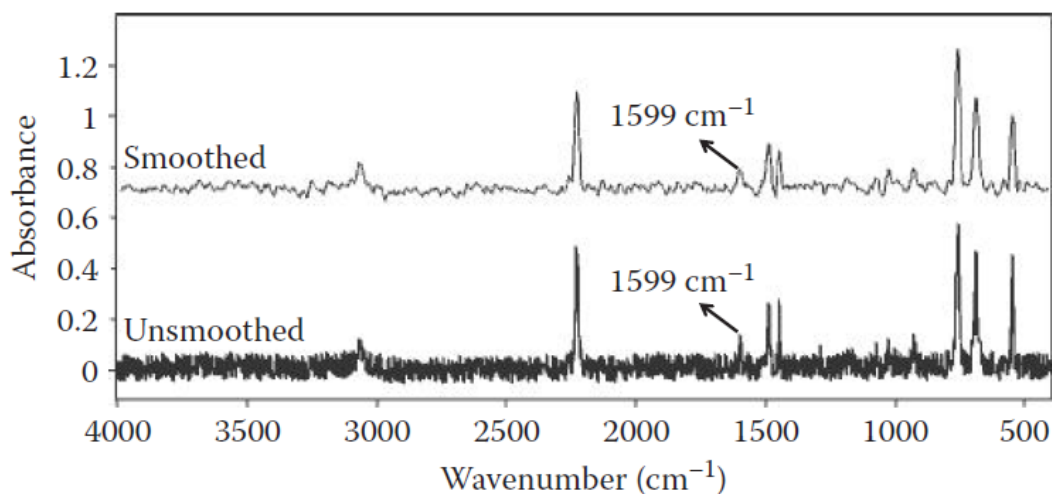
- กรณีที่ 3 การเกิดเส้นพื้นฐาน โค้ง (curvature) ในเพียงบางตำแหน่งเลขคลื่น ดังแสดงในภาพประกอบ 2-8 ซึ่งกรณีนี้มักเกิดจากตัวเครื่องอินฟราเรด



ภาพประกอบ 2-8 เส้นพื้นฐาน โค้ง [25]

### 2.5.1.2 การปรับเส้นเรียบ (Smoothing)

การปรับเส้นเรียบจะถูกนำมาใช้ในกรณีที่ค่า SNR ของอินฟราเรดสเปกตรัมมีค่าน้อย ซึ่งแสดงให้เห็นว่าสัญญาณรบกวนที่ปะปนอยู่มีจำนวนมากเกินไป ตัวอย่างอินฟราเรดสเปกตรัมของสาร benzotrile [25] ดังภาพประกอบ 2-9 จะสังเกตเห็นได้ว่าในภาพบนซึ่งเป็นอินฟราเรดสเปกตรัมที่ผ่านการปรับเส้นเรียบแล้ว จะเห็นตำแหน่งแถบดูดกลืนที่ความถี่  $1599\text{ cm}^{-1}$  ได้ชัดเจนกว่าอินฟราเรดสเปกตรัมภาพล่างซึ่งยังไม่มีมีการปรับเส้นเรียบแต่อย่างใด



ภาพประกอบ 2-9 การเปรียบเทียบสเปกตรัมของสารที่ผ่านและไม่ผ่านการปรับเส้นเรียบ [25]

การปรับเส้นเรียบ จะกำจัดสัญญาณรบกวนที่เกิดขึ้น โดยจะทำหน้าที่ เป็นตัวกรองสัญญาณความถี่ต่ำ (low-pass filter) ซึ่งจะกรองเอาองค์ประกอบสัญญาณความถี่สูงออกไป ในที่นี้ก็คือสัญญาณรบกวน โดยที่ไม่ทำให้คุณลักษณะสำคัญของสเปกตรัมสูญหายไป [26] เทคนิคที่ใช้ในการปรับเส้นเรียบสำหรับอินฟราเรดสเปกตรัมที่นิยมใช้กันอย่างแพร่หลายได้แก่ ตัวกรองของชาวีสกี-โกเลย์ (Savitzky-Golay filter) และวิธีการแปลงเวฟเล็ต (wavelet transform)

### 2.5.1.3 อนุพันธ์สเปกตรัม (spectral derivatives)

อนุพันธ์สเปกตรัมใช้สำหรับการวิเคราะห์หาตำแหน่งพีก และการกำจัดเส้นพื้นฐานของสเปกตรัม โดยเฉพาะในกรณีที่มีอินฟราเรดสเปกตรัมที่มีตำแหน่งของพีกที่ซ้อนทับกัน จากสมการทางคณิตศาสตร์พบว่า เมื่ออินฟราเรดสเปกตรัมผ่านการ ทำอนุพันธ์อันดับหนึ่ง ( $1^{\text{st}}$  derivative) จะทำให้จุดพีกของอินฟราเรดสเปกตรัมมี ค่าเท่ากับ 0 วิธีการดังกล่าวเรียกว่า zero-crossing first derivatives ซึ่งสามารถนำไปใช้ในการแปลผลเชิงปริมาณได้อีกด้วย นอกจากนั้นพบว่า อนุพันธ์อันดับสอง ( $2^{\text{nd}}$  derivative) และอนุพันธ์อันดับสูงขึ้นไป ก็สามารถนำมาใช้ในการหาตำแหน่งพีกได้เช่นกัน

### 2.5.1.4 การปรับขนาดสัญญาณบรรทัดฐาน (Normalization)

Normalization คือการปรับรูปแบบสัญญาณให้อยู่ภายในบรรทัดฐานเดียวกัน เพื่อช่วยลดความซ้ำซ้อนของข้อมูล โดยการทำ normalization ในทางอินฟราเรดสเปกตรัม เป็นไปเพื่อให้ง่ายต่อการเปรียบเทียบลักษณะ โครงสร้าง ตำแหน่งการเกิดพีก และขนาดของการดูดกลืน

แสง ซึ่งจะส่งผลต่อการแปลผลอินฟราเรดสเปกตรัมในเชิงปริมาณด้วย การปรับขนาดของอินฟราเรดสเปกตรัมโดยมากจะถูกปรับให้อยู่ในช่วง 0-1 absorbance unit

## 2.5.2 เทคนิคที่ใช้ในการแปลผล

### 2.5.2.1 การแปลงเวฟเลต (wavelet transform)

การแปลงเวฟเลตเหมาะสำหรับข้อมูลที่มีความซับซ้อน มีจำนวนมาก และมีส่วนที่เกิดการซ้อนทับกันของข้อมูล โดยมีพื้นฐานมาจากการแปลงฟูเรียร์ การแปลงเวฟเลตของสัญญาณจะอยู่ในรูปของการรวมสัญญาณองค์ประกอบความถี่ต่ำ (approximated version) และองค์ประกอบความถี่สูง (detailed version) ในระดับต่างๆ โดยจะมีค่าสัมประสิทธิ์เวฟเลตเป็นค่า น้ำหนักขององค์ประกอบความถี่แต่ละระดับ การวิเคราะห์สัญญาณโดยใช้การแปลงเวฟเลตจะนำสัญญาณเวฟเลตที่มีโครงสร้างแบบเดียวกันมาใช้สำหรับการอธิบาย ฟังก์ชันที่เป็นฟังก์ชันต้นกำเนิดเรียกว่าเวฟเลตแม่ (mother wavelet) โดยที่เวฟเลตแต่ละอันในกลุ่มจะเกิดจากการปรับสเกล (scale ; a) เป็นค่าที่แสดงถึงการยืดหดของเวฟเลตแม่ ส่วนการเลื่อนตำแหน่ง (translation or shifting ; b) จะเป็นการแสดงตำแหน่งบนแกนเวลา [27] เขียนสมการของเวฟเลตได้ดังสมการที่ 2.6

$$\Psi_{a,b}(t) = \frac{1}{\sqrt{a}} \Psi\left(\frac{t-b}{a}\right) \quad (2.6)$$

เมื่อ  $\Psi(t)$  = ฟังก์ชันของเวฟเลตแม่ที่มีการปรับสเกล

$a$  = พารามิเตอร์ของการปรับสเกล (Scaling)

$b$  = พารามิเตอร์ของการเลื่อนตำแหน่ง (Shifting)

รูปแบบการแปลงเวฟเลตแบ่งได้เป็นสองแบบ คือ การแปลงเวฟเลตแบบต่อเนื่อง (continuous wavelet transform) และการแปลงเวฟเลตแบบเต็มหน่วย (discrete wavelet transform) ซึ่งการแปลงเวฟเลตแบบเต็มหน่วยจะมีความแม่นยำทางด้านเวลาและความถี่ แต่กระบวนการต้องใช้เวลาในการวิเคราะห์หามาก และข้อมูลที่ได้มีความซับซ้อนเกินความจำเป็น จากส่วนนี้การแปลงเวฟเลตแบบเต็มหน่วยจึงถูกพัฒนาขึ้น การแปลงเวฟเลตแบบเต็มหน่วยคือการปรับสเกลและเลื่อนตำแหน่งของช่วงแบบไม่ต่อเนื่องกัน

ในการศึกษาองค์ประกอบทางเคมี มีการใช้การแปลงเวฟเล็ตสำหรับการระบุลักษณะสำคัญของสารประกอบ เนื่องจากสามารถแทนที่โดเมนเวลาด้วยโดเมนอื่นๆ เช่น ความยาวคลื่น (wavelength) ดังนั้นจึงมีการศึกษาใช้การแปลงเวฟเล็ตสำหรับอินฟราเรดสเปกโทรสโกปี เพื่อระบุตำแหน่งและลักษณะของแถบดูดกลืนของหมู่ฟังก์ชันต่างๆ จากลักษณะสเปกตรัม โดยจากการศึกษาของ Bos และ Vrieling [28] พบว่าการแปลงเวฟเล็ตโดยใช้คลื่นเวฟเล็ตแบบ Daubechies wavelet functions จะให้ผลที่มีประสิทธิภาพสูงสุด เนื่องจากลักษณะของคลื่นเวฟเล็ตแบบ Daubechies จะมีลักษณะโครงสร้างคล้ายกับลักษณะของอินฟราเรดสเปกตรัมมากที่สุด

### 2.5.2.2 วิธีการวิเคราะห์สัญญาณแบบหลายระดับความละเอียด

การวิเคราะห์สัญญาณแบบหลายระดับความละเอียด (multiresolution analysis) เป็นอีกหนึ่งวิธีการที่ใช้รูปแบบการวิเคราะห์ความถี่ โดย จะแบ่ง ลักษณะสัญญาณออกเป็น 2 องค์ประกอบ ได้แก่สัญญาณองค์ประกอบความถี่สูง เรียกว่า “detail, D” และสัญญาณองค์ประกอบต่ำ เรียกว่า “approximation, A” ซึ่งเป็นการนำสัญญาณที่ได้จากการปรับสเกล  $a$  ซึ่งมี  $b$  หลายๆ ตำแหน่งมารวมกัน เกิดเป็นสัญญาณระดับความละเอียดที่เลือกไว้ และเมื่อนำสัญญาณทั้งหมดมารวมกันแล้วจะทำให้ได้สัญญาณต้นแบบดั้งเดิมคืนมา [29-30]

### 2.5.2.3 ตัวกรองของซาวิตซ์กี-โกเลย์ (Savitzky-Golay filter) [31]

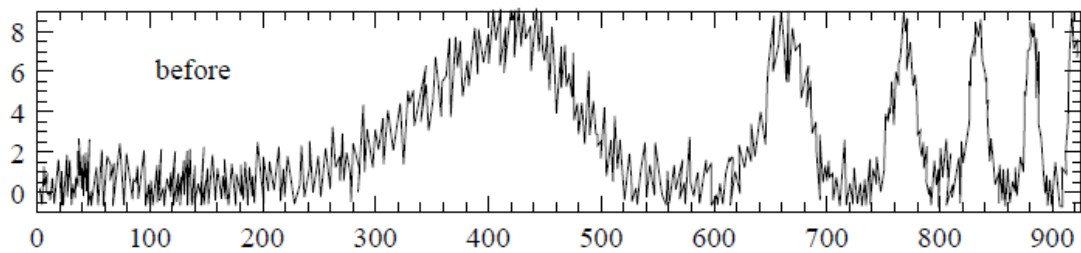
ตัวกรองของซาวิตซ์กี-โกเลย์เป็นเครื่องมือที่มีประสิทธิภาพในการ กำจัดสัญญาณรบกวนอีกวิธีหนึ่ง โดยมีพื้นฐานมีจากระเบียบวิธีกำลังสองน้อยสุด (least square method) และมีขั้นตอนในการทำงานคล้ายคลึงกับตัวกรองเคลื่อนที่ซึ่งเป็นการคำนวณหาค่าเฉลี่ยจากผลรวมของทุกตำแหน่งที่อยู่ในช่วงหน้าต่างที่พิจารณา แล้วแทนที่ด้วยค่าเพียงค่าเดียว ทำให้วิธีตัวกรองเคลื่อนที่มีแนวโน้มในการกรองเอาส่วนที่เป็นคุณลักษณะสำคัญของข้อมูลออกไป ตัวกรองของซาวิตซ์กี-โกเลย์ถูกเรียกอีกอย่างว่า หน้าต่างตัวกรองเคลื่อนที่ (moving window averaging) [32] โดยตำแหน่งการพิจารณา ( $i$ ) จะมีค่าที่ตำแหน่งการพิจารณาเท่ากับ  $f_i \equiv f(t_i)$  เมื่อ  $t_i = t_0 + \Delta i$  โดยที่  $i = \dots -2, -1, 0, 1, 2, \dots$  ดังนั้นสมการที่ได้จาก ตัวกรองซาวิตซ์กี-โกเลย์สามารถคำนวณได้จากสมการที่ 2.7

$$g_i = \sum_{n=-n_L}^{n_R} c_n f_{i+n} \quad (2.7)$$

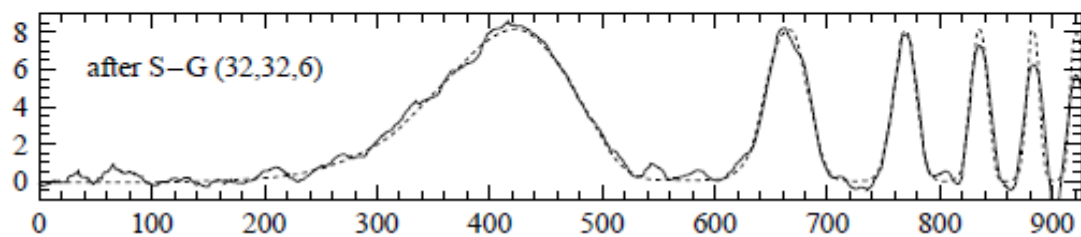
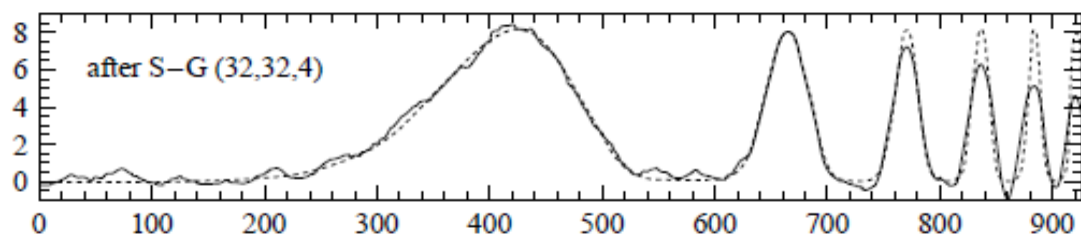
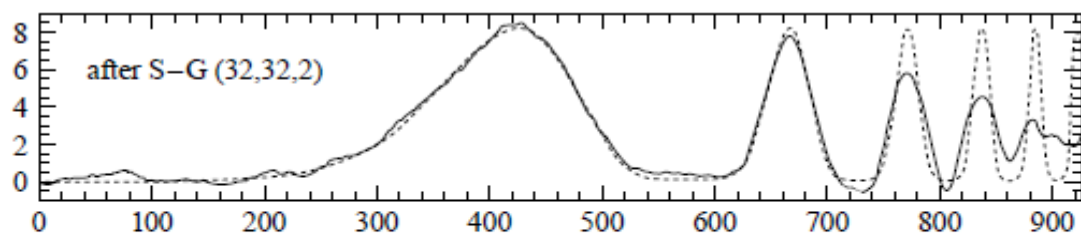
- เมื่อ  $i$  = ตำแหน่งเลขคลื่นที่ต้องการพิจารณา  
 $g_i$  = ค่าแทนที่ตำแหน่งพิจารณาจากการคำนวณ โดยวิธีการซาวีสกี-โกเลย์  
 $n_L$  = จำนวนตำแหน่งถัดไปทางซ้ายจากตำแหน่งที่พิจารณา  
 $n_R$  = จำนวนตำแหน่งถัดไปทางขวาจากตำแหน่งที่พิจารณา  
 $f_{i+n}$  = พารามิเตอร์ของการเลื่อนตำแหน่ง (Shifting)  
 $c_n$  = ค่าคงที่ ( $c_n = 1/(n_L + n_R + 1)$ )

นอกจากนี้วิธีการของตัวกรองของซาวีสกี-โกเลย์จำเป็นต้องกำหนด อันดับของพหุนาม (polynomial order) ในแต่ละช่วงหน้าต่างที่ใช้วิเคราะห์ ซึ่งค่าพหุนามนี้จะใช้สำหรับการปรับเส้นเรียบของสเปกตรัม และมีการกำหนดขนาดหน้าต่างของการวิเคราะห์ (window size) อีกด้วย ถ้าขนาดของหน้าต่างที่ใช้วิเคราะห์ยิ่งกว้าง และอันดับพหุนามต่ำมากเท่าไร ระดับความเรียบของข้อมูลจะยิ่งมากขึ้น ดังแสดงในภาพประกอบ 2-10

(a)



(b)



ภาพประกอบ 2-10 (a) ลักษณะสัญญาณก่อนผ่านตัวกรองซาวีสกี-โกเลย์ (b) ลักษณะสัญญาณหลังผ่านตัวกรองซาวีสกี-โกเลย์ ที่มีจำนวนตำแหน่งในการพิจารณาเท่ากับ 65 ตำแหน่ง และมีอันดับของพหุนาม 2, 4 และ 6 ตามลำดับ [31]

จากภาพประกอบ 2-10 พบว่ายิ่งอันดับของพหุนามมาก การลดทอนสัญญาณก็จะเกิดขึ้นน้อย แต่ประสิทธิภาพในการปรับเส้นเรียบของสัญญาณก็มีน้อยลงเช่นกัน

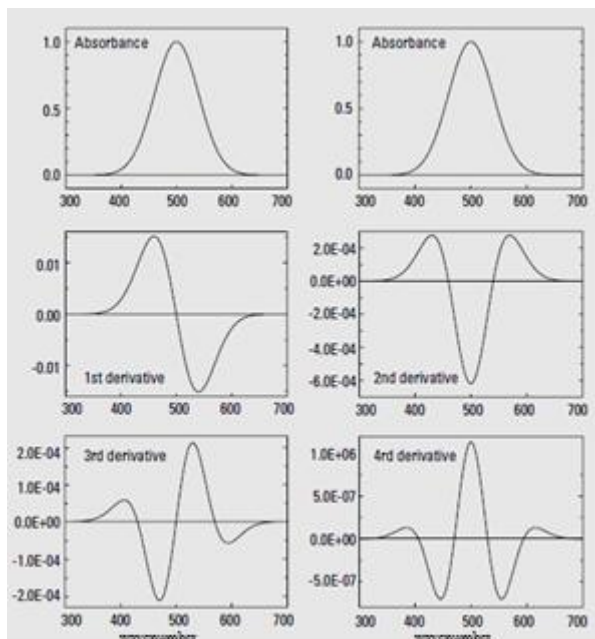
### 2.5.2.4 การหาอนุพันธ์ (derivative)

สมการในการหาอนุพันธ์อันดับหนึ่งของสเปกตรัมเป็นอัตราการเปลี่ยนแปลงของค่าการดูดกลืนแสง (absorbance) เทียบกับการเปลี่ยนแปลงของความยาวคลื่น (wavelength) [33] ซึ่งเป็นไปตามสมการที่ 2.8

$$\frac{dA}{d\nu} = \frac{(A_{\nu+\Delta\nu} - A_{\nu})}{\Delta\nu} \quad (2.8)$$

เมื่อ  $A$  = Absorbance  
 $\nu$  = wavenumber ( $\text{cm}^{-1}$ )

จากสมการ ที่ 2.8 จะพบว่าค่าคงที่ต่างๆในสเปกตรัม นั้น เมื่อผ่านการทำอนุพันธ์แล้วจะให้ค่าเท่ากับ 0 ซึ่งเป็นไปตามสมการทางคณิตศาสตร์ ดังนั้นการหาอนุพันธ์อันดับหนึ่งจึงมีประสิทธิภาพในการกำจัดออฟเซต นอกจากนี้จากการศึกษาบทความวิจัยที่ผ่านมาพบว่าการใช้การหาความสัมพันธ์แบบเส้นตรงจากอนุพันธ์อันดับหนึ่งสำหรับการวิเคราะห์ผลเชิงปริมาณสำหรับสารผสม [17], [19] นอกจากนี้ อนุพันธ์อันดับสอง มีประสิทธิภาพมากในการ จำแนกตำแหน่งแถบดูดกลืนแสงที่เกิดการซ้อนทับกัน (overlapped peaks) [4-5], [33] ซึ่งจะถูกนำไปใช้ในขั้นตอน การวิเคราะห์เชิงคุณภาพ ลักษณะของสเปกตรัมที่ผ่านอนุพันธ์อันดับต่างๆ แสดงดังภาพประกอบ 2-11 หลังจากสเปกตรัมผ่านการแปลงอนุพันธ์อันดับหนึ่งเรียบร้อยแล้ว ตำแหน่งแถบดูดกลืนของสเปกตรัมตั้งต้นจะตัดผ่านศูนย์บนเส้นของความยาวคลื่น และจะปรากฏตำแหน่ง แถบดูดกลืนใหม่ทั้งด้านแกนบวกและลบของแกนความยาวคลื่น ซึ่งตำแหน่งแถบดูดกลืน ใหม่ที่เกิดขึ้น เดิมก็คือตำแหน่งที่มีค่าความชันน้อยที่สุดของสเปกตรัมเดิมนั่นเอง



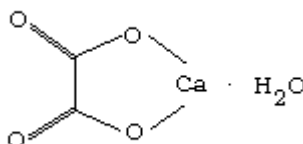
ภาพประกอบ 2-11 ลักษณะสเปกตรัมหลังการแปลงอนุพันธ์อันดับต่างๆ [33]

### 2.5.3 การแปลผลเชิงคุณภาพ

การประเมินผลเชิงคุณภาพเป็นการแปลความหมายของอินฟราเรดสเปกตรัม ในรูปของการระบุตำแหน่ง พีคสำคัญของนิวชนิดต่างๆ ปัญหาที่พบในการแปลผลเชิงคุณภาพคือ อินฟราเรดสเปกตรัมมี ตำแหน่งพีค ซ้อนทับกันซึ่งมักจะเกิดในสเปกตรัมของนิวชนิดผสม ซึ่งนิวชนิดผสมอาจเกิดขึ้นจากนิวสองชนิดหรือมากกว่านั้น และไม่ว่าจะประกอบด้วยนิวกี่ชนิด ตำแหน่งพีคสำคัญของนิวแต่ละชนิดจะ แสดงให้เห็น ในอินฟราเรดสเปกตรัม โดยนิวแต่ละชนิดก็จะมี ตำแหน่งพีคที่แตกต่างกันออกไปตามหมู่ฟังก์ชันที่เป็นองค์ประกอบดังนี้ [34]

#### 2.5.3.1 นิวที่มีแคลเซียมเป็นองค์ประกอบหลัก (calcium stone)

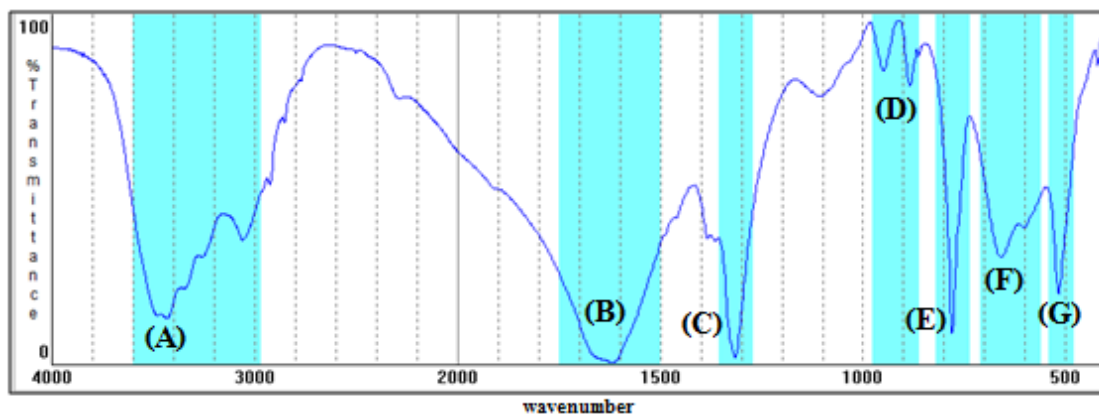
2.5.3.1.1 นิวแคลเซียมออกซาเลตโมโนไฮเดรต (calcium oxalate monohydrate, Whewellite) มีโครงสร้างทางเคมีคือ  $\text{Ca}_2\text{C}_2\text{O}_4 \cdot \text{H}_2\text{O}$  ดังภาพประกอบ 2-12



ภาพประกอบ 2-12 โครงสร้างทางเคมีของนิวแคลเซียมออกซาเลต โมโนไฮเดรต



จากโครงสร้างของโมเลกุลพบว่าประกอบด้วยพันธะของ C-C หนึ่งตำแหน่ง พันธะ C=O สองตำแหน่ง ในส่วนของโมเลกุลของน้ำก็ประกอบด้วยพันธะ OH สองตำแหน่ง จากพันธะที่กล่าวมาข้างต้นนั้น จะได้ลักษณะอินฟราเรดสเปกตรัมดังภาพประกอบ 2-13



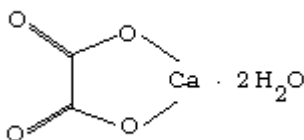
ภาพประกอบ 2-13 อินฟราเรดสเปกตรัมของนิ่วแคลเซียมออกซาเลต โมโนไฮเดรต

จากภาพประกอบ 2-13 ตำแหน่งพีคของนิ่วแคลเซียมออกซาเลต โมโนไฮเดรตมีดังนี้

- (A) ที่ความถี่  $3477 - 3059 \text{ cm}^{-1}$  แสดงตำแหน่งพีคที่เกิดจากการสั่นของพันธะ O-H ของโมเลกุลของน้ำ
- (B) ที่ความถี่  $1620 \text{ cm}^{-1}$  แสดงตำแหน่งพีคที่เกิดจากการสั่นแบบสมมาตรของพันธะ C=O ซึ่งจะมีไหล่ของพีคที่ความถี่  $1646 \text{ cm}^{-1}$  แสดงอยู่ด้วย
- (C) ที่ความถี่  $1315 \text{ cm}^{-1}$  แสดงตำแหน่งพีคที่เกิดจากการสั่นแบบสมมาตรของพันธะ C=O ซึ่งเป็นตำแหน่งพีคสำคัญที่จะบ่งบอกว่ามีนิ่วชนิดแคลเซียมออกซาเลตโมโนไฮเดรตประกอบอยู่ด้วย ในนิ่วชนิดที่เป็นนิ่วผสม
- (D) ที่ความถี่  $886$  และ  $950 \text{ cm}^{-1}$  แสดงตำแหน่งพีคที่เกิดจากการสั่นตามแบบแผนของพันธะ O-H
- (E) ที่ความถี่  $780 \text{ cm}^{-1}$  แสดงตำแหน่งพีคที่เกิดจากการสั่นของพันธะ C=O ที่มีความผิดปกติของการจัดเรียงอะตอม ตำแหน่งพีค นี้เป็นตำแหน่งพีค ที่บอกความแตกต่างระหว่างนิ่วชนิดแคลเซียมออกซาเลตโมโนไฮเดรตกับนิ่วชนิดแคลเซียมออกซาเลตไดไฮเดรต
- (F) พีคที่ความถี่  $597$  และ  $660 \text{ cm}^{-1}$  แสดงตำแหน่งพีค ที่เกิดจากการสั่นตามแบบแผนของพันธะ OH
- (G) พีคที่ความถี่  $518 \text{ cm}^{-1}$  เป็นตำแหน่งพีคที่เกิดในนิ่วชนิดแคลเซียมออกซาเลตไดไฮเดรต ด้วยเช่นกัน จึงต้องใช้ความเข้มของการดูดกลืนแสงอินฟราเรดในการตัดสินใจ

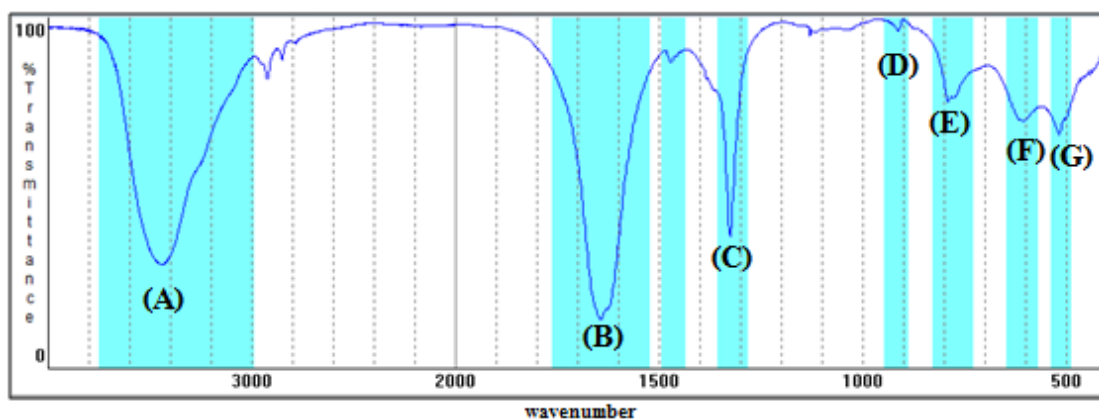
### 2.5.3.1.2 นีวแคลเซียมออกซาเลตไดไฮเดรต (Calcium oxalate dehydrate, Weddellite)

มีโครงสร้างทางเคมีคือ  $\text{CaC}_2\text{O}_4 \cdot 2\text{H}_2\text{O}$  มีลักษณะดังภาพประกอบ 2-14



ภาพประกอบ 2-14 โครงสร้างทางเคมีของนีวแคลเซียมออกซาเลต ไดไฮเดรต

นีวแคลเซียมออกซาเลต ไดไฮเดรตต่างจากนีวแคลเซียมออกซาเลตโมโนไฮเดรตตรงที่ประกอบด้วยโมเลกุลของน้ำจำนวน 2 โมเลกุลเท่านั้น พันธะต่างๆภายในโมเลกุลจะคล้ายกับนีวชนิดแคลเซียมออกซาเลตโมโนไฮเดรตเป็นอย่างมาก จากพันธะที่กล่าวมาข้างต้นนั้น จะได้ลักษณะอินฟราเรดสเปกตรัมดังภาพประกอบ 2-15



ภาพประกอบ 2-15 อินฟราเรดสเปกตรัมของนีวแคลเซียมออกซาเลต ไดไฮเดรต

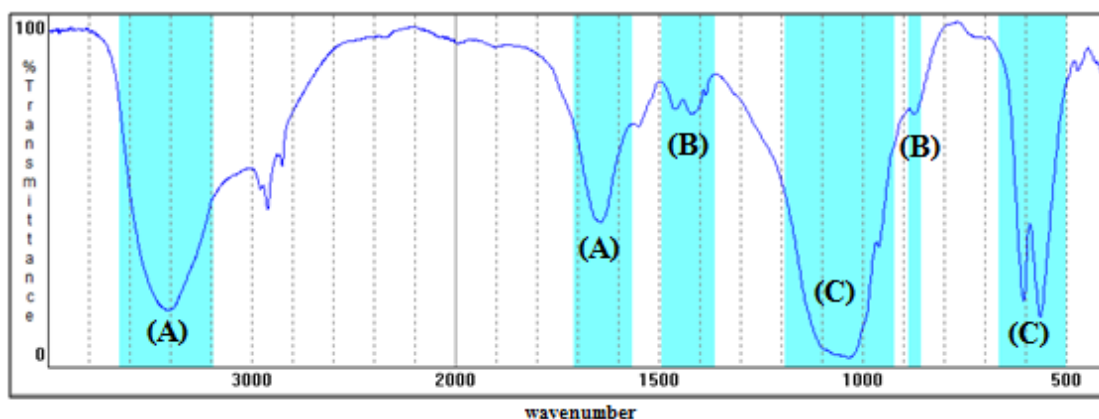
จากภาพประกอบ 2-15 แต่ละตำแหน่งพีคที่เกิดการดูดกลืนแสงของนีวแคลเซียมออกซาเลตไดไฮเดรตมีดังนี้

- (A) ที่ความถี่  $3476 \text{ cm}^{-1}$  แสดงตำแหน่งพีคที่เกิดจากการสั่นของพันธะ O-H ของโมเลกุลของน้ำแบบผลึก
- (B) ที่ความถี่  $1646 \text{ cm}^{-1}$  แสดงตำแหน่งพีคที่เกิดจากการสั่นแบบสมมาตรของพันธะ C=O

- (C) ที่ความถี่  $1326\text{ cm}^{-1}$  แสดงตำแหน่งพีกที่เกิดจากการสั่นแบบสมมาตรของพันธะ C=O ซึ่งเป็นตำแหน่งพีกสำคัญที่จะบ่งบอกว่ามีนิวชนิดแคลเซียมออกซาลेटไดไฮเดรตประกอบอยู่ด้วย ในนิวชนิดที่เป็นนิวผสม
- (D) ที่ความถี่  $915\text{ cm}^{-1}$  แสดงตำแหน่งพีกที่เกิดจากการสั่นของพันธะ O-H และยังเป็นส่วนที่แสดงความแตกต่างกับนิวชนิดแคลเซียมออกซาลेटโมโนไฮเดรต
- (E) ที่ความถี่  $777\text{ cm}^{-1}$  แสดงตำแหน่งพีกที่เกิดจากการสั่นของพันธะ C=O ที่มีความผิดปกติของการจัดเรียงอะตอม ตำแหน่งพีกนี้เป็นตำแหน่งพีกที่บอกความแตกต่างระหว่างนิวชนิดแคลเซียมออกซาลेटโมโนไฮเดรตกับนิวชนิดแคลเซียมออกซาลेटไดไฮเดรต
- (F) ที่ความถี่  $610\text{ cm}^{-1}$  แสดงตำแหน่งพีกที่เกิดจากการสั่นตามแบบแผนของพันธะ O-H
- (G) ที่ความถี่  $518\text{ cm}^{-1}$  เป็นตำแหน่งพีกที่เกิดในนิวชนิดแคลเซียมออกซาลेट โมโนไฮเดรตด้วยเช่นกัน จึงต้องใช้ความเข้มของการดูดกลืนแสงอินฟราเรดในการตัดสินใจ

2.5.3.1.3 นิวแคลเซียมฟอสเฟตหรือนิวอะพาไทท์ (Calcium phosphate, Carbonate Apatite) มีโครงสร้างทางเคมีคือ  $\text{Ca}_{10}(\text{PO}_4)_2(\text{CO}_3)_6(\text{OH})_2$

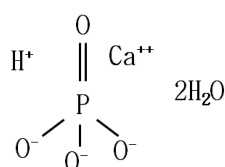
นิวแคลเซียมฟอสเฟต จะพบลักษณะเด่นจาก กลุ่ม  $(\text{PO}_4)^{3-}$  ซึ่งเป็นแกนกลางของโมเลกุล มีไอออนลบอิสระจากออกซิเจนทั้งหมด 3 ไอออน ไอออนเหล่านี้จะไปจับกับไอออนบวกของแคลเซียมซึ่งมีไอออนบวกอิสระสองไอออนต่อหนึ่งโมเลกุล โมเลกุลของคาร์บอนอะตอะพาไทท์นั้น สามารถบรรจุหมู่ OH อยู่ในโครงสร้างของผลึก แคลตติคได้จำนวนมาก จากลักษณะของพันธะ ตำแหน่งพีกของนิวแคลเซียมฟอสเฟตมีลักษณะดังภาพประกอบ 2-16



ภาพประกอบ 2-16 อินฟราเรดสเปกตรัมของนิวแคลเซียมฟอสเฟต

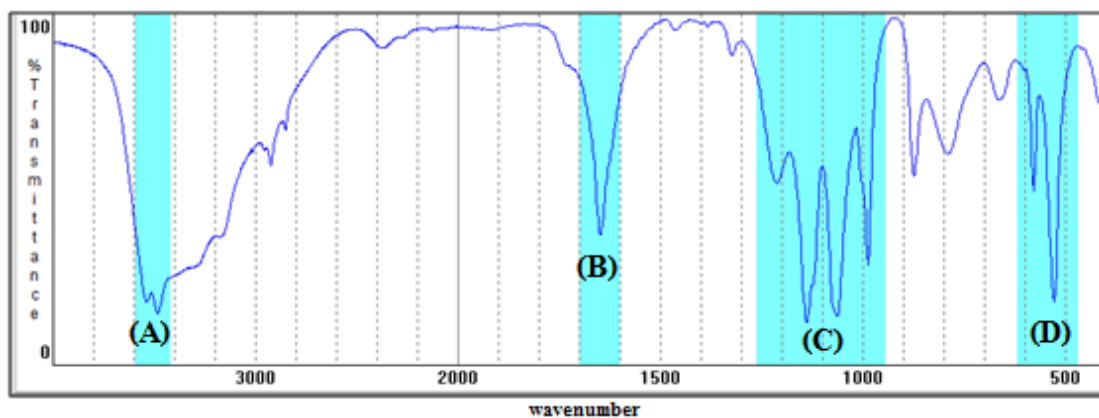
- (A) ตำแหน่งพีคที่ความถี่ 3404 และตำแหน่งพีคที่ความถี่ 1623  $\text{cm}^{-1}$  เป็นผลมาจากการบรจุหมู่ OH อยู่ในโครงสร้างของผลึกแลกติก
- (B) ตำแหน่งพีคที่ความถี่ 1449, 1415 และ 873  $\text{cm}^{-1}$  เป็นผลมาจากหมู่ฟังก์ชัน  $\text{CO}_3$
- (C) ตำแหน่งพีคที่เห็นอย่างเด่นชัดคือตำแหน่งพีคที่ความถี่ 1035  $\text{cm}^{-1}$  ซึ่งเกิดจากการสั่นของหมู่ฟอสเฟต และอีกหนึ่งตำแหน่งคือ 602 และ 566  $\text{cm}^{-1}$

2.5.3.1.4 นีวแคลเซียมโมนไฮโดรเจนฟอสเฟตหรือนีวรูไซต์ (Calcium monohydrogenphosphate dihydrate, Brushite) มีโครงสร้างทางเคมีคือ  $\text{CaHPO}_4 \cdot 2\text{H}_2\text{O}$  มีลักษณะดังภาพประกอบ 2-17



ภาพประกอบ 2-17 โครงสร้างทางเคมีของนีวรูไซต์

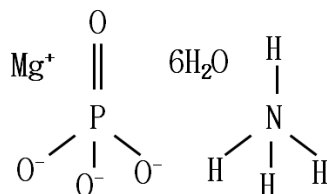
จากลักษณะโครงสร้างทางเคมี ตำแหน่งพีคที่ปรากฏของนีวรูไซต์สามารถแสดงได้ดังภาพประกอบ 2-18



ภาพประกอบ 2-18 อินฟราเรดสเปกตรัมของนีวรูไซต์

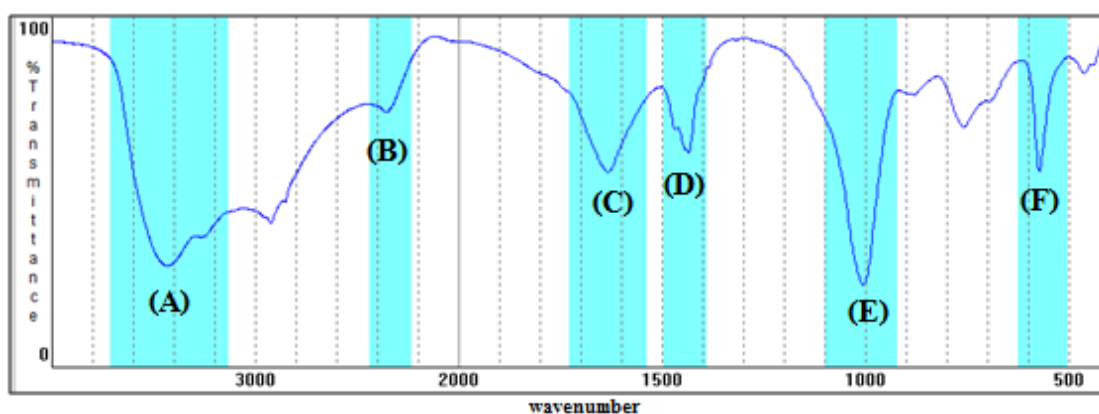
- (A) ตำแหน่งความถี่ 3540 และ 3488  $\text{cm}^{-1}$  เป็นผลจากการสั่นของหมู่ OH
- (B) ตำแหน่งความถี่ 1649  $\text{cm}^{-1}$  เป็นผลจากการสั่นของพันธะ O-H ของน้ำ
- (C) บริเวณแถบดูดกลืนความถี่ 1000  $\text{cm}^{-1}$  เป็นผลมาจากการสั่นของพันธะ  $\text{HPO}_4$  ซึ่งทำให้เกิดเป็นตำแหน่งพีค 4 ตำแหน่ง ได้แก่ 985, 1059, 1133 และ 1211  $\text{cm}^{-1}$
- (D) ตำแหน่งความถี่ 578 และ 527  $\text{cm}^{-1}$  เกิดจากการสั่นของหมู่ฟอสเฟต

2.5.3.2 นีวแมกนีเซียม แอมโมเนียมฟอสเฟต (Magnesium Ammonium phosphate Stone) หรือนิวสตรูไวต์ (Struvite) มีโครงสร้างทางเคมีคือ  $MgNH_4PO_4 \cdot 6H_2O$  ดังภาพประกอบ 2-19



ภาพประกอบ 2-19 โครงสร้างทางเคมีของนิวสตรูไวต์

จากลักษณะโครงสร้างทางเคมี ตำแหน่งพิกที่ปรากฏของนิวสตรูไวต์สามารถแสดงได้ ดังภาพประกอบ 2-20



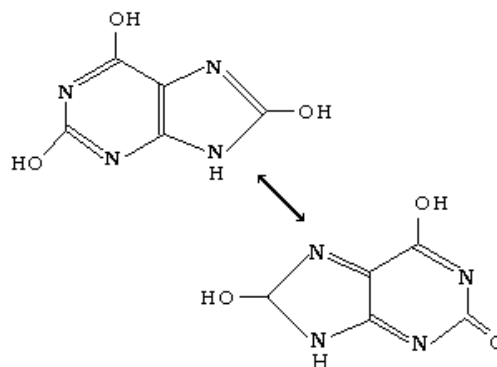
ภาพประกอบ 2-20 อินฟราเรดสเปกตรัมของนิวสตรูไวต์

จากอินฟราเรดสเปกตรัมพบว่าตำแหน่งพิกที่ใช้ตัดสินว่าเป็นนิวสตรูไวต์มีดังนี้

- (A) ตำแหน่งพิก 3430 และ 3266  $\text{cm}^{-1}$  แสดงตำแหน่งพิกที่เกิดจากการสั่นของพันธะ O-H และพันธะ NH
- (B) ตำแหน่งพิก 2360  $\text{cm}^{-1}$  แสดงตำแหน่งพิกที่เกิดจากการสั่นของพันธะ O-H
- (C) ตำแหน่งพิก 1634  $\text{cm}^{-1}$  แสดงตำแหน่งพิกที่เกิดจากการสั่นของพันธะ OH ของน้ำ
- (D) ตำแหน่งพิก 1467 และ 1435  $\text{cm}^{-1}$  แสดงตำแหน่งพิกที่เกิดจากการสั่นของแอมโมเนียมไอออน
- (E) ที่ความถี่ 1005  $\text{cm}^{-1}$  แสดงตำแหน่งพิกที่เกิดจากการสั่นของกลุ่มพันธะฟอสเฟต
- (F) ที่ความถี่ 572  $\text{cm}^{-1}$  แสดงตำแหน่งพิกที่เกิดจากการสั่นของกลุ่มพันธะฟอสเฟต

### 2.5.3.3 นิ่วยูริก (Uric acid Stone) มีโครงสร้างทางเคมีคือ $C_5H_4N_4O_3$ มีลักษณะดัง

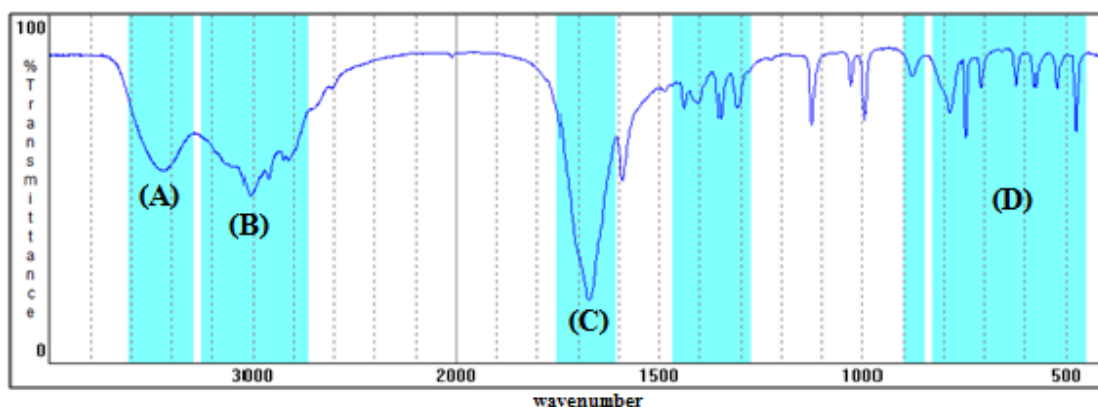
ภาพประกอบ 2-21



ภาพประกอบ 2-21 โครงสร้างทางเคมีของนิ่วยูริก

โครงสร้างของนิ่วยูริกจะพบพันธะของ C=C หนึ่งตำแหน่ง พันธะ C-C หนึ่งตำแหน่ง และหมู่เอไมล์ (HNCONH) 2 ตำแหน่ง ลักษณะอินฟราเรดสเปกตรัมของนิ่วยูริกแสดงได้ดัง

ภาพประกอบ 2-22



ภาพประกอบ 2-22 อินฟราเรดสเปกตรัมของนิ่วยูริก

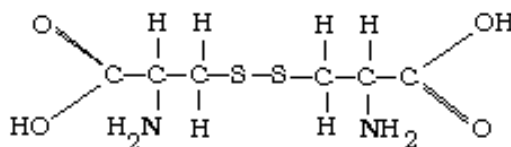
จากอินฟราเรดสเปกตรัมพบว่าตำแหน่งพีกที่ใช้ตัดสินว่าเป็นนิ่วยูริกดังนี้

- (A) ที่ความถี่  $3440\text{ cm}^{-1}$  แสดงตำแหน่งพีกที่เกิดจากการสั่นของพันธะ O-H
- (B) ความถี่  $3005\text{ cm}^{-1}$  แสดงตำแหน่งพีก ที่เกิดจากการสั่นร่วมกันของพันธะ N-H, C-N-H และ C-H
- (C) ที่ความถี่  $1675\text{ cm}^{-1}$  แสดงตำแหน่งพีกที่เกิดจากการสั่นของพันธะ C=O

- (D) บริเวณช่วงความถี่  $500 - 800 \text{ cm}^{-1}$  เป็นบริเวณที่เห็น ตำแหน่งพีค ที่เกิดจากการสั่นของกลุ่มโมเลกุลที่มีลักษณะการจับตัวเป็นวงแหวนแบบอะโรแมติก ของหมู่ C-H-N, C=O-N-H

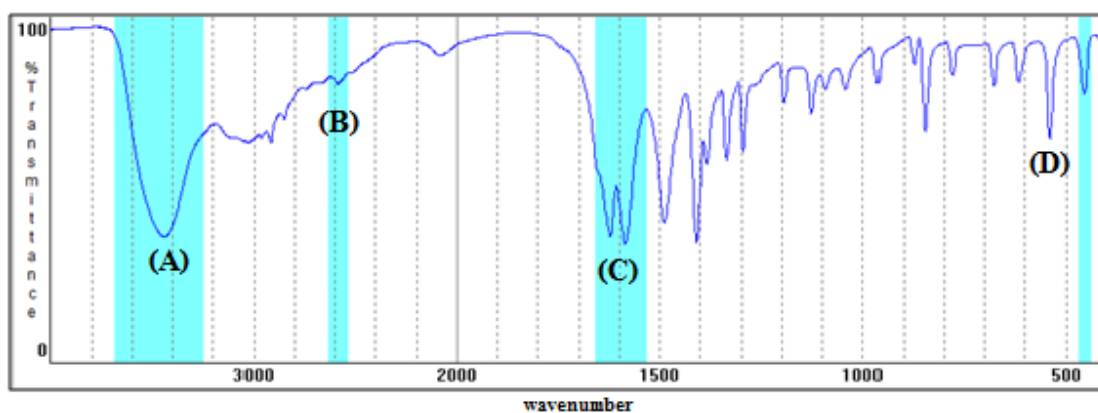
2.5.3.4 นีวซีสทีน (Cystine) มีโครงสร้างทางเคมีคือ  $\text{C}_3\text{H}_7\text{ON}_2\text{S}$  มีลักษณะดัง

ภาพประกอบ 2-23



ภาพประกอบ 2-23 โครงสร้างทางเคมีของนีวซีสทีน

โครงสร้างของนีวซีสทีนจะพบพันธะที่โดดเด่นคือพันธะ S-S นอกจากนี้ก็ประกอบด้วยพันธะ COOH หนึ่งตำแหน่ง (C=O กับ OH) และพันธะ C-H 2 ตำแหน่ง ลักษณะอินฟราเรดสเปกตรัมของนีวซีสทีนแสดงได้ดังภาพประกอบ 2-24

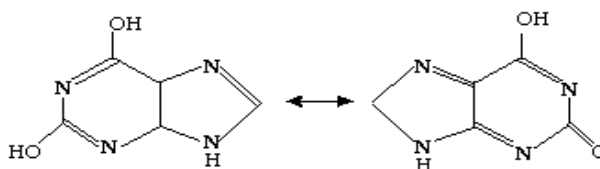


ภาพประกอบ 2-24 อินฟราเรดสเปกตรัมของนีวซีสทีน

ตำแหน่งพีคที่ปรากฏบนแถบดูดกลืนความถี่ของนีวซีสทีนมีดังนี้

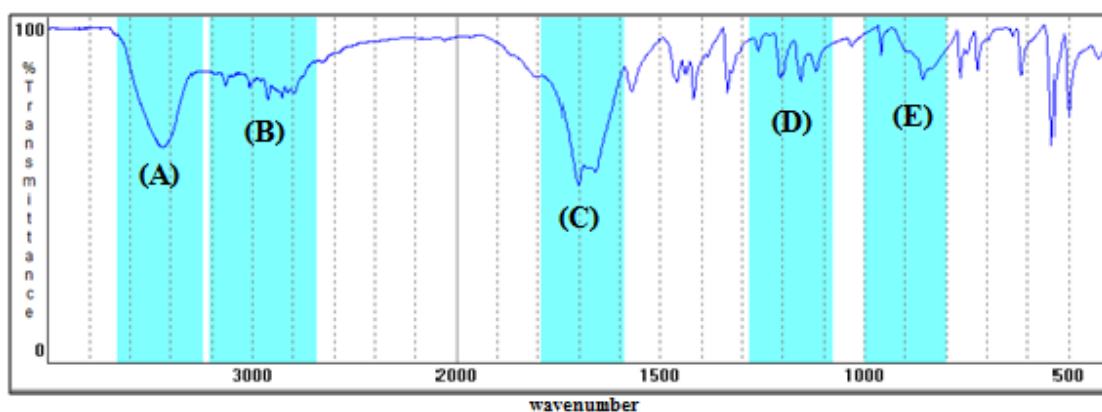
- (A) ความถี่  $3454 \text{ cm}^{-1}$  แสดงตำแหน่งพีคที่เกิดจากการสั่นร่วมกันของพันธะ O-H และ N-H
- (B) ความถี่  $2587 \text{ cm}^{-1}$  แสดงตำแหน่งพีคที่เกิดจากการสั่นของพันธะ S-H
- (C) ความถี่  $1623$  และ  $1586 \text{ cm}^{-1}$  แสดงตำแหน่งพีคที่เกิดจากการสั่นแบบไม่สมมาตรของพันธะ C=O
- (D) ความถี่  $452 \text{ cm}^{-1}$  แสดงตำแหน่งพีคที่เกิดจากการสั่นของพันธะ S-S

2.5.3.5 นีวแซนทีน (Xanthine) มีโครงสร้างทางเคมีคือ  $C_5H_4N_4O_2$  สามารถแสดงได้ดังภาพประกอบ 2-25



ภาพประกอบ 2-25 โครงสร้างทางเคมีของนีวแซนทีน

โครงสร้างของนีวแซนทีนจะพบพันธะของเอไมด์ 1 ตำแหน่ง พันธะ C=C หนึ่งตำแหน่งนำ ดังนั้นลักษณะอินฟราเรดสเปกตรัมจะปรากฏแถบดูดกลืนความถี่ดังภาพประกอบ 2-26



ภาพประกอบ 2-26 อินฟราเรดสเปกตรัมของนีวแซนทีน

- (A) แถบความถี่ที่มากที่สุดอยู่บริเวณ  $3444\text{ cm}^{-1}$  ซึ่งเป็นแถบความถี่ที่เกิดจากการสั่นของพันธะ OH
- (B) บริเวณช่วงความถี่  $3000\text{ cm}^{-1}$  เป็นบริเวณที่เห็นตำแหน่งพีคที่เกิดจากการสั่นของกลุ่มโมเลกุลที่เกิดการซ้อนทับกันของหมู่พันธะ O-H, N-H, C-N-H และ C-H
- (C) ความถี่  $1702$  และ  $1662\text{ cm}^{-1}$  แสดงตำแหน่งพีคที่เกิดจากการสั่นแบบไม่สมมาตรของพันธะ C=O
- (D) บริเวณช่วงความถี่  $1300 - 1100\text{ cm}^{-1}$  เป็นบริเวณที่เห็นตำแหน่งพีคที่เกิดจากการสั่นของกลุ่มโมเลกุลที่เกิดการซ้อนทับกันของหมู่พันธะ C-N-H, C=O-N-H
- (E) บริเวณช่วงความถี่  $1000 - 800\text{ cm}^{-1}$  เป็นบริเวณที่เห็นตำแหน่งพีคที่เกิดจากการสั่นของกลุ่มโมเลกุลที่เกิดการซ้อนทับกันของหมู่พันธะ C-N-H, C=O-N-H



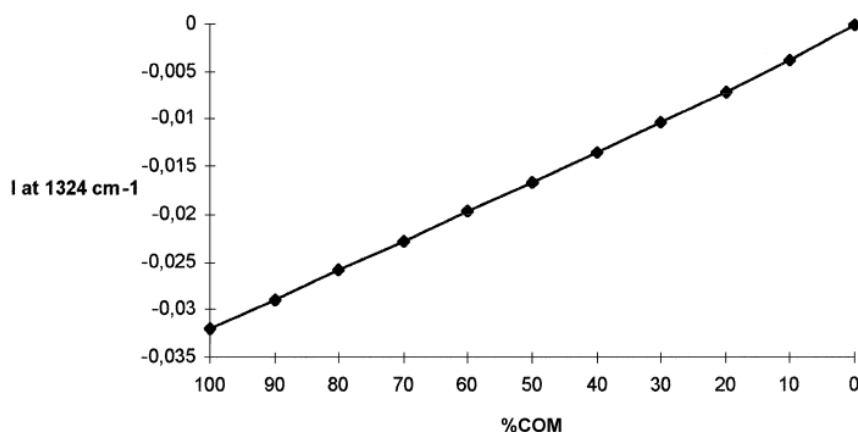
#### 2.5.4 การแปลผลเชิงปริมาณ

การแปลผลเชิงปริมาณจะถูกนำมาใช้ในกรณีที่เป็นนิวชนิดผสม เพื่อระบุปริมาณของนิวแต่ละชนิดที่เป็นส่วนประกอบของก้อนนิวที่นำมาวิเคราะห์ โดยพบว่าแปลผลเชิงปริมาณของ นิวผสมชนิดแคลเซียมออกซาลेट โมโนไฮเดรตกับนิวแคลเซียมออกซาลेटไดไฮเดรตนั้นยากมาก เนื่องจากผลการซ้อนทับกันของพีค และรูปแบบของตำแหน่งการเกิดพีคนั้นใกล้เคียงกันมาก นอกจากนี้แล้วนิวผสมชนิดนี้เป็นนิวที่พบมากที่สุดอีกด้วย จากงานวิจัยที่ผ่านมาพบว่าเทคนิคที่มีประสิทธิภาพในการวิเคราะห์ส่วนทับซ้อนคือ วิธีการหาอนุพันธ์ ซึ่งต่อมามีการพัฒนาให้สามารถนำไปแปลผลเชิงปริมาณสำหรับสารผสม เรียกว่าวิธี zero-crossing-point first-derivative [17]

จากบทความ [17] พบว่าเมื่อนำอินฟราเรดสเปกตรัมของนิวผสมชนิดแคลเซียมออกซาลेट โมโนไฮเดรตกับนิวแคลเซียมออกซาลेटไดไฮเดรตที่ทำการสังเคราะห์ขึ้น ในอัตราส่วนประกอบระหว่าง 0-100 เปอร์เซ็นต์มาผ่านการทำอนุพันธ์อันดับหนึ่ง พบว่าค่าความเข้มขั้นที่ได้จากตำแหน่งความถี่  $1324 \text{ cm}^{-1}$  สามารถบอกอัตราส่วนประกอบของนิวผสมชนิดนี้ได้ ตามสมการที่ 2.9

$$I_{1324 \text{ cm}^{-1}} (\text{arbitrary units}) = f(\%COM) \quad (2.9)$$

และผลการทดลองจากสมการที่ 2.9 สามารถนำมาสร้าง เส้นโค้งมาตรฐานเปรียบเทียบ (calibration curve) สำหรับการบอกปริมาณของส่วนประกอบของนิวทั้งสอง ชนิดได้ ดังแสดงในภาพประกอบ 2-27



ภาพประกอบ 2-27 เส้นโค้งมาตรฐานเปรียบเทียบ [17]

จากเส้นโค้งมาตรฐานเปรียบเทียบจะเห็นว่าเป็นกราฟบอกปริมาณส่วนผสมในรูปแบบของ %COM หรือปริมาณของนิวเคลียสออกซาลेटโมโนไฮเดรต ซึ่งหากค่าความเข้มข้นมีค่าน้อยกว่า -0.032 หรือมีค่ามากกว่า 0 แสดงว่านิวก้อนนั้นเป็นนิวเคลียสออกซาลेटโมโนไฮเดรตและนิวเคลียสออกซาลेटไดไฮเดรตชนิดเดียว ตามลำดับ

## 2.5.5 ตัวชี้วัดประสิทธิภาพ (performance indicator)

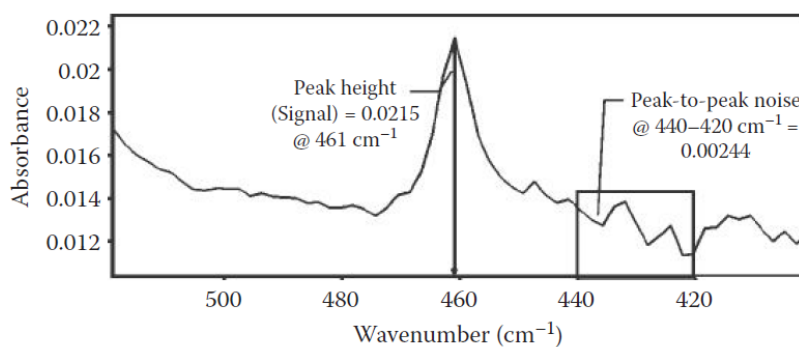
### 2.5.5.1 Signal-to-Noise Ratio (SNR) [25]

การทดสอบคุณภาพของอินฟราเรดสเปกตรัม โดยทั่วไปแล้วจะเป็นการวัดค่า SNR ของพีค หรือเรียกว่าการวัดค่า SNR ในช่วงสั้น (SNR for short) ดังสมการ 2.9

$$SNR = \text{signal}/\text{noise} \quad (2.9)$$

เมื่อ  $SNR = \text{Signal to noise ratio}$

วิธีการคือการหาอัตราส่วนระหว่างขนาดของพีค (size of a peak) ต่อขนาดของขนาดของสัญญาณรบกวน (peak-to-peak, PPN) ในหน่วยของ absorbance unit ลักษณะการคำนวณค่า SNR ของอินฟราเรดสเปกตรัมสามารถแสดงได้ดังภาพประกอบ 2-28



ภาพประกอบ 2-28 ลักษณะการคำนวณค่า SNR สำหรับอินฟราเรดสเปกตรัม [25]

### 2.5.5.2 Standard Error of Performance (SEP) [35]

SEP เป็นค่าเบี่ยงเบนมาตรฐานของค่าความแตกต่างระหว่างค่าที่วัดได้กับค่าอ้างอิง การคำนวณเป็นไปตามสมการ 2.9 ซึ่งถ้าค่า SEP มีค่าน้อยๆ แสดงว่าค่าที่วัดได้กับค่าที่อ้างอิงมีค่าที่ใกล้เคียงกันมาก

$$SEP = \left( \frac{\sum(Y-\hat{Y})^2}{N} \right)^{1/2} \quad (2.9)$$

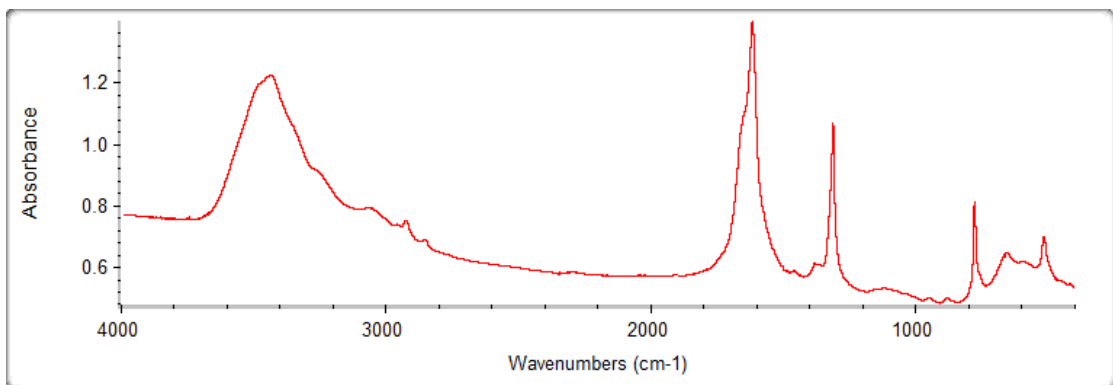
เมื่อ  $Y$  = ค่าอ้างอิง  
 $\hat{Y}$  = ค่าที่วัดได้  
 $N$  = จำนวนของตัวอย่างทั้งหมด

### บทที่ 3

#### การทดลอง

#### 3.1 อินฟราเรดสเปกตรัมของน้ำในทางเดินปัสสาวะที่นำมาทดลอง

อินฟราเรดสเปกตรัมของน้ำในทางเดินปัสสาวะที่นำมาทดลองนำมาจากการบันทึกผลในโปรแกรม EZ OMNIC (NICODOM®) จากฐานข้อมูลของโรงพยาบาล เชียงใหม่ ปี พ.ศ. 2544 โปรแกรม EZ OMNIC เป็นโปรแกรมที่แพทย์เฉพาะทางใช้ช่วยในการแปลผล โปรแกรมสามารถคำนวณหาตำแหน่งแถบดูดกลืนความถี่ของสเปกตรัม แต่ไม่สามารถตัดสินใจได้ว่าเป็นน้ำชนิดใด ข้อมูลอินฟราเรดสเปกตรัมที่นำใ้ข้อมูลในรูปแบบความสัมพันธ์ระหว่างการดูดกลืนแสงกับตำแหน่งเลขคลื่น ตัวอย่างของอินฟราเรดสเปกตรัมสามารถแสดงได้ดังภาพประกอบ 3-1



ภาพประกอบ 3-1 หน้าต่างแสดงตัวอย่างอินฟราเรดสเปกตรัมจากโปรแกรม EZ OMNIC

##### 3.1.1 สมมุติฐาน

ข้อมูลอินฟราเรดที่ได้รับมาเป็นตัวอย่างของน้ำที่เกิดขึ้นเองตามธรรมชาติ จึงมีความเป็นไปได้ว่าก่อนน้ำไม่ได้ประกอบด้วยหมู่ฟังก์ชันที่เป็นส่วนประกอบของน้ำชนิดใดชนิดหนึ่งเพียงชนิดเดียว แต่จะมีหมู่ฟังก์ชันที่เป็นส่วนประกอบของน้ำชนิดอื่น หรือเป็นองค์ประกอบไม่ทราบชนิด (unknown) ประปนอยู่ด้วยก็เป็นได้ เนื่องจากหมู่ฟังก์ชันองค์ประกอบแต่ละชนิดจะให้ตำแหน่งการดูดกลืนแสงที่เลขคลื่นเฉพาะ และแต่ละตำแหน่งพีคที่ปรากฏจะมีค่าความเข้มข้นแปรผันตามปริมาณที่เป็นส่วนประกอบ จึงสามารถนำไปใช้ในการแปลผลเชิงคุณภาพและเชิงปริมาณได้

### 3.1.2 ตัวอย่างของน้ำที่ใช้ในการทดลอง

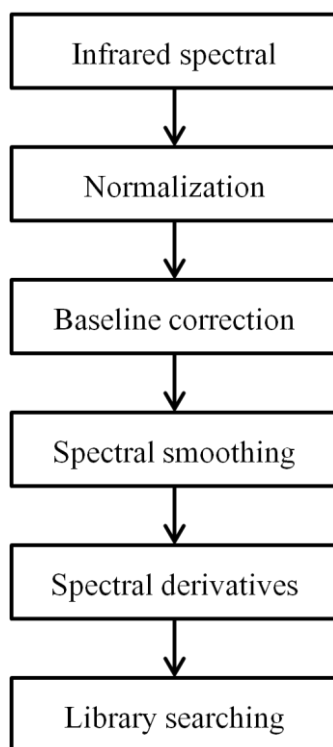
ตัวอย่างอินฟราเรดสเปกตรัมของน้ำที่นำมาทดลองมีด้วยกันทั้งหมด 52 ตัวอย่าง ประกอบไปด้วยน้ำชนิดต่างๆ ดังตารางที่ 3-1

ตารางที่ 3-1 ตัวอย่างของน้ำที่ใช้ในการทดลอง

| ประเภทของน้ำ  | จำนวนตัวอย่าง |
|---|---------------|
| น้ำแคลเซียมออกซาลेटโมโนไฮเดรต   | 10            |
| น้ำแคลเซียมออกซาลेटไดไฮเดรต   | 7             |
| น้ำแมกนีเซียม แอมโมเนียมฟอสเฟต หรือน้ำสูตรไวต์                                    | 3             |
| น้ำยูริก  | 10            |
| น้ำซีสทีน   | 3             |
| น้ำแซนทีน   | 1             |
| น้ำบรูไซต์  | 1             |
| น้ำชนิดผสมระหว่าง น้ำแคลเซียมออกซาลेट โมโนไฮเดรต และ น้ำแคลเซียมออกซาลेट ไดไฮเดรต | 17            |

\*น้ำน้ำแคลเซียมฟอสเฟตหรือน้ำอะพาไทท์และน้ำวิทล็อก ไคต์ (Whitlockite) ไม่ได้ถูกนำมาทดลอง เนื่องจากไม่มีตัวอย่างอินฟราเรดสเปกตรัม

### 3.2 ระเบียบวิธีการจัดการอินฟราเรดสเปกตรัม



ภาพประกอบ 3-2 ระเบียบวิธีการจัดการอินฟราเรดสเปกตรัม

แต่ละขั้นตอนของระเบียบวิธีการจัดการอินฟราเรดสเปกตรัมในภาพประกอบ 3-2 มีคำอธิบายดังนี้

- Infrared spectral คืออินฟราเรดสเปกตรัมตัวอย่างที่นำมาใช้ในการทดลอง โดยอยู่ในรูปแบบความสัมพันธ์ระหว่างการดูดกลืนแสง (absorbance) และตำแหน่งเลขคลื่น (wavenumber)
- Normalization เป็นขั้นตอนการปรับขนาดสเกลค่าความเข้มข้นของอินฟราเรดสเปกตรัมให้อยู่ในช่วงเดียวกันคือ 0-1 เพื่อนำไปใช้ในขั้นตอนการเปรียบเทียบสเปกตรัม
- Baseline correction เป็นขั้นตอนการกำจัดความผันแปรของเส้นพื้นฐาน (baseline slope and curvature) ออกจากสเปกตรัมตัวอย่าง

- Spectral smoothing เป็นขั้นตอนในการกำจัดสัญญาณรบกวนที่ปะปนอยู่ในสเปกตรัมตัวอย่าง
- Spectral derivatives เป็นขั้นตอนที่ถูกใช้สำหรับการหาตำแหน่งการเกิดพีค และแก้ไขส่วนของการซ้อนทับกัน (overlapped) ของตำแหน่งพีค
- Library searching เป็นขั้นตอนการเปรียบเทียบตำแหน่งการเกิดพีคที่วัดได้ ว่าตรงกับผลการดูคลื่นแสงของหมู่ฟังก์ชันชนิดใด

### 3.3 ขั้นตอนการทดลอง

3.3.1 บันทึกข้อมูลอินฟราเรดสเปกตรัมในรูปแบบการดูคลื่นของแสงจากโปรแกรม EZ OMNIC เป็นไฟล์ .CVS แล้วแปลงเป็นไฟล์ .txt อีกครั้ง เพื่อให้สามารถนำข้อมูลเข้าโปรแกรม LabVIEW ได้

3.3.2 นำอินฟราเรดสเปกตรัมที่ได้จากข้อ 3.3.1 เข้าสู่ขั้นตอน ปรับขนาดเส้นบรรทัดฐาน เพื่อปรับขนาดสเกลค่าความเข้มข้นของอินฟราเรดสเปกตรัมให้อยู่ในช่วงเดียวกันคือ 0-1 เพื่อนำไปใช้ในขั้นตอนการเปรียบเทียบสเปกตรัม

3.3.3 อินฟราเรดที่ผ่านขั้นตอนการปรับขนาดเส้นบรรทัดฐานแล้ว จะถูกนำมาคำนวณหาค่า SNR เพื่อวัดประสิทธิภาพของสัญญาณก่อนการนำไปประมวลผล

3.3.4 นำอินฟราเรดสเปกตรัมที่ได้จากข้อ 3.3.2 เข้าสู่ขั้นตอนการ ปรับเส้นเรียบ เพื่อกำจัดสัญญาณรบกวน จากนั้นแสดงผลเปรียบเทียบลักษณะอินฟราเรดสเปกตรัมทั้งก่อนและหลัง

3.3.4.1 วิธีตัวกรองซาวีสกี- โกลีย์ กำหนดค่าอันดับของพหุนาม (polynomial order) เท่ากับ 2 แล้วเปลี่ยนจำนวนตำแหน่งในหน้าต่างพิจารณา (side points) ตั้งแต่ 5-11 ตำแหน่ง โดยเพิ่มขึ้นครั้งละ 2 ตำแหน่ง

3.3.4.2 วิธีวิเคราะห์สัญญาณแบบหลายระดับความละเอียด จะใช้รูปแบบการแปลงเวฟเล็ตแบบ Daubechies ซึ่งมีรูปแบบคล้ายกันอินฟราเรดสเปกตรัมมากที่สุดในอันดับ (order) ต่างๆ คือ db07 และ db08 และจะทดลองในระดับ (level) 1-3 ในทุกอันดับ

3.3.5 คำนวณค่า SNR ของอินฟราเรดสเปกตรัมของนิวแต่ละชนิด หลังผ่านขั้นตอนปรับเส้นเรียบ แล้วประเมินผลการกำจัดสัญญาณรบกวน ที่เหมาะสมที่สุดที่ได้จากวิธี ตัวกรองของชาวิทส์กี-โกเลย์ และวิธีวิเคราะห์สัญญาณแบบหลายระดับความละเอียด พร้อมกับเปรียบเทียบผล SNR ของก่อนและหลังการปรับเส้นเรียบ

3.3.6 นำอินฟราเรดสเปกตรัมเข้าสู่ขั้นตอนกำจัดเส้นแนวโน้ม โดยใช้อनुพันธ์อันดับหนึ่ง

3.3.7 นำอินฟราเรดสเปกตรัมเข้าสู่ขั้นตอนการระบุตำแหน่งพีกจาก การทำอนุพันธ์อันดับสอง และประเมินผลการระบุตำแหน่งพีกที่ถูกต้อง

3.3.8 การแปลผลเชิงปริมาณในกรณีนิวชนิดผสม (นิวผสมระหว่างนิวแคลเซียมออกซาลेट โมโนไฮเดรตกับนิวแคลเซียมออกซาลेट ไดไฮเดรต) จะนำผลอินฟราเรดสเปกตรัมที่ได้จากข้อ 3.3.6 ซึ่งเป็นผลจากการทำอนุพันธ์อันดับหนึ่งไปประเมินผลเชิงปริมาณโดยวิธี zero-crossing first-derivative เปรียบเทียบค่าความเข้มข้นที่ตำแหน่งแถบดูดกลืนความถี่สำคัญนี้ของค์ประกอบกับเส้นโค้งมาตรฐานเปรียบเทียบ (calibration curve) จากเอกสารอ้างอิง [17]

3.3.9 ประเมินค่าความคลาดเคลื่อนของผลการทดลองในข้อ 3.3.8 ด้วยวิธี Standard Error of Performance (SEP)

### 3.4 เครื่องมือและการกำหนดค่าพารามิเตอร์ของเครื่องมือที่ใช้ในโปรแกรม LabVIEW

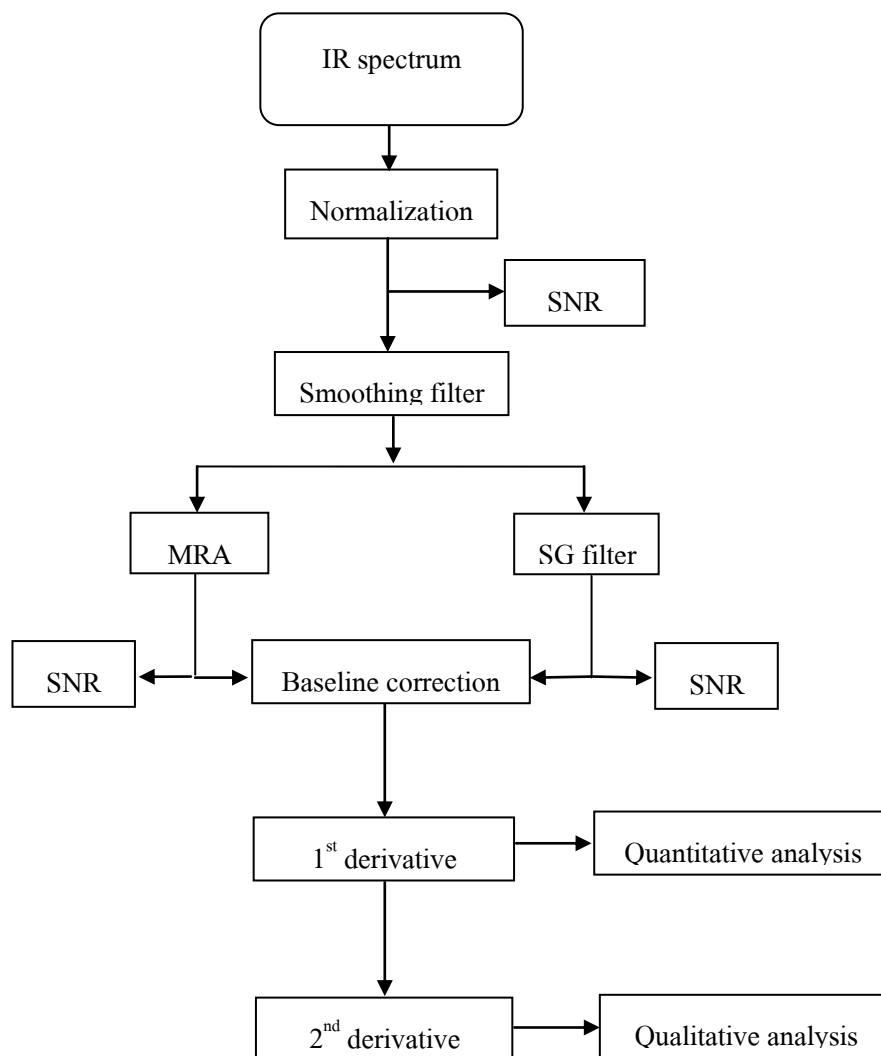
เครื่องมือ (tools) ภายในโปรแกรม LabVIEW ที่ถูกนำมาใช้และการกำหนดค่าพารามิเตอร์ในแต่ละขั้นตอนมีดังนี้

3.4.1 Peak detector.vi เป็นเครื่องมือที่ใช้สำหรับการหาตำแหน่งการเกิดพีกของสเปกตรัม กำหนดค่าความเข้มข้นที่มากที่สุด (Threshold) สำหรับตรวจจับตำแหน่งพีก

3.4.2 ตำแหน่งแถบดูดกลืนที่ตรวจจับได้ทั้งหมดจะถูกนำเข้าสู่เงื่อนไขการตัดสินใจว่าตรงกับตำแหน่งแถบดูดกลืนความถี่ของนิวชนิดใด เงื่อนไขการตัดสินใจนี้ เขียนขึ้นโดยใช้ภาษาซี (C language) บนเครื่องมือ MathScript Node โดยได้กำหนดช่วงที่เกิดตำแหน่งแถบดูดกลืนความถี่ แต่ละตำแหน่งแบ่งตามชนิดของนิว



### 3.5 แผนภูมิแสดงขั้นตอนการทดลอง



ภาพประกอบ 3-3 แผนภูมิแสดงขั้นตอนการทดลอง

## บทที่ 4

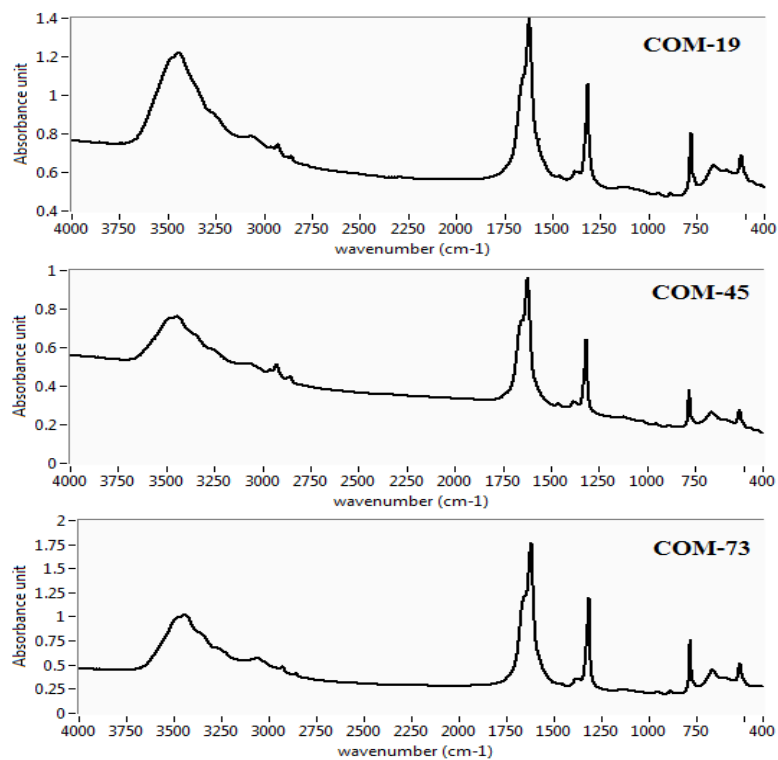
### ผลการทดลอง

เนื้อหาในบทนี้จะเป็นผลการทดลอง โดยแบ่งออกเป็น ส่วนของการประมวลสัญญาณขั้นต้น การแปลผลเชิงคุณภาพ และการแปลผลเชิงปริมาณ ตามลำดับ

#### 4.1 ขั้นตอนประมวลผลสัญญาณขั้นต้น

##### 4.1.1 การปรับขนาดสัญญาณบรรทัดฐาน (normalization)

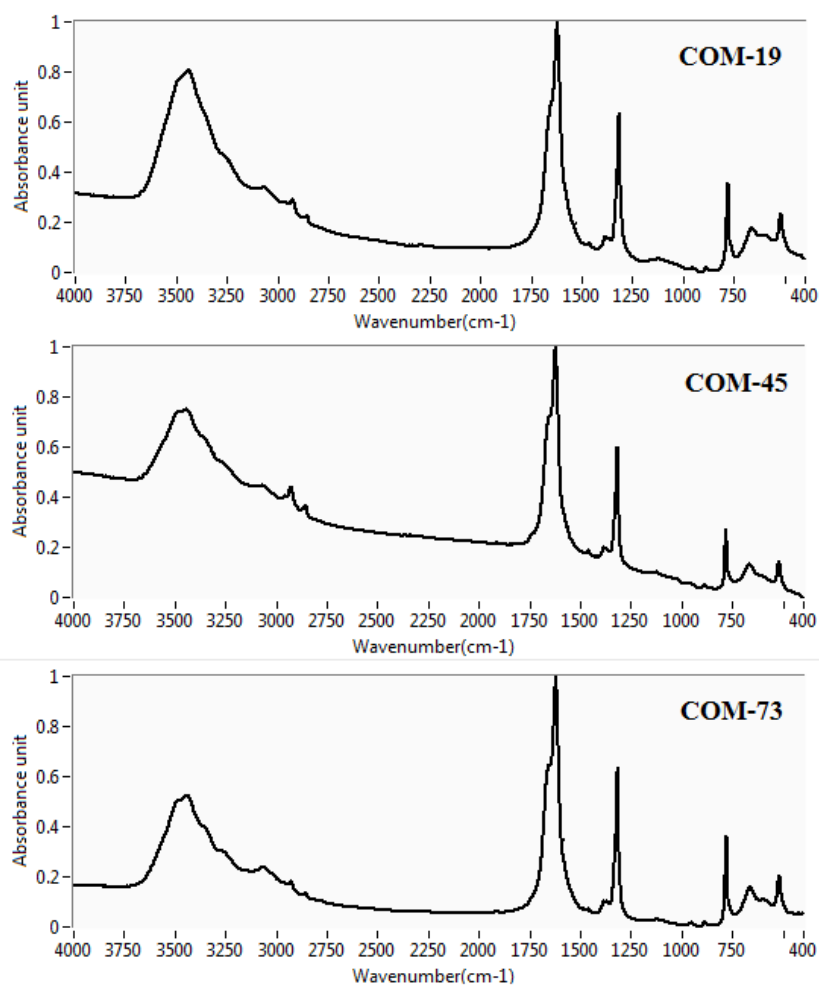
ลักษณะอินฟราเรดสเปกตรัมของน้ำตัวอย่าง ซึ่งเป็นนิวชนิดแคลเซียมออกซาลेटโมโนไฮเดรต (Whewellite, COM) จำนวน 3 ตัวอย่าง ได้แก่ตัวอย่างที่ 19, 75 และตัวอย่างที่ 73 แสดงดังภาพประกอบ 4-1



ภาพประกอบ 4-1 ลักษณะอินฟราเรดสเปกตรัมตัวอย่างเมื่อแสดงผลโดยโปรแกรม

LabVIEW

จากภาพประกอบ 4-1 จะเห็นว่าในส่วนของแกน y หรือค่าความเข้มข้นของการดูดกลืนสารนั้น มีขนาดแตกต่างกันในแต่ละตัวอย่าง ซึ่งจะส่งผลเมื่อมีการเปรียบเทียบลักษณะสเปกตรัม ดังนั้นจึงมีการปรับขนาดสัญญาณบรรทัดฐาน หรือการทำ normalization เพื่อปรับขนาดอินฟราเรดสเปกตรัมให้อยู่ในช่วงเดียวกัน ให้ผลการปรับขนาดดังภาพประกอบ 4-2

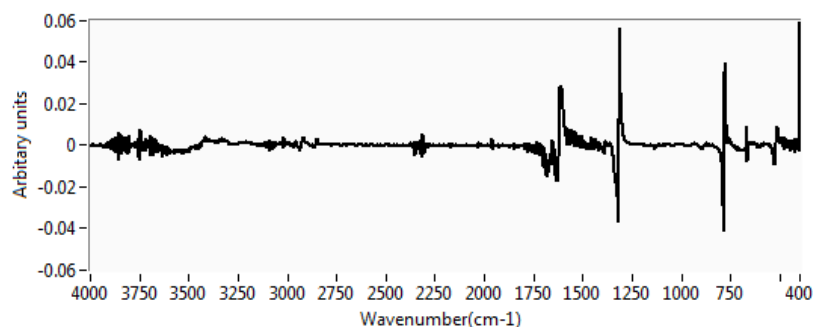


ภาพประกอบ 4-2 อินฟราเรดสเปกตรัมหลังการทำ Normalization

จากภาพประกอบ 4-2 จะเห็นว่าอินฟราเรดสเปกตรัมหลังการปรับเส้นบรรทัดฐานแต่ละตัวอย่างจะมีค่าความเข้มข้นในการดูดกลืนแสง อยู่ในช่วง 0-1 absorbance unit ทั้งหมด จากนั้นในขั้นตอนต่อไปเป็นการกำจัดเส้นแนวโน้มของอินฟราเรดสเปกตรัมออกไป โดยวิธีการที่ง่ายและมีประโยชน์ต่อการแปลผลเชิงปริมาณคือการกำจัดเส้นแนวโน้ม โดยวิธีการทำอนุพันธ์อันดับหนึ่ง

#### 4.1.2 ขั้นตอนการกำจัดเส้นแนวโน้มพื้นฐาน (baseline correction)

ในขั้นตอนนี้ ใช้เทคนิคการทำอนุพันธ์เพื่อกำจัดเส้นแนวโน้ม ซึ่งเป็นวิธีการคณิตศาสตร์ที่ไม่ยุ่งยากซับซ้อน พร้อมกันนั้นยังสามารถนำผลจากส่วนนี้ไปแปลผลเชิงปริมาณได้อีกด้วย โดยตัวอย่างอินฟราเรดสเปกตรัมหลังการทำอนุพันธ์ มีลักษณะดังภาพประกอบ 4-3



ภาพประกอบ 4-3 อินฟราเรดสเปกตรัมเมื่อผ่านการทำอนุพันธ์อันดับหนึ่ง

จากภาพประกอบ 4-3 จะเห็นว่าเส้นแนวโน้มของอินฟราเรดสเปกตรัมถูกกำจัดออกไป และวางอยู่บนเส้นศูนย์ แต่จะสังเกตเห็นได้ว่า มีหลายช่วงความถี่ ที่ปรากฏ artifact peaks ซึ่งจะมีผลต่อการแปลผลในขั้นตอนต่อไป ดังนั้นขั้นตอนต่อไปก่อนการแปลผลคือการกำจัดสัญญาณรบกวน

#### 4.1.3 การปรับเส้นเรียบสเปกตรัม (spectral smoothing)

การปรับเส้นเรียบหรือการกำจัดสัญญาณรบกวน จะถูกนำมาใช้ในกรณีที่ไม่สามารถระบุตำแหน่งพีคได้ เนื่องจากมีสัญญาณรบกวนปะปนอยู่ หรือเมื่ออินฟราเรดสเปกตรัมมีค่า SNR ค่อนข้างต่ำ จากข้างต้นจะเห็นว่าอินฟราเรดสเปกตรัมมีสัญญาณรบกวนแทรกอยู่ ดังนั้นจึงได้ทำการวัดค่า SNR ของอินฟราเรดสเปกตรัมจำนวน 10 ตัวอย่าง เพื่อประเมินว่าอินฟราเรดสเปกตรัมสามารถนำไปแปลผลได้หรือไม่

#### 4.1.3.1 ผลการวัดค่า SNR ของอินฟราเรดสเปกตรัมตั้งต้น

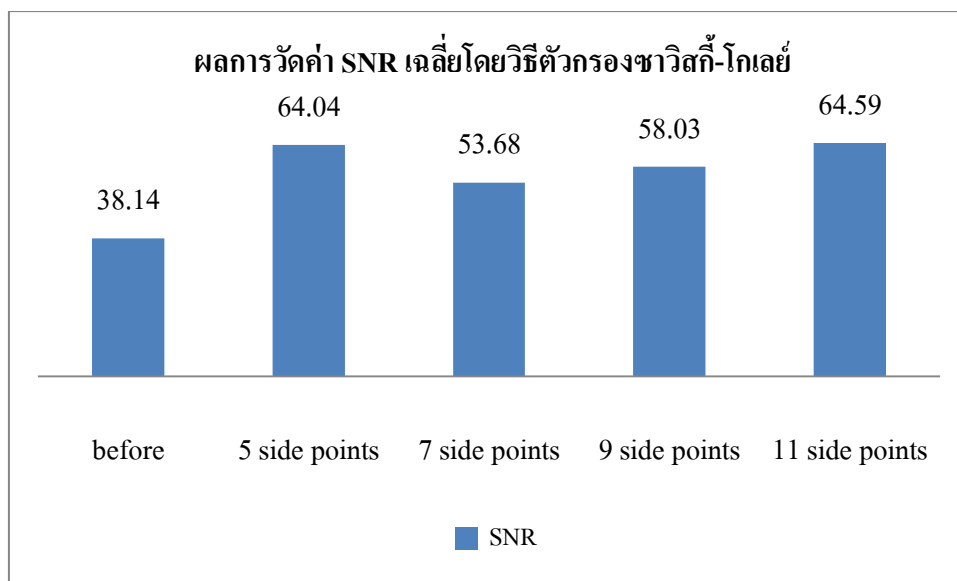
ผลการวัดค่า SNR ของอินฟราเรดสเปกตรัมจำนวน 10 ตัวอย่าง แสดงดังตารางที่ 4-1 ตารางที่ 4.1 ผลการวัดค่า SNR ของอินฟราเรดสเปกตรัมตั้งต้น

| อินฟราเรดสเปกตรัมตัวอย่างที่ | ค่า SNR ที่วัดได้ |
|------------------------------|-------------------|
| 19                           | 36.23             |
| 45                           | 51.75             |
| 73                           | 27.90             |
| 74                           | 29.83             |
| 80                           | 37.47             |
| 83                           | 43.64             |
| 110                          | 43.67             |
| 119                          | 46.43             |
| 150                          | 18.20             |
| 206                          | 46.37             |
| ค่าเฉลี่ย                    | 38.14             |

จากตารางที่ 4-1 จะเห็นว่าค่าเฉลี่ย SNR ของอินฟราเรดสเปกตรัม ตัวอย่าง อยู่ที่ 38.14 ซึ่งเป็นค่าที่อยู่ในช่วงที่ไม่สูงมาก และยังปรากฏ artifact peak จำนวนมากบนสเปกตรัมอีกด้วย ดังนั้นจึงต้องนำอินฟราเรดสเปกตรัมไปผ่านขั้นตอนการปรับเส้นเรียบด้วยวิธีตัวกรองซาวีสกี-โกเลย์และวิธีวิเคราะห์แบบหลายระดับความละเอียด เพื่อกำจัดสัญญาณรบกวน จากนั้นจึง วัดค่า SNR เพื่อเปรียบเทียบกับค่า SNR ที่วัดได้ก่อนหน้าการปรับเส้นเรียบ

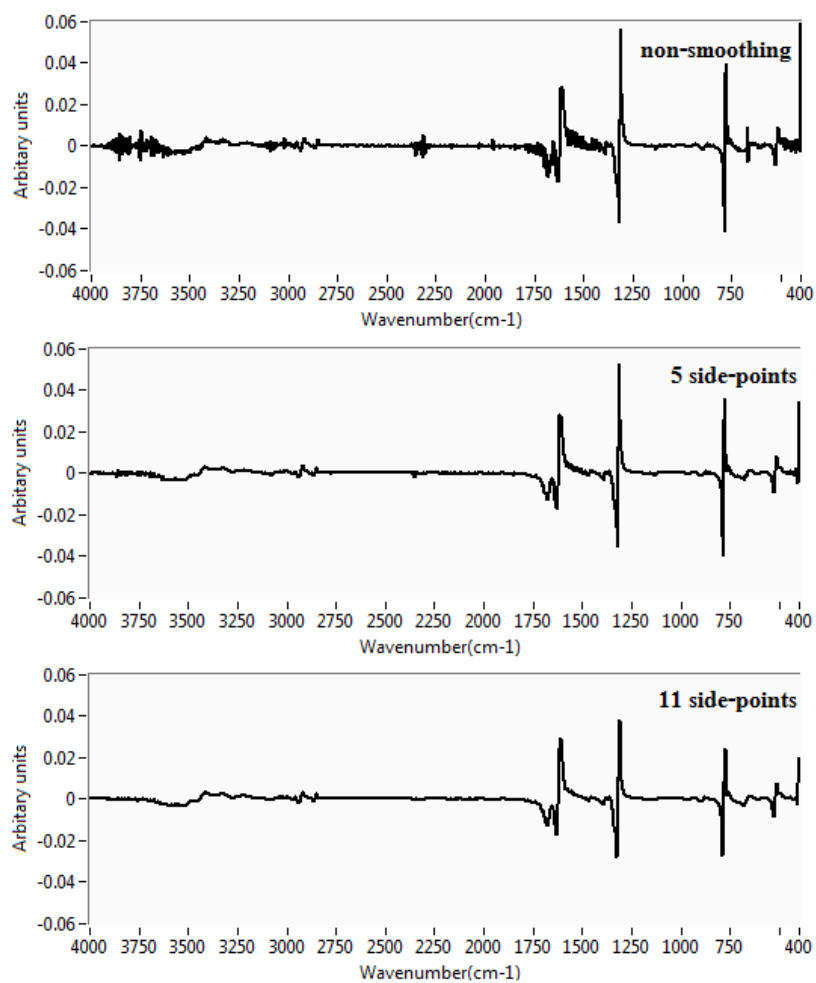
#### 4.1.3.2 ผลการวัดค่า SNR ของอินฟราเรดสเปกตรัมหลังผ่านการกรองสัญญาณโดยวิธีตัวกรองซาวีสกี-โกเลย์

ในการกำจัดสัญญาณรบกวนด้วยตัวกรองซาวีสกี-โกเลย์นั้น จะกำหนดค่าพหุนามดีกรี 2 แล้วทดลองเปลี่ยนจำนวนตำแหน่งภายในหน้าต่างการพิจารณาตั้งแต่ 5-11 ตำแหน่ง โดยเพิ่มขึ้นครั้งละ 2 ตำแหน่ง ผลการวัดค่า SNR ของนี้วทั้ง 10 ตัวอย่าง เปรียบเทียบกับค่า SNR ก่อนการปรับเส้นเรียบ สามารถแสดงได้ดังภาพประกอบ 4-4

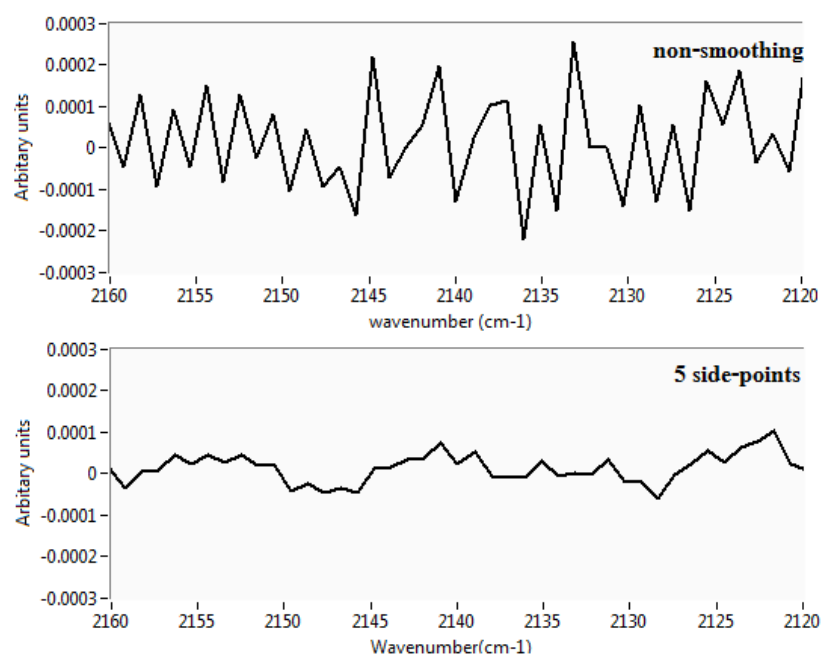


ภาพประกอบ 4-4 ค่า SNR เฉลี่ยของอินฟราเรดสเปกตรัมหลังผ่านการกรองสัญญาณ  
โดยวิธีตัวกรองซาวีสกี-โกเลย์

จากภาพประกอบ 4-4 จะเห็นว่าการปรับเส้นเรียบโดยวิธีตัวกรองซาวีสกี-โกเลย์ มีค่า SNR ที่สูงขึ้น โดยมีค่า SNR มากที่สุดเมื่อมีขนาดหน้าต่างการพิจารณาที่ 5 และ 11 ตำแหน่ง ซึ่งมีค่า 64.04 และ 64.59 ตามลำดับ จากผลตรงนี้แสดงว่าหน้าต่างการพิจารณาที่ 11 ตำแหน่ง ให้ค่า SNR สูงที่สุด และเมื่อพิจารณาลักษณะอินฟราเรดสเปกตรัมในช่วงกว้าง คือในช่วงความถี่ตั้งแต่  $4000-400\text{ cm}^{-1}$  ดังภาพประกอบ 4-5 พบว่าตัวกรองซาวีสกี-โกเลย์ที่หน้าต่างการพิจารณา ทั้งสองค่า ช่วยกำจัดสัญญาณรบกวนออกไปได้ แต่จะเห็นว่าตัวกรองที่หน้าต่างพิจารณาเท่ากับ 11 ตำแหน่ง ทำให้ฟีดในช่วงความถี่  $1300\text{ cm}^{-1}$  มีขนาดลดลง ในขณะที่หน้าต่างการพิจารณา 5 ตำแหน่ง ไม่ทำให้ขนาดของฟีดเปลี่ยนแปลง ดังนั้นตัวกรองซาวีสกี-โกเลย์ที่หน้าต่างการพิจารณาเท่ากับ 5 ตำแหน่ง จึงเหมาะสมที่สุดสำหรับการกรองสัญญาณ และผลการเปรียบเทียบ ลักษณะสเปกตรัมก่อนและหลังการปรับเส้นเรียบ ที่ความถี่  $2160-2120\text{ cm}^{-1}$  ซึ่งเป็นช่วงที่ไม่ปรากฏตำแหน่งฟีด แสดงได้ดังภาพประกอบ 4-6



ภาพประกอบ 4-5 ผลการเปรียบเทียบขนาดพิกของอินฟราเรดสเปกตรัมหลังการปรับเส้นเรียบ  
ด้วยวิธีตัวกรองซาวีสกี-โกเลย์ที่หน้าต่างการพิจารณาเท่ากับ 5 และ 11 ตำแหน่ง



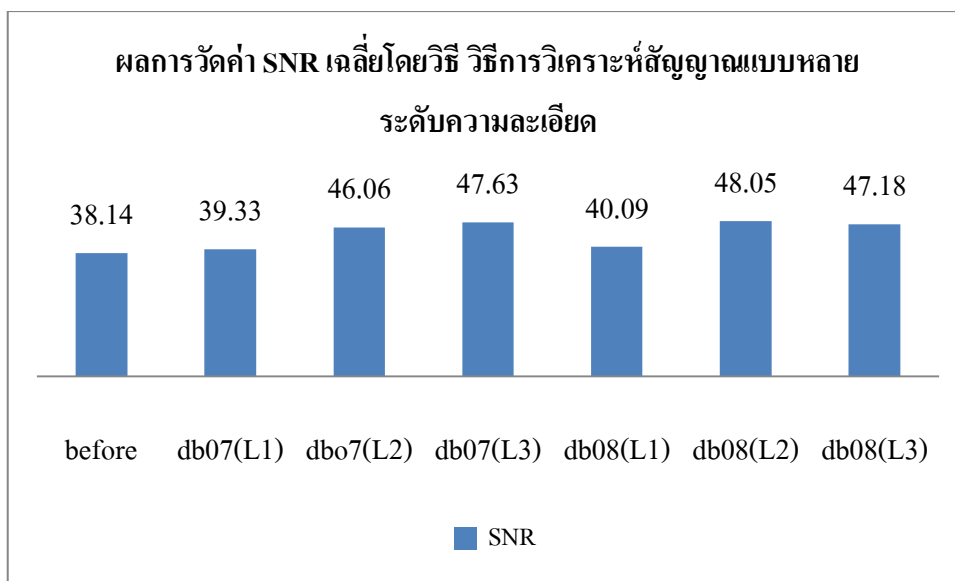
ภาพประกอบ 4-6 ผลการเปรียบเทียบลักษณะสเปกตรัมก่อนและหลังการปรับเส้นเรียบ  
โดยวิธีตัวกรองซาวีสกี-โกเลย์ ที่หน้าต่างพิจารณาเท่ากับ 5 ตำแหน่ง

#### 4.1.3.3 ผลการวัดค่า SNR ของอินฟราเรดสเปกตรัมหลังผ่านการกรองสัญญาณโดย วิธีการวิเคราะห์สัญญาณแบบหลายระดับความละเอียด

จากที่กล่าวไว้ข้างต้นว่า วิธีการวิเคราะห์สัญญาณแบบหลายระดับความละเอียด เป็นการวิเคราะห์สัญญาณทางความถี่ ซึ่งแบ่งออกเป็น 2 องค์ประกอบทางความถี่ คือองค์ประกอบความถี่สูง (Detail, D) และองค์ประกอบความถี่ต่ำ (Approximate, A) โดยในการทดลองนี้เป็นขั้นตอนการกำจัดสัญญาณรบกวน โดยการกำจัดองค์ประกอบความถี่สูงออกไป

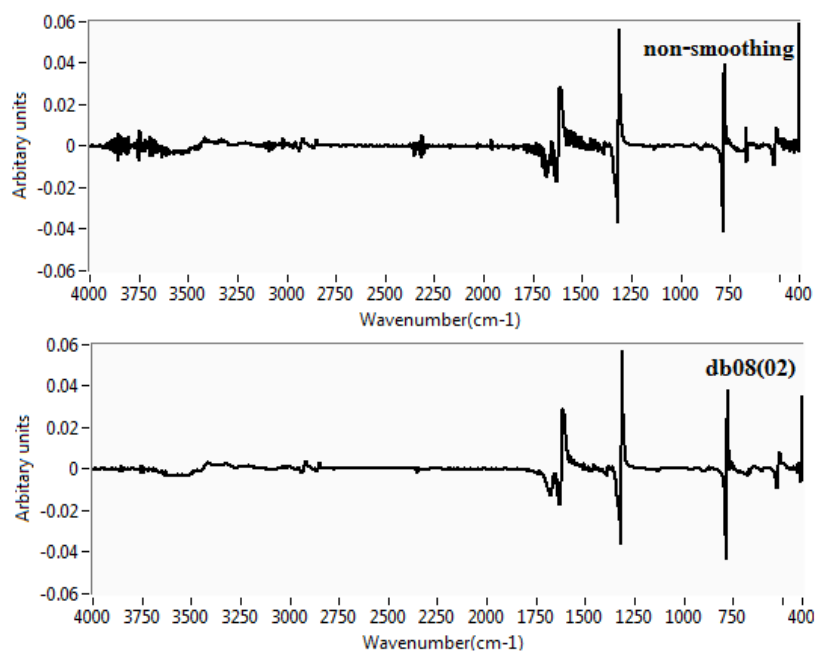
การทดลองในส่วนของวิธีการวิเคราะห์สัญญาณแบบหลายระดับความละเอียดจะใช้รูปแบบการแปลงเวฟเล็ตแบบ Daubechies 07 และ 08 ซึ่งเป็นรูปแบบเวฟเล็ตที่คล้ายกับลักษณะโครงสร้างของอินฟราเรดสเปกตรัม นอกจากนั้นยังพบว่ารูปแบบเวฟเล็ตทั้งสองให้ผลการทดลองที่ผิดพลาดน้อยที่สุด และทดลองที่ระดับความละเอียดตั้งแต่ระดับ 01 ถึงระดับ 03 ในทั้งสองรูปแบบ จากนั้นจึงหาค่า SNR และผลการกรองความถี่ที่ดีที่สุดเช่นเดียวกับตัวกรองซาวีสกี-โกเลย์ ผลการวัดค่า SNR ของนี้รวมทั้ง 10 ตัวอย่าง เปรียบเทียบกับค่า SNR ก่อนการปรับเส้นเรียบ สามารถแสดงได้ดังภาพประกอบ 4-7



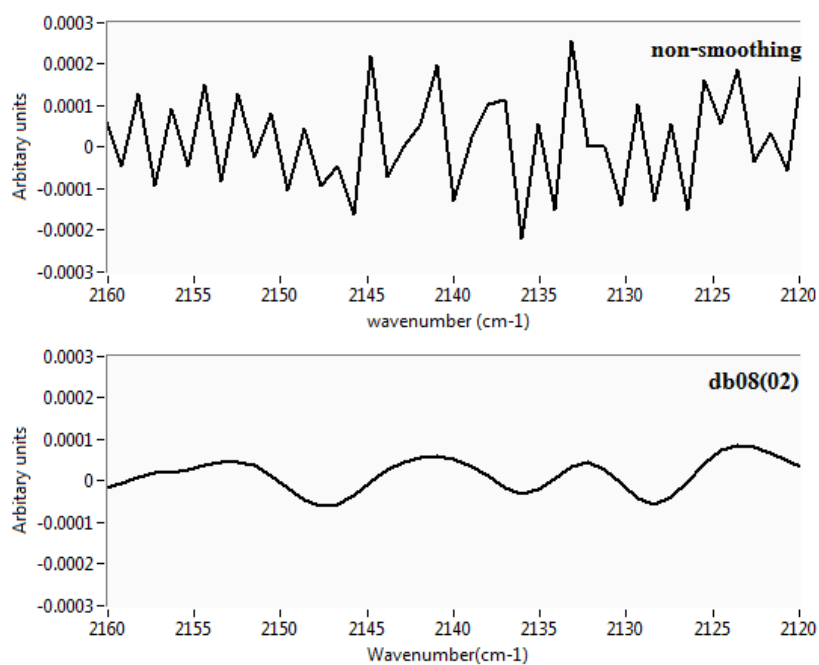


ภาพประกอบ 4-7 ค่า SNR เฉลี่ยของอินฟราเรดสเปกตรัมหลังผ่านการกรองสัญญาณ  
โดยวิธีการวิเคราะห์สัญญาณแบบหลายระดับความละเอียด

จากภาพประกอบ 4-7 จะเห็นว่าการปรับเส้นเรียบ ทำให้ค่า SNR ของอินฟราเรดสเปกตรัมมีค่าเพิ่มขึ้น โดยการแปลงเวฟเล็ตรูปแบบ db08(L2) ให้ผลค่า SNR ที่มากที่สุดเท่ากับ 48.05 และพบว่า การปรับเส้นเรียบ ด้วยวิธีนี้ไม่ทำให้ขนาดพิกของอินฟราเรดสเปกตรัมเปลี่ยนไป ดังแสดงได้ดังภาพประกอบ 4-8 และได้แสดงผลการเปรียบเทียบลักษณะสเปกตรัมก่อนและหลัง การปรับเส้นเรียบ ในช่วงความถี่  $2160-2120 \text{ cm}^{-1}$  ซึ่งเป็นช่วงที่ไม่ปรากฏตำแหน่งพิกดังภาพประกอบ 4-9



ภาพประกอบ 4-8 ผลการเปรียบเทียบขนาดพีคของอินฟราเรดสเปกตรัมหลังการปรับเส้นเรียบ  
ด้วยวิธีการวิเคราะห์สัญญาณแบบหลายระดับความละเอียด (db08(L2))



ภาพประกอบ 4-9 ผลการเปรียบเทียบลักษณะสเปกตรัมก่อนและหลังการปรับเส้นเรียบ  
ด้วยวิธีการวิเคราะห์สัญญาณแบบหลายระดับความละเอียด (db08(L2))

## 4.2 การแปลผลเชิงคุณภาพ (Qualitative analysis)

ในการแปลผลเชิงคุณภาพ จะทำการทดลองเปรียบเทียบการระบุตำแหน่งการเกิดพีคจากกรณีอินฟราเรดสเปกตรัมไม่ได้ผ่านการประมวลผล สัญญาณขั้นต้น กับกรณีอินฟราเรดสเปกตรัมผ่านการประมวลผล สัญญาณ ขั้นต้น ทั้งสองวิธีและการหาอนุพันธ์อันดับสอง ซึ่งมีประสิทธิภาพในการจำแนกพีคที่เกิดการซ้อนทับกัน โดยจะทดลองในนิวที่เป็นนิวชนิดเดียวจำนวน 7 ชนิด และนิวชนิดผสมจำนวน 1 ชนิด

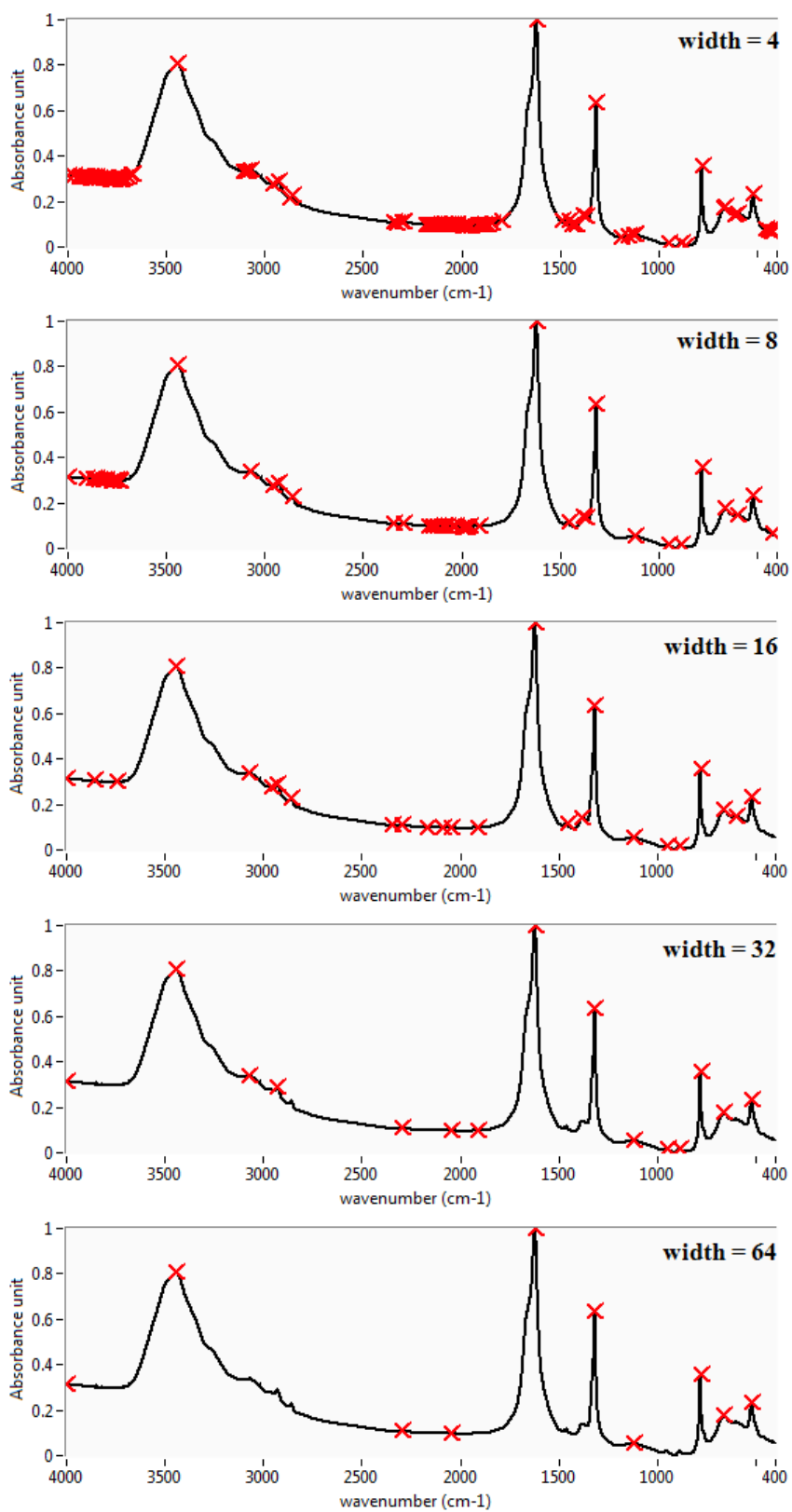
### 4.2.1 การกำหนดค่าเครื่องมือในโปรแกรม LabVIEW เพื่อระบุตำแหน่งพีค

#### 4.2.1.1 กรณีอินฟราเรดสเปกตรัมที่ไม่ผ่านการประมวลผลสัญญาณขั้นต้น

การระบุตำแหน่งพีคของอินฟราเรดสเปกตรัมที่ไม่ผ่านการประมวลผลสัญญาณขั้นต้นนั้น ลักษณะสเปกตรัมจะยังคงเดิมเหมือนที่บันทึกมาจากโปรแกรม EZ OMNIC ซึ่งอยู่ในรูปแบบสเปกตรัมของการดูดกลืนแสง โดยได้ใช้เครื่องมือ WA Multiscale Peak Detection VI ในโปรแกรม LabVIEW เป็นเครื่องมือช่วยในการระบุตำแหน่งพีค ซึ่งจะต้องมีการกำหนดขนาดความกว้างของหน้าต่างในการพิจารณา (width) และค่าต่ำสุดในการพิจารณา (threshold) ให้กับเครื่องมือ โดยเงื่อนไขของทั้งสองตัวแปรมีดังนี้

- Width ค่าที่จะกำหนดเป็นค่า width จะถูกบังคับให้เป็นค่าที่หารด้วย 2<sup>n</sup> ลงตัว เมื่อ n เป็นจำนวนเต็ม
- Threshold ถ้าใช้เครื่องมือนี้สำหรับการระบุตำแหน่งพีค ตำแหน่งพีคใดมีขนาดน้อยกว่าค่า threshold จะถูกละทิ้ง แต่หากใช้สำหรับการระบุตำแหน่งท้องคลื่นสัญญาณ (valley) เครื่องมือนี้จะไม่สนใจค่าที่มากกว่าค่า threshold ที่กำหนดไว้

จากข้อกำหนดเบื้องต้น จึงได้ทำการทดลองเพื่อหาค่า width และ threshold ที่เหมาะสมกับการระบุตำแหน่งพีคสำหรับอินฟราเรดสเปกตรัมของตัวอย่างนิว เนื่องจากรูปแบบอินฟราเรดสเปกตรัมอยู่ในรูปการดูดกลืนแสงค่า threshold จึงมีค่ามากกว่า 0 ผลการระบุตำแหน่งพีคจากการกำหนดค่า width ที่ค่าต่างๆ แสดงดังภาพประกอบ 4-10

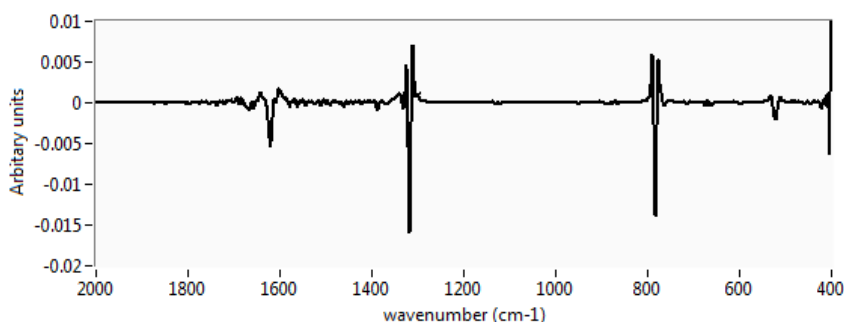


ภาพประกอบ 4-10 ผลการระบุตำแหน่งจากการกำหนดค่า width ค่าต่างๆ

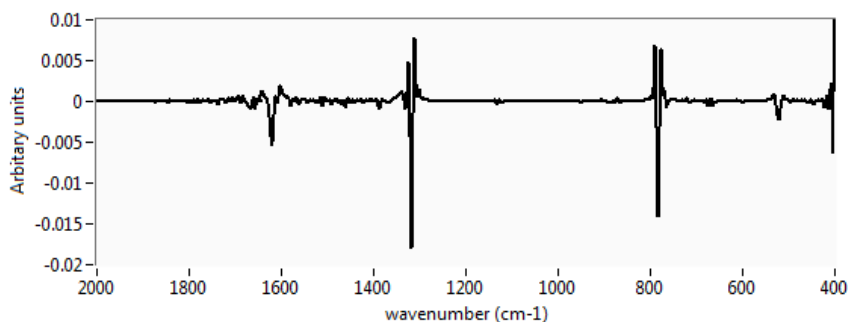
ภาพประกอบ 4-10 เป็นตัวอย่างอินฟราเรดสเปกตรัมของนิวเคลอซีมออกซาลेट โมโนไฮเดรตตัวอย่างที่ 19 ซึ่งเครื่องหมาย X แสดงตำแหน่งพีคที่สามารถระบุได้จากการกำหนดค่า width ค่าต่างๆ เมื่อนำผลที่ได้มาเปรียบเทียบกับตำแหน่งพีคสำคัญของนิวชนิดนี้พบว่า ขนาดหน้าต่างพิจารณาเท่ากับ 32 ให้ผลการระบุตำแหน่งที่ดีที่สุด โดยสามารถระบุตำแหน่งพีคสำคัญได้ครบทุกตำแหน่งเมื่อมีจำนวนพีคที่ นับได้โดยเครื่องมือระบุตำแหน่ง น้อยที่สุด จากนั้นจึงปรับค่า threshold เป็นค่าต่างๆ ตั้งแต่ 0.1 Absorbance unit เป็นต้นไป เพื่อหาค่า threshold ที่เหมาะสมควรเป็นค่าใด ซึ่งพบว่าเมื่อปรับค่า threshold ไปที่ 0.1 Absorbance unit แล้ว ไม่สามารถระบุตำแหน่งพีคได้ 2 ตำแหน่ง เนื่องจากเป็นตำแหน่งพีคที่มีค่าความเข้มข้นน้อยมากๆ (weak peak) ได้แก่ตำแหน่ง 886 และ 950  $\text{cm}^{-1}$  จากการทดลองนี้จึงได้กำหนดค่า threshold เท่ากับศูนย์ และกำหนดค่า width เท่ากับ 32 สำหรับทดลองในนิวชนิดอื่นๆต่อไป

#### 4.2.1.2 กรณีอินฟราเรดสเปกตรัมที่ผ่านการประมวลผลสัญญาณขั้นต้น และผ่านการทำอนุพันธ์อันดับสอง

การทำอนุพันธ์อันดับสองจะทำให้จุดพีคของอินฟราเรดสเปกตรัมอยู่ใต้เส้น ค่าความเข้มข้นเท่ากับศูนย์ และจากการประมวลผลสัญญาณขั้นต้นของอินฟราเรดสเปกตรัมในขั้นตอนการปรับเส้นเรียบโดยเทคนิคที่แตกต่างกันจำนวน 2 วิธีการ ลักษณะอินฟราเรดสเปกตรัมจากการใช้เทคนิคตัวกรองซาวีสกี-โกเลย์และการใช้เทคนิควิเคราะห์หลายระดับความละเอียดแสดง ดังภาพประกอบ 4-11 และภาพประกอบ 4-12 ตามลำดับโดยแสดงในช่วงความถี่ 2000-400  $\text{cm}^{-1}$



ภาพประกอบ 4-11 อินฟราเรดสเปกตรัมที่ใช้เทคนิคตัวกรองซาวีสกี-โกเลย์ และผ่านการทำอนุพันธ์อันดับสอง



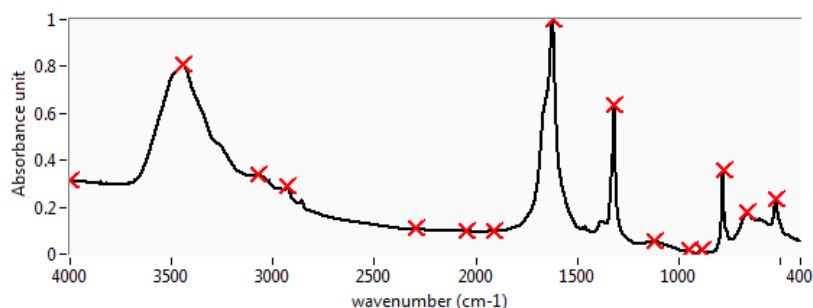
ภาพประกอบ 4-12 อินฟราเรดสเปกตรัมที่ใช้เทคนิควิเคราะห์หลายระดับความละเอียด และผ่านการทำอนุพันธ์อันดับสอง

จากภาพประกอบ 4-11 และ 4-12 จะเห็นได้อย่างชัดเจนว่าพีคของอินฟราเรดสเปกตรัมอยู่ในฝั่งค่าลบและขนาดของพีคมีค่าน้อยมาก เมื่อเทียบกับขนาดเดิม อันเนื่องมาจากการทำอนุพันธ์สองครั้ง ดังนั้นจึงกำหนด ค่า threshold เป็นค่าที่น้อยกว่าศูนย์ และกำหนด ค่า width เช่นเดียวกับกรณีอินฟราเรดสเปกตรัมไม่ผ่านการประมวลผลสัญญาณขั้นต้น ผลการทดลองพบว่า ค่า threshold มากที่สุดที่สามารถระบุตำแหน่งพีคได้ถูกต้องเท่ากับ  $-0.0001$  Absorbance unit

#### 4.2.2 การแปลผลเชิงคุณภาพของอินฟราเรดสเปกตรัมกรณีไม่ผ่านการประมวลผลขั้นต้น

##### 4.2.2.1 นิวแคลเซียมออกซาลेटโมโนไฮเดรต

นิวแคลเซียมออกซาลेटโมโนไฮเดรตมีตำแหน่งพีคที่ใช้บ่งบอกว่าเป็นนิวชนิดนี้อยู่ที่บริเวณความถี่  $518, 662, 780, 885, 951, 1316, 1615$  และ  $3442 \text{ cm}^{-1}$  โดยทำการทดลองกับ ตัวอย่างอินฟราเรดสเปกตรัมทั้งหมด 10 ตัวอย่าง

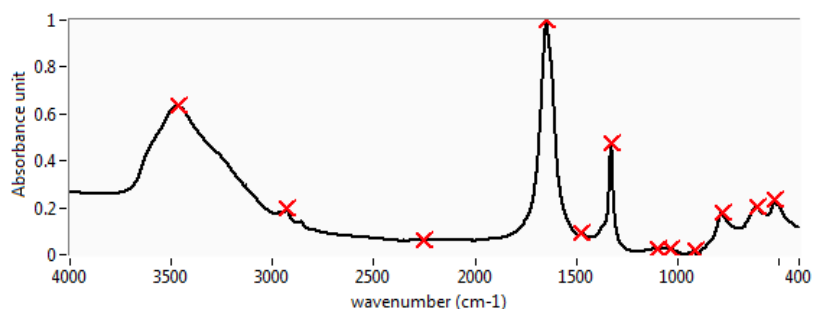


ภาพประกอบ 4-13 หน้าต่างแสดงผลการหาตำแหน่งพีคของนิวแคลเซียมออกซาลेटโมโนไฮเดรต

ภาพประกอบ 4-13 เป็นตัวอย่างอินฟราเรดสเปกตรัมของ นีวแคลเซียมออกซาลेट โมโนไฮเดรต ตัวอย่างที่ 19 โดยเครื่องหมาย X แสดงผลการหาดำแหน่งพีด ที่ได้และสามารถระบุตำแหน่งพีดสำคัญได้ถูกต้องทั้ง 8 ตำแหน่งความถี่ ได้แก่ตำแหน่ง 519.59, 662.34, 780.97, 885.14, 951.69, 1316.28, 1620.09 และ 3442.03  $\text{cm}^{-1}$

#### 4.2.2.2 นีวแคลเซียมออกซาลेटไดไฮเดรต

นีวแคลเซียมออกซาลेटไดไฮเดรตมีตำแหน่งพีดที่ใช้บ่งบอกว่าเป็นนิวชนิดนี้อยู่ที่ความถี่ 518, 610, 777, 915, 1326, 1472, 1646 และ 3436  $\text{cm}^{-1}$  โดยทำการทดลองกับ ตัวอย่างอินฟราเรดสเปกตรัมทั้งหมด 7 ตัวอย่าง

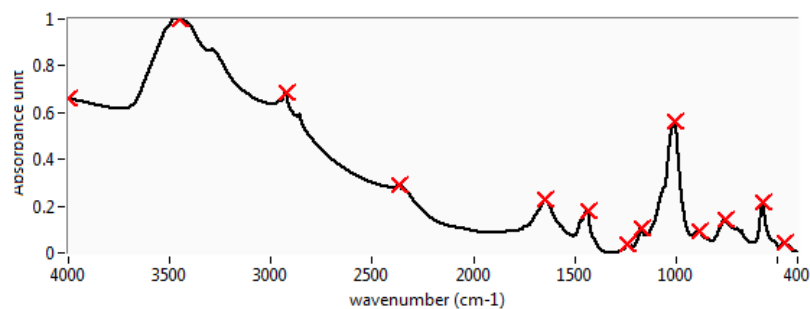


ภาพประกอบ 4-14 หน้าต่างแสดงผลการหาดำแหน่งพีดของนีวแคลเซียมออกซาลेटไดไฮเดรต

จากตำแหน่งพีดที่ได้ใน ภาพประกอบ 4-14 สามารถระบุตำแหน่งการเกิดพีดของนีวแคลเซียมออกซาลेटไดไฮเดรตได้ ครบทั้ง 8 ตำแหน่ง ได้แก่ 518.63, 608.33, 780.01, 916.08, 1326.88, 1475.42, 1647.10 และ 3468.07  $\text{cm}^{-1}$  โดยเป็นตัวอย่างของสเปกตรัมนีวแคลเซียมออกซาลेटไดไฮเดรตตัวอย่างที่ 26

#### 4.2.2.3 นีวสตูไวท์

ตำแหน่งความถี่ที่บ่งบอกว่าเป็นนีวสตูไวท์คือ 572, 770, 872, 1005, 1435, 1467, 1634 และ 2360  $\text{cm}^{-1}$  ตัวอย่างหน้าต่างแสดงผลการหาดำแหน่งการเกิดพีดของนิวชนิดนี้แสดงดัง ภาพประกอบ 4-15

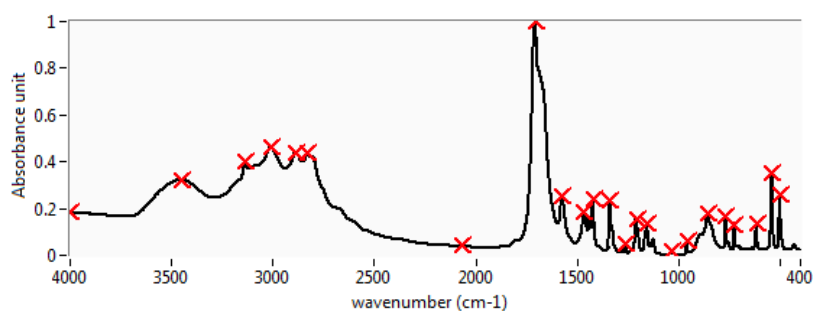


ภาพประกอบ 4-15 หน้าต่างแสดงผลการหาดำแหน่งพิกของนํิวสตูไวท์

จากภาพประกอบ 4-15 ปรากฏว่าสามารถระบุตำแหน่งการเกิดพิกของนํิวสตูไวท์ 7 จาก 8 ตำแหน่ง ได้แก่ที่ความถี่ 572.64, 758.79, 886.10, 1006.67, 1435.87, 1647.1 และ 2364.69  $\text{cm}^{-1}$  โดยตัวอย่างสเปกตรัมที่แสดงเป็นของนํิวตัวอย่างที่ 8 และทำการทดลองกับตัวอย่างนํิวสตูไวท์ อีก 2 ตัวอย่างเช่นเดียวกัน

#### 4.2.2.4 นํิวแซนทิน

ตำแหน่งพิกที่ใช้ระบุว่าเป็นนํิวแซนทินมีด้วยกันทั้งหมด 8 ตำแหน่ง ได้แก่ตำแหน่งความถี่ 855, 959, 1120, 1155, 1208, 1261, 1706 และ 3009  $\text{cm}^{-1}$  สเปกตรัมของนํิวแซนทินมีเพียงตัวอย่างเดียวคือตัวอย่างที่ 210 ผลการระบุตำแหน่งแสดงในภาพประกอบ 4-16



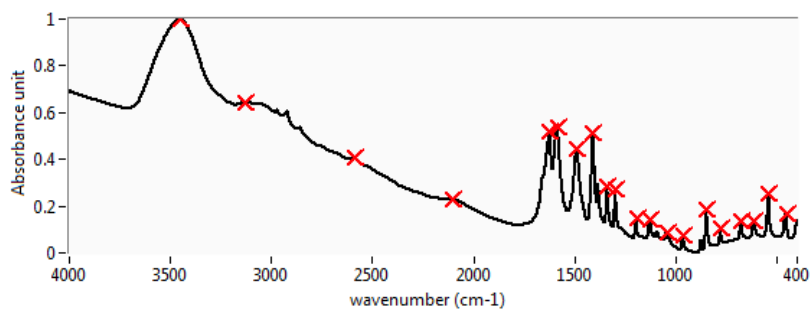
ภาพประกอบ 4-16 หน้าต่างแสดงผลการหาดำแหน่งพิกของนํิวแซนทิน

จากภาพประกอบ 4-16 จะเห็นว่ามีพิกจำนวนมากปรากฏอยู่ที่ช่วงความถี่ 2000-400  $\text{cm}^{-1}$  ผลที่ได้จากการหาดำแหน่งพิก ของนํิวชนิดนี้ ได้ทั้งหมด 7 จาก 8 ตำแหน่ง ได้แก่ตำแหน่งความถี่ 855.24, 959.41, 1155.2, 1208.25, 1261.3, 1706.9 และ 3009.94  $\text{cm}^{-1}$



#### 4.2.2.5 นีวซีสทีน

นีวซีสทีนมีโครงสร้างที่โดดเด่นคือพันธะ S-S ซึ่งจะปรากฏอยู่ที่ความถี่  $454\text{ cm}^{-1}$  นอกจากนั้นก็มีพีคที่เกิดจากพันธะอื่นๆ ที่ความถี่  $1580, 1617, 2587$  และ  $3406\text{ cm}^{-1}$  อีกด้วย ผลการระบุตำแหน่งการเกิดพีคแสดงได้ดังภาพประกอบ 4-17

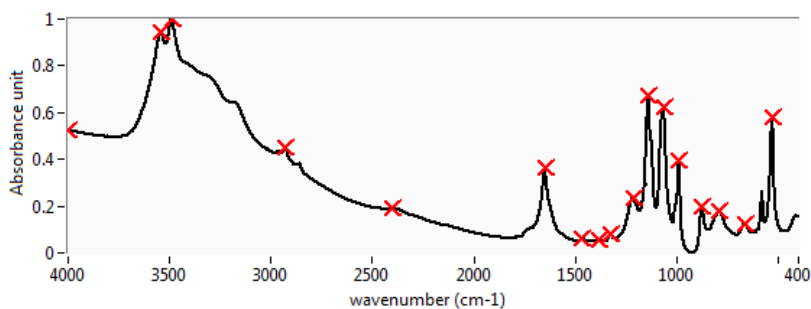


ภาพประกอบ 4-17 หน้าต่างแสดงผลการหาตำแหน่งพีคของนีวซีสทีน

แม้จะมีพีคปรากฏอยู่เป็นจำนวนมากในช่วงความถี่  $2000-400\text{ cm}^{-1}$  แต่ตำแหน่งพีคที่บ่งชี้ว่าเป็นนีวซีสทีนมีเพียง 5 ตำแหน่งข้างต้น นอกจากนั้นจะปรากฏพีคจำนวนมากในช่วงความถี่  $1500-400\text{ cm}^{-1}$  ซึ่งเป็นย่านรอยนิ้วมือและย่านอะโรแมติก จากผลการทดลองพบว่า มีเพียงตำแหน่งพีคที่ความถี่  $3406\text{ cm}^{-1}$  เท่านั้นที่ไม่สามารถตรวจจับได้ เนื่องจากมีการเลื่อนตำแหน่งออกไปอยู่ที่ความถี่  $3450\text{ cm}^{-1}$  และเกิดกรณีเช่นเดียวกันนี้กับตัวอย่างของนีวซีสทีนทั้ง 3 ตัวอย่าง

#### 4.2.2.6 นีวรูไฮด์

นีวรูไฮด์ มีโครงสร้างทางเคมีคือ  $\text{CaHPO}_4 \cdot 2\text{H}_2\text{O}$  ดังนั้นพีค หลักๆ ที่ปรากฏบนสเปกตรัมจะมาจากการสั่นของหมู่ฟอสเฟต ( $\text{PO}_4$ ) ได้แก่ที่ความถี่  $527$  กับ  $577\text{ cm}^{-1}$  อันเกิดจากการสั่นแบบ deformation ส่วนการสั่นแบบยืดจะปรากฏอยู่ที่บริเวณความถี่สูง โดยจะแบ่งออกเป็น 4 พีคได้แก่บริเวณ  $1000\text{ cm}^{-1}$  ที่ความถี่  $985, 871$  และ  $655\text{ cm}^{-1}$  ซึ่งพีคตำแหน่งสุดท้ายอาจจะปรากฏไม่ชัดเจน นอกจากนั้นก็เป็นพีคที่เกิดจากการสั่นของพันธะ OH ที่ความถี่  $1648, 3480$  และ  $3531\text{ cm}^{-1}$  หน้าต่างแสดงผลจากการระบุตำแหน่งพีคแสดงดังภาพประกอบ 4-18

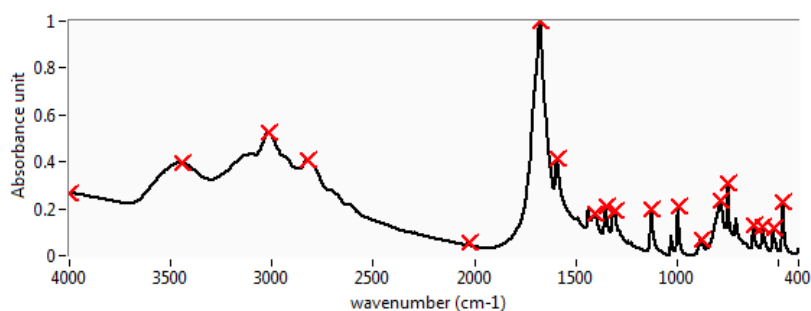


ภาพประกอบ 4-18 หน้าต่างแสดงผลการหาดำแหน่งพิกของนิ่วรูไซต์

จากภาพประกอบ 4-18 นั้นพบว่ามีตำแหน่งการเกิดพิกทั้งหมด 17 ตำแหน่ง โดยสามารถระบุตำแหน่งพิกของนิ่วรูไซต์ได้ 7 จาก 8 ตำแหน่ง ตำแหน่งที่ไม่สามารถตรวจจับได้มีเพียงที่ความถี่  $577\text{ cm}^{-1}$  เท่านั้น

#### 4.2.2.7 นิ่วยูริก

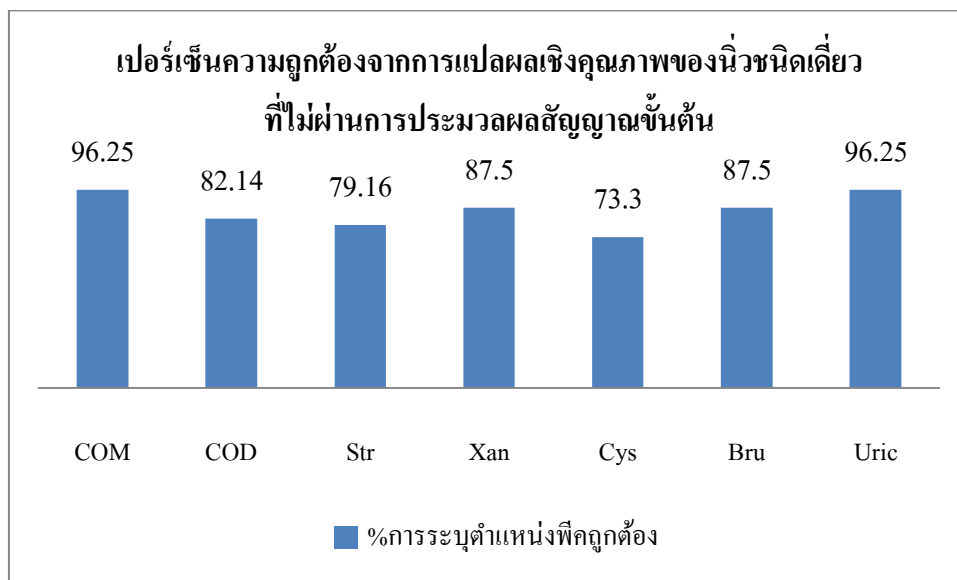
นิ่วยูริกเป็นนิ่วที่มีโครงสร้างแบบ วงแหวน ดังนั้นจะปรากฏพิกจำนวนมากบริเวณ ย่านอะโรแมติก หรือที่ช่วงความถี่  $1000\text{-}400\text{ cm}^{-1}$  นอกจากนั้นตำแหน่งพิกสำคัญในการระบุว่าเป็น นิ่วยูริกคือตำแหน่ง  $1666\text{ cm}^{-1}$  ซึ่งเป็นพิกที่เกิดจากหมู่เอไมด์ (Amide I band) จากผลการทดลอง พบว่าสามารถระบุตำแหน่งพิกของนิ่วยูริกได้ 8 จาก 9 ตำแหน่ง หน้าต่างแสดงผลเป็นดัง ภาพประกอบ 4-19 ตัวอย่างของนิ่วยูริกมีทั้งหมด 10 ตัวอย่าง



ภาพประกอบ 4-19 หน้าต่างแสดงผลการหาดำแหน่งพิกของนิ่วยูริก

จากผลการทดลองข้างต้นสามารถนำมาคำนวณค่าเปอร์เซ็นต์การระบุตำแหน่งที่ถูกต้องของนิ่วชนิดเดียวแต่ละชนิด โดยคำนวณจากตำแหน่งพิกที่สามารถระบุได้เปรียบเทียบกับตำแหน่งพิกสำคัญทั้งหมดของนิ่วแต่ละชนิด ผลการคำนวณแสดงดังภาพประกอบ 4-20 ซึ่งจะเห็นว่าผลการระบุตำแหน่งในนิ่วชนิดแคลเซียมออกซาลेटและนิ่วยูริกมีค่ามากถึงร้อยละ 96.25 ในขณะที่นิ่วชนิด

แคลเซียมออกซาลेटโมโนไฮเดรต นีวแซนทีน และนีวรูไซค์ มีความถูกต้องมากกว่า ร้อยละ 80 ในขณะที่นีวสตรูไวท์ และนีวซีสทีนสามารถระบุตำแหน่งฟิสิกส์ต้องอยู่ในช่วงร้อยละ 70

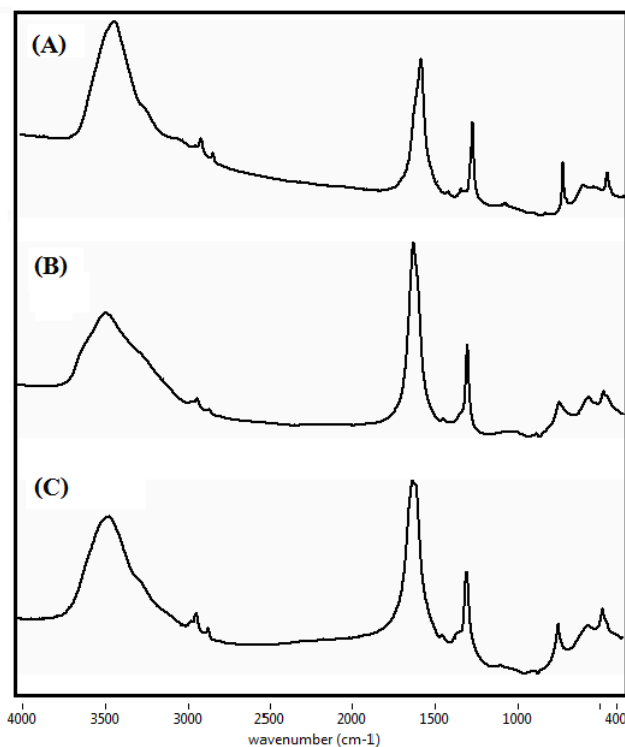


ภาพประกอบ 4-20 เปอร์เซ็นความถูกต้องในการระบุตำแหน่งฟิสิกส์ของนิวชนิดเดียวที่ไม่ผ่านการประมวลผลสัญญาณขั้นต้น

4.2.2.8 นีวผสมระหว่างนีวแคลเซียมออกซาลेटโมโนไฮเดรตกับนีวแคลเซียมออกซาลेटไดไฮเดรต

โดยทั่วไปการแปลผลเชิงคุณภาพของนิวชนิดต่างๆ จะต้องสามารถระบุตำแหน่งฟิสิกส์สำคัญของนิวชนิดนั้นๆ ได้ แต่ในกรณีนีวผสมชนิดแคลเซียมจะมีตำแหน่งฟิสิกส์ที่เหมือนกันบางตำแหน่งซึ่งเป็นผลมาจากองค์ประกอบทางเคมีของนิวทั้งสองชนิดที่มีโครงสร้างทางเคมีคล้ายกัน จากภาพประกอบ 4-21 จะเห็นว่าลักษณะสเปกตรัมของนิวทั้งสามชนิดแทบจะไม่แตกต่างกัน โดยตำแหน่งฟิสิกส์ที่มองเห็นได้ชัดเจนได้แก่ที่ความถี่ 517, 780, 1319(COM)/1324(COD) และที่ความถี่ 1619(COM)/1624(COD)  $\text{cm}^{-1}$  โดยเกิดจากการสั่นแบบยืดของพันธะ Ca-O การสั่นแบบงอของพันธะ O-C=O การสั่นแบบยืดสมมาตรของพันธะ C=O และการสั่นแบบยืดไม่สมมาตรของพันธะ C=O ตามลำดับ พันธะเหล่านี้ล้วนเป็นพันธะที่อยู่ในหมู่ออกซาลेटทั้งสิ้น นอกจากนี้ นีวแคลเซียมออกซาลेटโมโนไฮเดรตจะมีฟิสิกส์ที่ปรากฏ(ไม่ชัดเจน) จำนวน 4 ตำแหน่งบริเวณ ช่วงความถี่ 3600-3000  $\text{cm}^{-1}$  ในขณะที่นีวแคลเซียมออกซาลेटไดไฮเดรตปรากฏเพียงฟิสิกส์เดียวในช่วงความถี่เดียวกัน

นอกจากนั้นนิ้วแคลเซียมออกซาลेट โมโนไฮเดรตจะปรากฏพีคอีกสองตำแหน่งคือที่ความถี่ 850 และ  $950\text{ cm}^{-1}$  ซึ่งไม่ปรากฏในนิ้วแคลเซียมออกซาลेटไดไฮเดรต



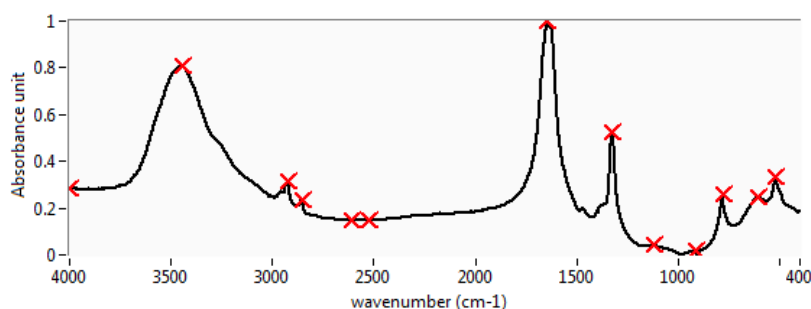
ภาพประกอบ 4-21 (A) อินฟราเรดสเปกตรัมของนิ้วออกซาลेटโมโนไฮเดรต (COM) (B) อินฟราเรดสเปกตรัมของนิ้วออกซาลेटไดไฮเดรต (COD) (C) อินฟราเรดสเปกตรัมของนิ้วผสมระหว่างนิ้วออกซาลेटโมโนไฮเดรตกับนิ้วออกซาลेटไดไฮเดรต (COM+COD)

ตัวอย่างอินฟราเรดสเปกตรัมของนิ้วชนิดผสมที่นำมาทำการทดลองมีทั้งหมด 17 ตัวอย่าง จากการทดสอบด้วยโปรแกรม kidney stone 1.3 ร่วมกับโปรแกรม EZ OMNIC พบว่าแต่ละตัวอย่างจะมีปริมาณองค์ประกอบในขนาดที่แตกต่างกัน ดังตารางที่ 4.2

ตาราง 4.2 อัตราส่วนร้อยละของปริมาณออกซิเจนประกอบ น้ำชนิดผสมชนิดแคลเซียมออกซาลेटโมโนไฮเดรตต่อน้ำแคลเซียมออกซาลेटไดไฮเดรต และส่วนประกอบไม่ทราบชนิด

| ตัวอย่างน้ำที่ | %(COM/COD) | ส่วนประกอบไม่ทราบชนิด<br>(Unknown) |
|----------------|------------|------------------------------------|
| 13             | 72/22      | 6                                  |
| 22             | 10/81      | 9                                  |
| 34             | 10/80      | 10                                 |
| 62             | 20/70      | 10                                 |
| 77             | 12/82      | 6                                  |
| 79             | 84/12      | 4                                  |
| 90             | 10/84      | 6                                  |
| 93             | 10/81      | 9                                  |
| 98             | 84/10      | 6                                  |
| 100            | 10/80      | 10                                 |
| 101            | 10/80      | 9                                  |
| 104            | 84/12      | 4                                  |
| 105            | 84/12      | 4                                  |
| 106            | 14/80      | 6                                  |
| 107            | 31/63      | 6                                  |
| 161            | 73/21      | 6                                  |
| 167            | 62/29      | 9                                  |

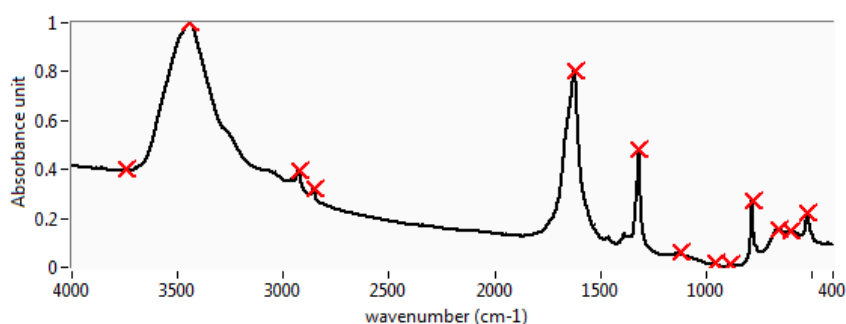
จากสเปกตรัมตัวอย่างที่ 107 ซึ่งมีอัตราส่วนปริมาณน้ำแคลเซียมออกซาลेटโมโนไฮเดรตต่อน้ำแคลเซียมออกซาลेटไดไฮเดรตเท่ากับ 31/63 ผลการระบุตำแหน่งพิกสามารถ แสดง ดังภาพประกอบ 4-22



ภาพประกอบ 4-22 หน้าต่างแสดงผลการหาดำแหน่งพิกของอินฟราเรดสเปกตรัมนี้่วชนิดผสมระหว่างนิวเคลเซียมออกซาลเตโมโนไฮเดรตกับนิวเคลเซียมออกซาลเตไดไฮเดรต ตัวอย่างที่ 107

จากภาพประกอบ 4-22 พบว่าผลการทดลองที่ได้ระบุ ตำแหน่งพิกในนี้่วทั้งสองชนิด โดยสามารถระบุตำแหน่งพิกของ นิวเคลเซียมออกซาลเตไดไฮเดรต ได้จำนวน 6 ตำแหน่ง ที่ความถี่ 517, 603, 780, 914, 1324 และ 1644  $\text{cm}^{-1}$  และแสดงอยู่ในส่วนของ นิวเคลเซียมออกซาลเตโมโนไฮเดรต 3 ตำแหน่ง ได้แก่ที่ความถี่ 517, 780 และ 3444  $\text{cm}^{-1}$  โดยตำแหน่งพิกที่มีเหมือนกันคือ 517 และ 780  $\text{cm}^{-1}$  เป็นตำแหน่งพิกที่บ่งบอกความเป็นออกซาลเตของสารตัวอย่าง ดังนั้นตำแหน่งพิกที่ได้ จึงไม่สามารถบอกได้ว่ามีส่วนประกอบของนิวเคลเซียมออกซาลเตโมโนไฮเดรตได้อย่างแน่ชัด เนื่องจากปรากฏความเป็นโมโนไฮเดรตเพียง 1 ตำแหน่งเท่านั้น

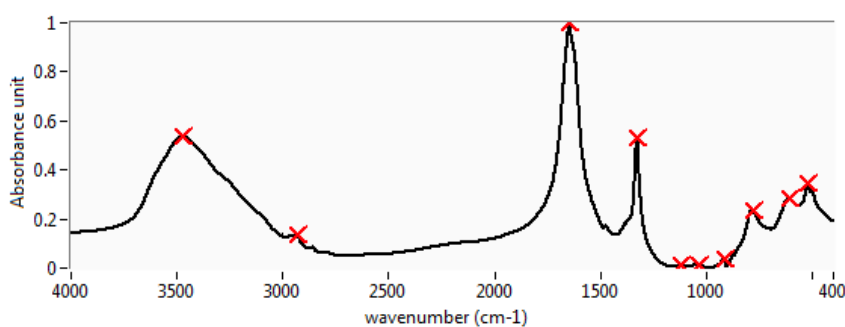
ทำการทดลองอีกครั้งด้วยนี้่วชนิดผสมชนิดนี้่วตัวอย่างที่ 79 โดยมีอัตราส่วนปริมาณนี้่วเคลเซียมออกซาลเตโมโนไฮเดรต ต่อนี้่วเคลเซียมออกซาลเตไดไฮเดรต เท่ากับ 84/12 และ 4% เป็นสารที่ไม่ทราบชนิด ผลการระบุตำแหน่งพิกแสดงดังภาพประกอบ 4-23



ภาพประกอบ 4-23 หน้าต่างแสดงผลการหาดำแหน่งพิกของอินฟราเรดสเปกตรัมนี้่วชนิดผสมระหว่างนิวเคลเซียมออกซาลเตโมโนไฮเดรตกับนิวเคลเซียมออกซาลเตไดไฮเดรต ตัวอย่างที่ 79

ผลจากการระบุตำแหน่งพิกของนิวชนิดผสมตัวอย่างที่ 79 พบว่าสามารถระบุตำแหน่งพิกของนิวแคลเซียมออกซาลेटโมโนไฮเดรตได้ 7 จาก 8 ตำแหน่ง ได้แก่พิกที่ความถี่ 518.63, 780.97, 887.07, 954.58, 1316.28, 1622.02 และ 3441.07  $\text{cm}^{-1}$  แต่ในส่วนของนิวแคลเซียมออกซาลेटไดไฮเดรตนั้น ปรากฏตำแหน่งพิกแค่เพียง 2 ตำแหน่ง คือพิกที่ความถี่ 518.63 และ 780.97  $\text{cm}^{-1}$  เท่านั้น ซึ่งตำแหน่งพิกทั้งสองนี้ก็เป็นพิกที่เกิดจากหมู่ออกซาลेट ไม่สามารถระบุความเป็นไดไฮเดรตของนิวได้

จากนั้นทำการทดลองกับนิวชนิดผสมตัวอย่างที่ 101 ที่มีอัตราส่วนปริมาณนิวแคลเซียมออกซาลेटโมโนไฮเดรต ต่อนิวแคลเซียมออกซาลेटไดไฮเดรต เท่ากับ 10/81 และ 9% เป็นสารที่ไม่ทราบชนิด ผลการระบุตำแหน่งพิกแสดงดังภาพประกอบ 4-24



ภาพประกอบ 4-24 หน้าต่างแสดงผลการหาตำแหน่งพิกของอินฟราเรดสเปกตรัมนิวชนิดผสมระหว่างนิวแคลเซียมออกซาลेटโมโนไฮเดรตกับนิวแคลเซียมออกซาลेटไดไฮเดรต ตัวอย่างที่ 101

จากภาพประกอบ 4-24 พบว่าสามารถระบุตำแหน่งพิกของนิวแคลเซียมออกซาลेटโมโนไฮเดรตได้เพียง 2 ตำแหน่งคือความถี่ 517.66 และความถี่ 780.01  $\text{cm}^{-1}$  แต่สามารถระบุพิกของนิวแคลเซียมออกซาลेटไดไฮเดรตได้ ถึง 7 จาก 8 ตำแหน่ง ได้แก่ ความถี่ 517.66, 606.40, 780.01, 915.04, 1325.92, 1645.17 และ 3473.86  $\text{cm}^{-1}$  จากตำแหน่งพิกดังกล่าวไม่สามารถระบุความเป็นนิวแคลเซียมออกซาลेटโมโนไฮเดรตได้

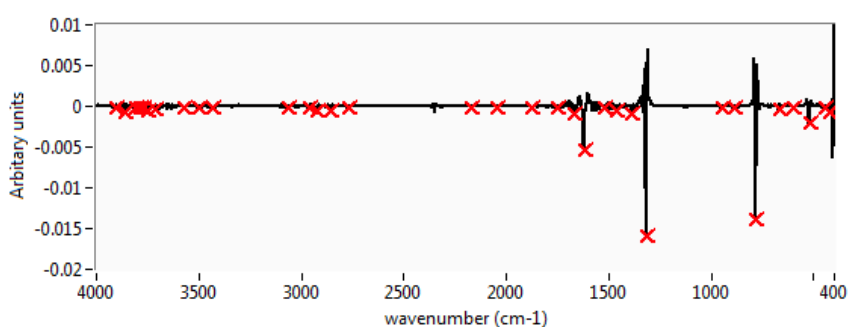
จากผลการทดลองข้างต้นจะเห็นว่าการแปลผลเชิงคุณภาพในกรณีนิวชนิดเดียวจากอินฟราเรดสเปกตรัมตั้งต้นนั้น ไม่สามารถทำได้ เนื่องจากการซ้อนทับของตำแหน่งพิก พบว่าหากส่วนประกอบของนิวชนิดใดมีปริมาณมากกว่า ก็จะทำให้ผลการแปลผลบ่งชี้ว่ามีเพียงนิวชนิดนั้นเท่านั้น

#### 4.2.3 การแปลผลเชิงคุณภาพของอินฟราเรดสเปกตรัม หลังผ่านการประมวลผลสัญญาณ ขั้นต้นและการทำอนุพันธ์อันดับสอง

การระบุตำแหน่งพีกจากอินฟราเรดสเปกตรัมของนิวไนทาง เคนปีสสาวะแต่ละชนิด เมื่อผ่านขั้นตอนการประมวลผลสัญญาณขั้นต้น และการทำอนุพันธ์อันดับสองมีรูปแบบเดียวกันกับการระบุตำแหน่งพีกกรณีอินฟราเรดสเปกตรัมไม่ได้ผ่านการประมวลผลสัญญาณขั้นต้น โดยได้ทำการทดลองทั้งจากกรณีที่มีการกรองสัญญาณโดยตัวกรองซาวีตกี- โกลีย์และวิธีวิเคราะห์หลายระดับความละเอียด

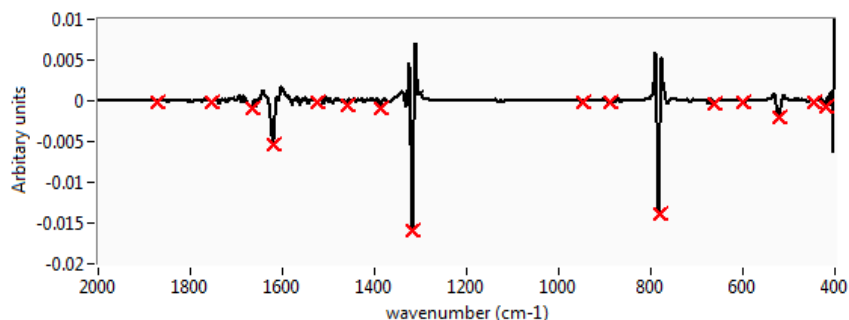
##### 4.2.3.1 กรณีใช้ตัวกรองซาวีตกี- โกลีย์

ตัวอย่างหน้าต่างแสดงผลการทดลองเป็นอินฟราเรดสเปกตรัมของ นิวแคลเซียมออกซาลेटโมโนไฮเดรตตัวอย่างที่ 19 ในช่วงความถี่  $4000-400\text{ cm}^{-1}$  แสดงดังภาพประกอบ 4-25 จะเห็นว่าไม่สามารถมองเห็นตำแหน่งพีกได้ชัดเจน โดยเฉพาะในช่วงความถี่ตั้งแต่  $4000-2000\text{ cm}^{-1}$  เนื่องจากขนาดของพีกมีขนาดเล็กมากซึ่งเป็นผลมาจากการทำอนุพันธ์อันดับสอง แต่สามารถเห็นการระบุตำแหน่งพีกที่ชัดเจน และแสดงตำแหน่งพีกสำคัญ จากหน้าต่างแสดงผลในช่วงความถี่  $2000-400\text{ cm}^{-1}$  ดังภาพประกอบ 4-26 โดยผลการระบุตำแหน่งพีกพบว่าสามารถระบุตำแหน่งพีกได้ครบทั้งหมดทั้ง 8 ตำแหน่ง และทำการทดลองจากตัวอย่างอินฟราเรดสเปกตรัมของนิวชนิดนี้จำนวน 10 ตัวอย่าง



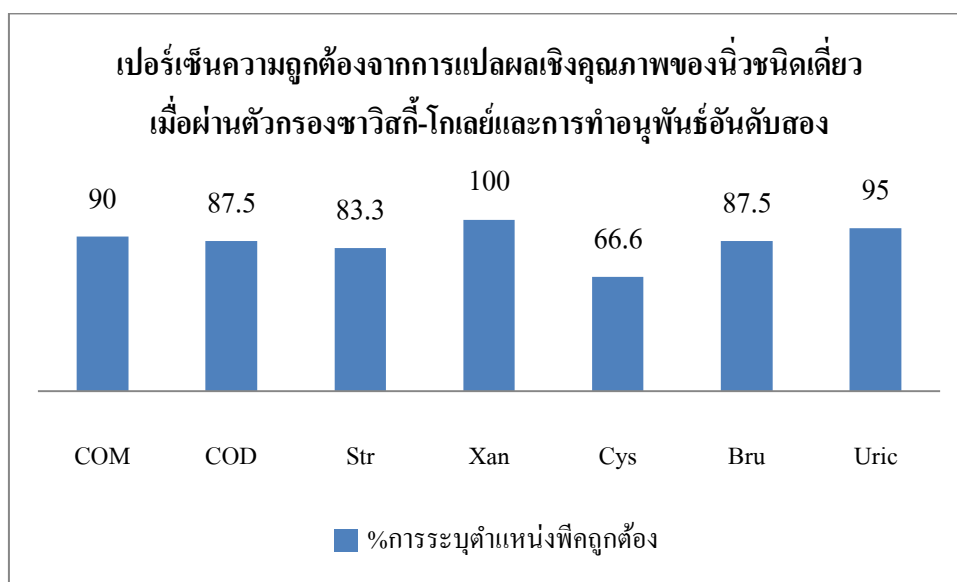
ภาพประกอบ 4-25 หน้าต่างแสดงผลการหาตำแหน่งพีกของนิวแคลเซียมออกซาลेटโมโนไฮเดรต  
ในช่วงความถี่  $4000-400\text{ cm}^{-1}$





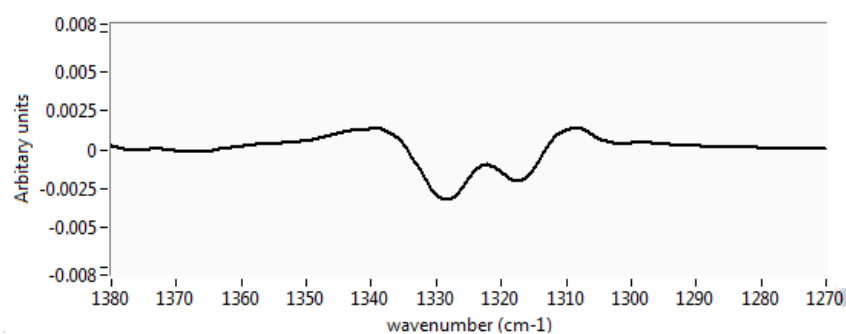
ภาพประกอบ 4-26 หน้าต่างแสดงผลการหาค่าตำแหน่งพีคของนิวเคลซีมออกซาเลตโมโนไฮเดรต ในช่วงความถี่ 2000-400  $\text{cm}^{-1}$

จากนั้นทำการทดลองโดยใช้ตัวอย่างอินฟราเรดสเปกตรัมของนิวชนิดอื่นๆ ได้แก่ นิวชนิดแคลเซียมออกซาเลตไดไฮเดรต (7 ตัวอย่าง), นิวสตรูไวต์ (3 ตัวอย่าง), นิวแซนทีน (1 ตัวอย่าง), นิวซิสทีน (3 ตัวอย่าง), นิวบรูไซต์ (1 ตัวอย่าง) และนิวยูริก (10 ตัวอย่าง) ผลการทดลองการระบุตำแหน่งพีคของนิวชนิดเดี่ยวเมื่อผ่านตัวกรองซาวิสกี-โกเลย์และการทำอนุพันธ์อันดับสองแสดงดังภาพประกอบ 4-27



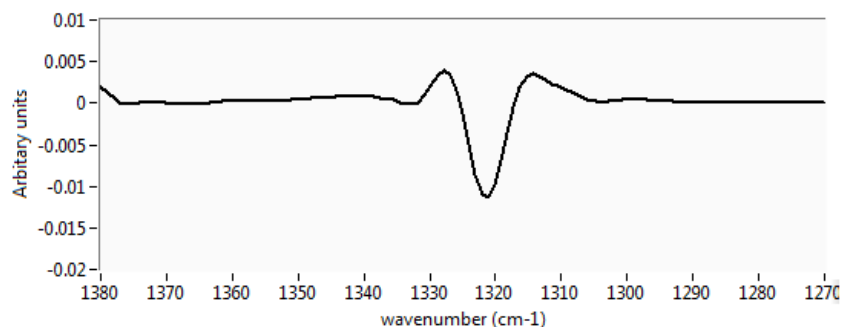
ภาพประกอบ 4-27 เปอร์เซ็นความถูกต้องในการระบุตำแหน่งพีคของนิวชนิดเดี่ยวที่ผ่านตัวกรองซาวิสกี-โกเลย์และการทำอนุพันธ์อันดับสอง

ในกรณีของนิวชนิดผสมนั้นได้ ทำการทดลองกับนิวชนิดผสมตัวอย่างที่ 107 ซึ่งมีอัตราส่วนปริมาณนิวแคลเซียมออกซาลेटโมโนไฮเดรต ต่อนิวแคลเซียมออกซาลेटไดไฮเดรต เท่ากับ 31/63 พบว่าสามารถระบุตำแหน่งพิกของนิวแคลเซียมออกซาลेटโมโนไฮเดรตได้ถึง 6 จาก 8 ตำแหน่ง ได้แก่ความถี่ 516.70, 668.13, 780.01, 888.03, 1617.2 และ 3432.39  $\text{cm}^{-1}$  และสามารถระบุตำแหน่งพิกของนิวแคลเซียมออกซาลेटไดไฮเดรตได้ถึง 7 จาก 8 ตำแหน่ง ได้แก่ 516.70, 617.97, 780.01, 911.18, 1326.88, 1473.49 และ 1645.17  $\text{cm}^{-1}$  สิ่งที่สามารถสังเกตได้อย่างหนึ่งคือ ลักษณะพิกในช่วงความถี่ 1300  $\text{cm}^{-1}$  จะแสดงพิกจำนวนสองพิกคือความถี่ 1315  $\text{cm}^{-1}$  ที่เป็นตำแหน่งพิกที่ปรากฏในนิวชนิดโมโนไฮเดรต และที่ความถี่ 1326  $\text{cm}^{-1}$  สำหรับนิวชนิดไดไฮเดรต ดังภาพประกอบ 4-28



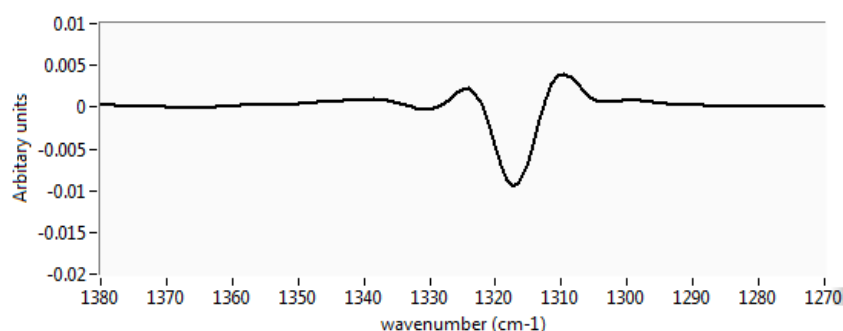
ภาพประกอบ 4-28 ลักษณะพิกในช่วงความถี่ 1300  $\text{cm}^{-1}$  ของนิวผสมตัวอย่างที่ 107

จากนั้นทำการทดลองกับนิวผสมตัวอย่างที่ 167 ที่มีอัตราส่วนปริมาณนิวแคลเซียมออกซาลेटโมโนไฮเดรต ต่อนิวแคลเซียมออกซาลेटไดไฮเดรต เท่ากับ 62/29 พบว่าสามารถระบุตำแหน่งพิกของนิวแคลเซียมออกซาลेटโมโนไฮเดรตได้ทั้ง 7 จาก 8 ตำแหน่ง ได้แก่ความถี่ 518.63, 660.41, 784.83, 888.03, 947.83, 1624.91 และ 3428.53  $\text{cm}^{-1}$  และสามารถระบุตำแหน่งพิกของนิวแคลเซียมออกซาลेटไดไฮเดรตได้ 6 จาก 8 ตำแหน่ง ได้แก่ 518.63, 784.83, 1321.1, 1474.45 และ 1645.13  $\text{cm}^{-1}$  ซึ่งจะเห็นว่าตำแหน่ง พิกที่ปรากฏในช่วงความถี่ 1300  $\text{cm}^{-1}$  เป็นพิกของนิวแคลเซียมออกซาลेटโมโนไฮเดรตเท่านั้น ดังภาพประกอบ 4-29



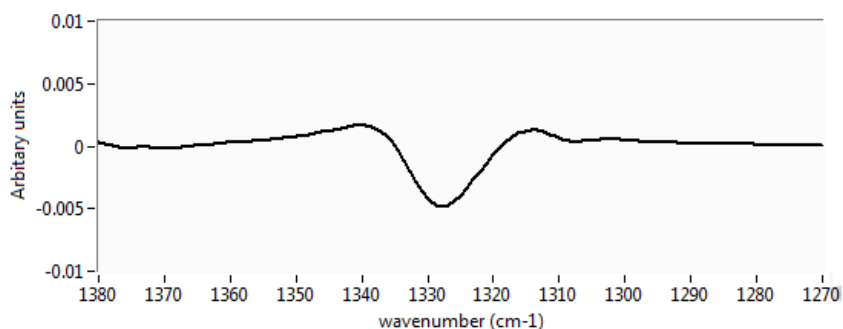
ภาพประกอบ 4-29 ลักษณะพีกในช่วงความถี่  $1300\text{ cm}^{-1}$  ของนิวผสมตัวอย่างที่ 167

ทำการทดลองกับนิวผสมตัวอย่างที่ 79 ที่มีอัตราส่วนปริมาณนิวเคลซีมออกซาลेट โมโนไฮดรต ต่อนิวเคลซีมออกซาลेटไดไฮดรต เท่ากับ 84/12 สามารถระบุตำแหน่งพีกในส่วนของนิวเคลซีมออกซาลेट โมโนไฮดรตครบทั้ง 8 ตำแหน่ง และสามารถระบุตำแหน่งพีกของนิวชนิดเคลซีมออกซาลेटไดไฮดรตได้ 7 จาก 8 ตำแหน่ง แต่ลักษณะพีกที่ความถี่  $1300\text{ cm}^{-1}$  ปรากฏเฉพาะพีกของนิวชนิดโมโนไฮดรตที่ความถี่  $1317.24\text{ cm}^{-1}$  เท่านั้น ดังภาพประกอบ 4-30



ภาพประกอบ 4-30 ลักษณะพีกในช่วงความถี่  $1300\text{ cm}^{-1}$  ของนิวผสมตัวอย่างที่ 79

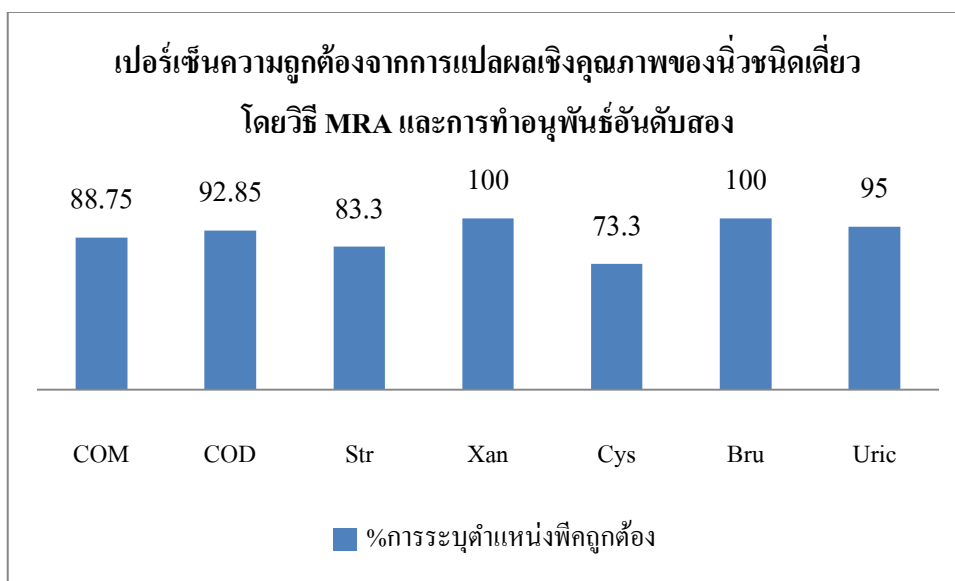
ทดลองเช่นเดียวกับข้างต้นกับตัวอย่างสเปกตรัมของนิวผสมตัวอย่างที่ 101 โดยมีอัตราส่วนปริมาณนิวเคลซีมออกซาลेट โมโนไฮดรตต่อนิวเคลซีมออกซาลेटไดไฮดรต เท่ากับ 10/81 ปรากฏว่าสามารถระบุตำแหน่งพีกของนิวเคลซีมออกซาลेट โมโนไฮดรตได้เพียง 3 ตำแหน่ง ได้แก่พีกที่ความถี่  $517.66$ ,  $778.08$  และ  $1620.09\text{ cm}^{-1}$  ในขณะที่สามารถระบุตำแหน่งพีกของนิวชนิดไดไฮดรตได้ครบทั้ง 8 ตำแหน่ง ดังนั้นพีกที่ปรากฏอยู่ในช่วงความถี่  $1300\text{ cm}^{-1}$  จึงเป็นพีกของนิวเคลซีมออกซาลेटไดไฮดรตที่ความถี่  $1327.85\text{ cm}^{-1}$  ดังภาพประกอบ 4-31



ภาพประกอบ 4-31 ลักษณะพีกที่ช่วงความถี่  $1300\text{ cm}^{-1}$  ของนิวผสมตัวอย่างที่ 101

#### 4.2.3.2 กรณีใช้วิธีวิเคราะห์หลายระดับความละเอียด

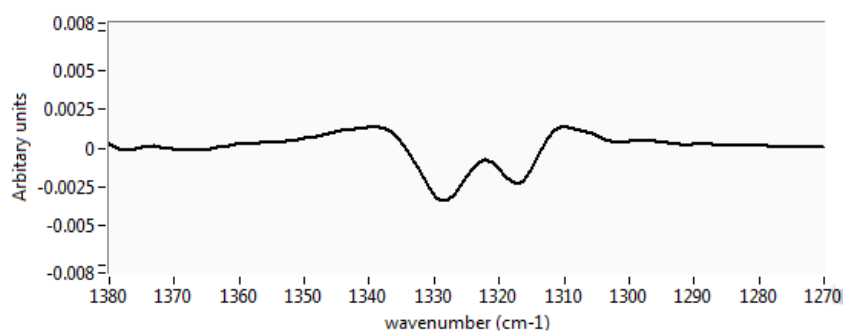
ในการทดลองนี้จะใช้ตัวอย่างและวิธีการแบบเดียวกับกรณีใช้ตัวกรองซาวิสกี- โกลีย์ ในการกรองสัญญาณ โดยผลการระบุตำแหน่งพีกของนิวชนิดเดียวสามารถแสดงได้ดังภาพประกอบ 4-32



ภาพประกอบ 4-32 เปอร์เซ็นความถูกต้องในการระบุตำแหน่งพีกของนิวชนิดเดียวโดยใช้วิธีวิเคราะห์หลายระดับความละเอียดและการทำอนุพันธ์อันดับสอง

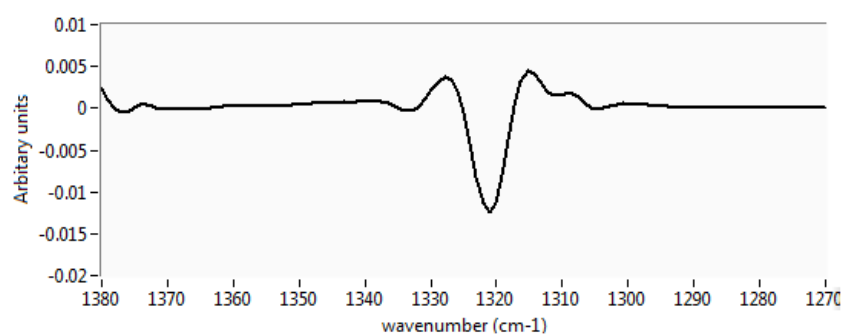
ในส่วนของการระบุตำแหน่งพีก กรณีนิวผสมนั้น ตัวอย่างการทดลองแรกคือตัวอย่างที่ 107 มีอัตราส่วนปริมาณนิวแคลเซียมออกซาเลตโมโนไฮเดรตต่อนิวแคลเซียมออกซาเลตไดไฮเดรตเท่ากับ 31/63 พบว่าสามารถระบุตำแหน่งพีกของนิวแคลเซียมออกซาเลตโมโนไฮเดรต

ได้ 7 จาก 8 ตำแหน่ง และระบุตำแหน่งพิกของนิวเคลียสออกซาลेटไดไฮเดรต ได้ทั้ง 8 ตำแหน่ง นอกจากนั้นยังสามารถจำแนกพิกที่ตำแหน่งความถี่  $1300\text{ cm}^{-1}$  โดยปรากฏที่ความถี่  $1317.4$  และ  $1328.6\text{ cm}^{-1}$  สำหรับนิวชนิดโมนไฮเดรต และนิวชนิดไดไฮเดรต ตามลำดับ ดังภาพประกอบ 4-33



ภาพประกอบ 4-33 ลักษณะพิกในช่วงความถี่  $1300\text{ cm}^{-1}$  ของนิวผสมตัวอย่างที่ 107

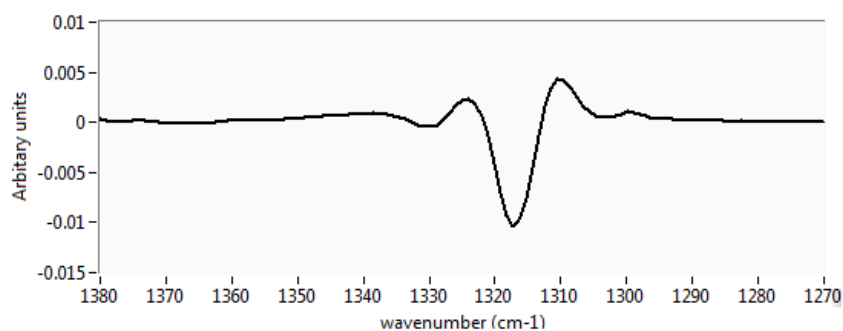
ทำการทดลองกับนิวตัวอย่างที่ 167 ที่มีอัตราส่วนปริมาณนิวเคลียสออกซาลेटโมนไฮเดรต ต่อนิวเคลียสออกซาลेटไดไฮเดรต เท่ากับ 62/29 พบว่าสามารถระบุตำแหน่งพิกของนิวเคลียสออกซาลेटโมนไฮเดรตได้ 7 จาก 8 ตำแหน่ง โดยไม่สามารถระบุตำแหน่งที่ความถี่  $1300\text{ cm}^{-1}$  ในขณะที่สามารถระบุตำแหน่งพิกของนิวเคลียสออกซาลेटไดไฮเดรตได้ 5 จาก 8 ตำแหน่ง ได้แก่ที่ความถี่  $518.63$ ,  $784.83$ ,  $1321.1$ ,  $1467.7$  และ  $1647.1\text{ cm}^{-1}$  ซึ่งจะเห็นได้ว่าพิกในช่วงความถี่  $1300\text{ cm}^{-1}$  ปรากฏเป็นพิกของนิวชนิดไดไฮเดรต ดังภาพประกอบ 4-34



ภาพประกอบ 4-34 ลักษณะพิกในช่วงความถี่  $1300\text{ cm}^{-1}$  ของนิวผสมตัวอย่างที่ 167

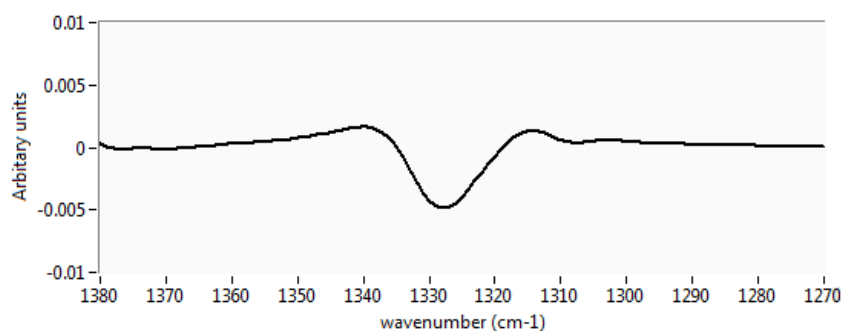
ทำการทดลองกับนิวผสมตัวอย่างที่ 79 ซึ่งมีอัตราส่วนปริมาณนิวเคลียสออกซาลेटโมนไฮเดรตต่อนิวเคลียสออกซาลेटไดไฮเดรต เท่ากับ 84/12 พบว่าสามารถระบุตำแหน่งพิกของนิวเคลียสออกซาลेटโมนไฮเดรตได้ครบทั้ง 8 ตำแหน่ง และสามารถระบุตำแหน่งพิกของ

นิวเคลียสออกซาลेटไดไฮดรตได้ 6 จาก 8 ตำแหน่ง โดยไม่ปรากฏตำแหน่งพีค ที่ช่วงความถี่  $1300\text{ cm}^{-1}$  ดังภาพประกอบ 4-35



ภาพประกอบ 4-35 ลักษณะพีคที่ช่วงความถี่  $1300\text{ cm}^{-1}$  ของนิวผสมตัวอย่างที่ 79

ทำการทดลองกับนิวผสมตัวอย่างที่ 101 ที่มีอัตราส่วนปริมาตรนิวเคลียสออกซาลेटโมโนไฮดรตต่อนิวเคลียสออกซาลेटไดไฮดรต เท่ากับ 10/81 พบว่าสามารถระบุตำแหน่งพีคของนิวเคลียสออกซาลेटโมโนไฮดรตได้เพียง 3 ตำแหน่ง ได้แก่ความถี่  $517.66$ ,  $778.08$  และ  $1618.16\text{ cm}^{-1}$  ตำแหน่ง ซึ่งไม่ปรากฏตำแหน่งพีคที่ช่วงความถี่  $1300\text{ cm}^{-1}$  แต่สามารถระบุตำแหน่งพีคของนิวเคลียสออกซาลेटไดไฮดรตได้ครบทั้ง 8 ตำแหน่ง ดังนั้นพีคที่ช่วงความถี่  $1300\text{ cm}^{-1}$  ก็แสดงเฉพาะพีคของออกซาลेटไดไฮดรตเท่านั้น ดังภาพประกอบ 4-36 ตามลำดับ



ภาพประกอบ 4-36 ลักษณะพีคที่ช่วงความถี่  $1300\text{ cm}^{-1}$  ของนิวผสมตัวอย่างที่ 101

จากการแปลผลเชิงคุณภาพเบื้องต้นจากนิวชนิดผสมพบว่าการระบุตำแหน่งพีคจะทำได้ยากเมื่อปริมาณของนิวชนิดใดชนิดหนึ่งมีค่าน้อยมาก (น้อยกว่า 20% ต่อน้ำหนักทั้งหมด) และเนื่องจากตำแหน่งพีคสำคัญของนิวทั้งสองชนิดข้างต้นอยู่ที่ตำแหน่งใกล้เคียงกันมาก ทำให้เมื่อมีปริมาณของนิวชนิดใดมากกว่า ก็จะทำให้พีคของนิวชนิดนั้นบดบังพีคของนิวอีกชนิดไป

ในการวิเคราะห์นิวคลีอิกแอซิดและโปรตีนโมโนไฮดรอกซีและนิวคลีอิกแอซิดไดไฮดรอกซี พบว่าเมื่อนิวคลีอิกแอซิดและโปรตีนโมโนไฮดรอกซีมากกว่าในปริมาณมาก ๆ นั้น ตำแหน่งความถี่ที่ช่วง  $1300\text{ cm}^{-1}$  จะมีค่าตั้งแต่ความถี่  $1317\text{ cm}^{-1}$  ลงไป ซึ่งความถี่ดังกล่าวเป็นความถี่ที่อยู่ในช่วงของนิวคลีอิกแอซิดและโปรตีนโมโนไฮดรอกซี แต่สามารถยืนยันการมีอยู่ของนิวคลีอิกแอซิดและโปรตีนไดไฮดรอกซีได้จากตำแหน่ง  $912\text{ cm}^{-1}$  ในทางกลับกันหากนิวคลีอิกแอซิดและโปรตีนไดไฮดรอกซีมีปริมาณมากกว่าจะปรากฏตำแหน่งพีคที่ช่วงความถี่ตั้งแต่  $1322\text{ cm}^{-1}$  ขึ้นไป ซึ่งเป็นช่วงความถี่ของนิวคลีอิกแอซิดและโปรตีนไดไฮดรอกซี โดยสามารถยืนยันการมีอยู่ของนิวคลีอิกแอซิดและโปรตีนไดไฮดรอกซีได้จากความถี่  $948\text{ cm}^{-1}$  นอกจากนี้จะเห็นว่าเมื่อปริมาณของนิวคลีอิกแอซิดและโปรตีนมีปริมาณใกล้เคียงกัน จะปรากฏตำแหน่งพีคของนิวคลีอิกแอซิดและโปรตีนที่ความถี่  $1300\text{ cm}^{-1}$  ซึ่งสามารถใช้ยืนยันว่าเป็นนิวคลีอิกแอซิดและโปรตีนได้ นอกจากนี้พีคที่ความถี่นี้ยังมีความเข้มสูงและปรากฏให้เห็นอย่างเด่นชัดในนิวคลีอิกแอซิดและโปรตีน จึงเหมาะสมสำหรับการนำมาพิจารณาการแปลผลเชิงปริมาณของนิวคลีอิกแอซิดและโปรตีนข้างต้นได้อีกด้วย

#### 4.3 ผลการแปลผลเชิงปริมาณ

ในการทดลองนี้เป็นการหาอัตราส่วนของนิวคลีอิกแอซิดและโปรตีนระหว่างนิวคลีอิกแอซิดและโปรตีนไดไฮดรอกซีกับนิวคลีอิกแอซิดและโปรตีนโมโนไฮดรอกซี จากค่าความเข้มของพีคที่ความถี่  $1300\text{ cm}^{-1}$  และวิธี zero-crossing point first-derivative จากการทดลองในบทความ [17] พบว่าการทำอนุพันธ์อันดับหนึ่งสำหรับนิวคลีอิกแอซิดและโปรตีนที่สังเคราะห์ขึ้นนั้น สามารถใช้ค่าความเข้มของพีคที่ความถี่  $1324\text{ cm}^{-1}$  มาใช้ในการบอกปริมาณของนิวคลีอิกแอซิดและโปรตีนได้ โดยในนิวคลีอิกแอซิดและโปรตีนที่ความถี่  $1324\text{ cm}^{-1}$  เป็นพีคที่ใช้บอกปริมาณของนิวคลีอิกแอซิดและโปรตีนไดไฮดรอกซี เนื่องจากในนิวคลีอิกแอซิดและโปรตีนไดไฮดรอกซีชนิดเดียวกันนั้น ค่าความเข้มของพีคที่ความถี่  $1324\text{ cm}^{-1}$  นี้จะมีค่าเท่ากับศูนย์ จากนั้นได้มีการสร้างเส้นโค้งเปรียบเทียบ (calibration curve) สำหรับบอกปริมาณของนิวคลีอิกแอซิดและโปรตีนไดไฮดรอกซีด้วย ดังภาพประกอบ 2-27

ดังนั้นในงานวิจัยนี้จึงได้ใช้วิธีการทดลองเช่นเดียวกันกับบทความข้างต้น เพื่อทดสอบว่าผลที่ได้จากตัวอย่างนิวคลีอิกแอซิดและโปรตีนที่เกิดขึ้นเองโดยธรรมชาตินั้น สามารถใช้เส้นโค้งเปรียบเทียบในการระบุปริมาณของนิวคลีอิกแอซิดและโปรตีนไดไฮดรอกซีหรือไม่

ในขั้นแรกใช้วิธีการ ทดลอง ช่างต้น กับชนิดเดียวที่มีปริมาณ นิวเคลเซียมออกซาลेटโมโนไฮเดรตมากกว่าร้อยละ 85 ของปริมาณนิวส่วนประกอบทั้งหมด เพื่อทดสอบว่าค่าความเข้มข้นที่ตำแหน่งแถบดูดกลืน  $1324\text{ cm}^{-1}$  สอดคล้องกับค่าความเข้มข้นจากเส้นโค้งเปรียบเทียบหรือไม่ โดยผลการหาความเข้มข้นสามารถแสดงได้ดังตารางที่ 4.3

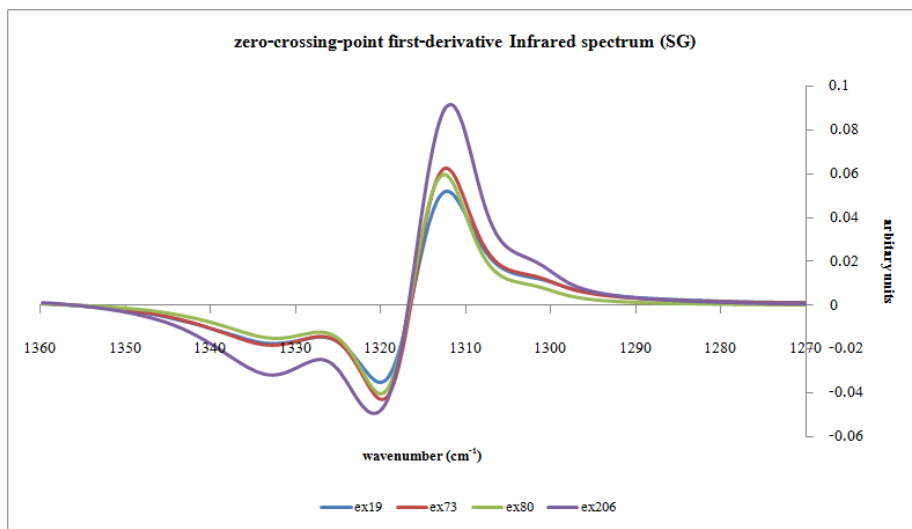
ตารางที่ 4.3 ค่าความเข้มข้นที่ตำแหน่งแถบดูดกลืน  $1324\text{ cm}^{-1}$  ของนิวเดียวชนิดแคลเซียมออกซาลेटโมโนไฮเดรต (COM)

| ตัวอย่างนิวที่ | % (COM/Unknown*) | ค่าความเข้มข้นที่ตำแหน่ง $1324\text{ cm}^{-1}$ ที่ได้จากกรคำนวณ | ค่าความเข้มข้นที่ตำแหน่ง $1324\text{ cm}^{-1}$ |         |
|----------------|------------------|---|--|---------|
|                |                  |   | SG filter                                      | MRA     |
| 19             | 96/4             | -0.0307   | -0.0281  | -0.0281 |
| 45             | 94/6             | -0.0300   | -0.0308  | -0.0308 |
| 73             | 96/4             | -0.0307   | -0.0319  | -0.0319 |
| 74             | 94/6             | -0.0300   | -0.0278  | -0.0290 |
| 80             | 96/4             | -0.0307   | -0.0303  | -0.0287 |
| 83             | 95/5             | -0.0304   | -0.0363  | -0.0346 |
| 110            | 88/12            | -0.0281   | -0.0409  | -0.0409 |
| 119            | 96/4             | -0.0307   | -0.0340  | -0.0340 |
| 150            | 89/11            | -0.0284   | -0.0110  | -0.0094 |
| 206            | 96/4             | -0.0307   | -0.0458  | -0.0458 |

\*Unknown คือส่วนผสมที่ไม่ทราบชนิด

จากตารางที่ 4.3 จะสังเกตได้ว่าตัวอย่างที่ 110 150 และ 206 มีค่าที่ได้จากการวัด ต่างจากค่าที่มาจากเส้นโค้งอ้างอิงมากกว่าตัวอย่างอื่นๆ และได้ผลเหมือนกันจากการใช้ตัวกรองทั้งสองวิธี โดยเมื่อทดลองนำตัวอย่างอินฟราเรดสเปกตรัมที่มีอัตราส่วนประกอบเท่ากัน ได้แก่ตัวอย่างที่ 19 73 80 และ 206 ไปวาดกราฟปรากฏว่าสเปกตรัมที่ได้จากตัวอย่างที่ 206 แตกต่างจากสเปกตรัมของตัวอย่างอื่นๆ ที่มีลักษณะคล้ายกัน ดังภาพประกอบ 4-37





ภาพประกอบ 4-37 zero-crossing-point first-derivative Infrared spectrum (SG)(COM)

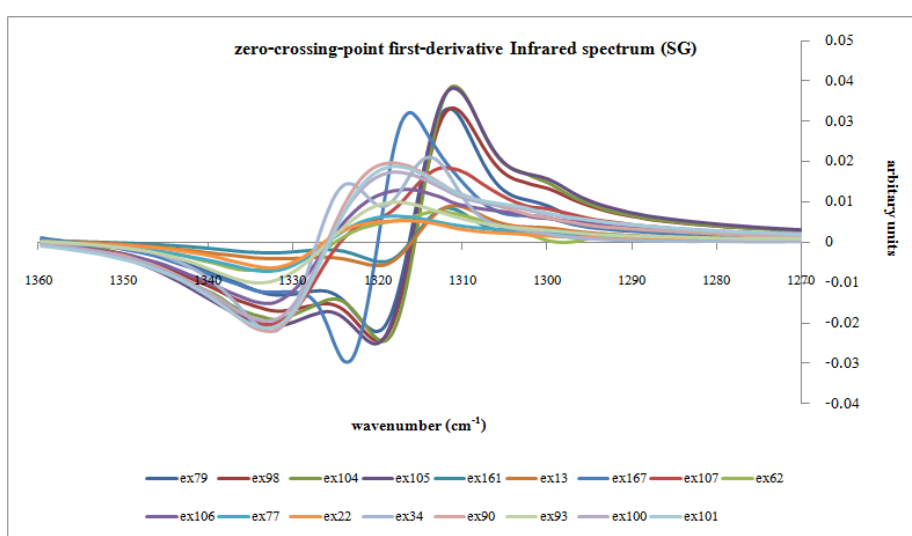
เมื่อนำผลจากตารางที่ 4.3 ไปประเมินค่า SEP พบว่าผลจากตัวกรองซาวิสกี-โกเลย์มีค่า SEP เท่ากับ 0.0086 ในขณะที่ผลจากวิธีวิเคราะห์หลายระดับความละเอียดมี ค่า SEP เท่ากับ 0.0088 จะเห็นว่าทั้งสองวิธีมีค่าความคลาดเคลื่อนใกล้เคียงกันมาก เนื่องจากความคลาดเคลื่อนเกิดจากตัวอย่างนี้เหมือนกัน โดยเป็นผลมาจากลักษณะของอินฟราเรดสเปกตรัมเอง จากนั้นทำการทดลองกับอินฟราเรดสเปกตรัมของนิวชนิดผสมทั้ง 17 ตัวอย่างที่มีอัตราส่วนประกอบแตกต่างกันไปดังตารางที่ 4.2 มาหาตำแหน่งจุดตัดผ่านศูนย์จาก วิธีตัวกรองซาวิสกี-โกเลย์และ วิธีวิเคราะห์สัญญาณแบบหลายระดับความละเอียด เมื่อเปรียบเทียบค่าความเข้มข้นที่ตำแหน่งความถี่ 1324 cm<sup>-1</sup> ของตัวอย่างนี้ทั้ง 17 ข้อมูลกับค่าที่ได้จากการคำนวณค่าตามเส้นโค้งเปรียบเทียบ สามารถแสดงได้ดังตารางที่ 4.4 โดยเรียงลำดับจากตัวอย่างนี้ที่มีส่วนผสมของนิวเคลซียมออกซาลेटโมโนไฮเดรตในอัตรา ร้อยละจากมากไปหาน้อย

ตารางที่ 4.4 ค่าความเข้มข้นที่ตำแหน่ง  $1324\text{ cm}^{-1}$  ของนิวคลีอสมชนิดแคลเซียมออกซาลेटโมโนไฮเดรต (COM) และนิวคลีอสมชนิดแคลเซียมออกซาลेटไดไฮเดรต (COD)

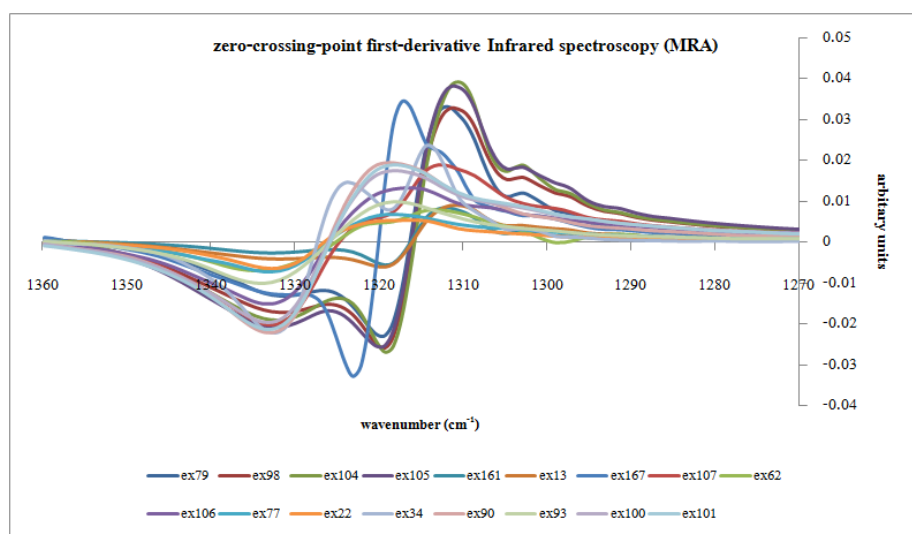
| ตัวอย่างนี้วี่ | % (COM/COD) | ค่าความเข้มข้นที่ตำแหน่ง $1324\text{ cm}^{-1}$ ที่ได้จากการคำนวณ | ค่าความเข้มข้นที่ตำแหน่ง $1324\text{ cm}^{-1}$ |         |
|----------------|-------------|--|--|---------|
|                |             |  | SG filter                                      | MRA     |
| 79             | 84/12       | -0.0268  | -0.0144  | -0.0138 |
| 98             | 84/10       | -0.0268  | -0.0168  | -0.0161 |
| 104            | 84/12       | -0.0268  | -0.0147  | -0.0138 |
| 105            | 84/12       | -0.0268  | -0.0187  | -0.0181 |
| 161            | 73/21       | -0.0233  | -0.0022  | -0.0020 |
| 13             | 72/22       | -0.0230  | -0.0040  | -0.0039 |
| 167            | 62/29       | -0.0198  | -0.0294  | -0.0291 |
| 107            | 31/63       | -0.0099  | 0.0011   | 0.0014  |
| 62             | 20/70       | -0.0064  | 0.0014   | 0.0015  |
| 106            | 14/80       | -0.0044  | 0.0049   | 0.0050  |
| 77             | 12/82       | -0.0038  | 0.0029   | 0.0029  |
| 22             | 10/81       | -0.0032  | 0.0030   | 0.0031  |
| 34             | 10/80       | -0.0032  | 0.0141   | 0.0145  |
| 90             | 10/84       | -0.0032  | 0.0090   | 0.0091  |
| 93             | 10/84       | -0.0032  | 0.0036   | 0.0037  |
| 100            | 10/80       | -0.0032  | 0.0073   | 0.0073  |
| 101            | 10/81       | -0.0032  | 0.0073   | 0.0074  |

เมื่อนำผลที่ได้จากตารางที่ 4.4 ไปประเมินค่าความผิดพลาดที่เกิดขึ้น พบว่าผลจากตัวกรองชาวีสกี-โกเลียมี่ค่า SEP เท่ากับ 0.0129 ในขณะที่ผลจากวิธีวิเคราะห์หลายระดับความละเอียดมีค่า SEP เท่ากับ 0.0127 จะเห็นว่าผลการทดลองจากทั้งสองวิธีให้ผลการประเมินค่าความผิดพลาดที่ใกล้เคียงกันมาก เหมือนกับผลการทดลองในนิวคลีอสมชนิดแคลเซียมออกซาลेटโมโนไฮเดรตที่เป็นนิวคลีอเดียมเดี่ยว และจะสังเกตเห็นว่าตัวอย่างนี้วี่ที่มีปริมาณของนิวคลีอสมชนิดแคลเซียมออกซาลेटไดไฮเดรตสูงกว่า จะมีค่าความเข้มข้นที่ความถี่  $1324\text{ cm}^{-1}$  เป็นค่าบวก เนื่องมาจากตำแหน่งที่ตัดผ่านศูนย์เป็นตำแหน่งที่สูง

กว่าความถี่  $1324\text{ cm}^{-1}$  ดังแสดงในภาพประกอบ 4-38 และภาพประกอบ 4-39 ซึ่งมักเกิดขึ้นได้เนื่องจากปริมาณองค์ประกอบที่ต่างกันของนิวชนิดผสม ตัวอย่างเช่น ตำแหน่งความถี่  $1316\text{ cm}^{-1}$  ของนิวเคลซียมออกซาลेटโมโนไฮเดรตสามารถเลื่อนอยู่ในช่วงความถี่ตั้งแต่  $1314\text{--}1320\text{ cm}^{-1}$  ได้ ในขณะที่ตำแหน่งพิกที่ความถี่  $1324\text{ cm}^{-1}$  ของนิวเคลซียมออกซาลेटไดไฮเดรต ก็สามารถเลื่อนอยู่ในช่วงความถี่  $1326\text{ cm}^{-1}$  ขึ้นไปได้เช่นกัน [17] ดังนั้นเป็นไปได้ว่าการวัดค่าความเข้มข้นที่ตำแหน่ง  $1324\text{ cm}^{-1}$  อาจจะไม่ใช่ตำแหน่งพิกที่แท้จริงที่ใช้ในการวัดค่าความเข้มข้นของนิว



ภาพประกอบ 4-38 zero-crossing-point first-derivative Infrared spectrum (SG)



ภาพประกอบ 4-39 zero-crossing-point first-derivative Infrared spectrum (MRA)

จากผลการทดลองเรื่องการแปลผลเชิงคุณภาพของนิวชนิดผสมนั้น พบว่าตัวอย่างนี้ที่ 107 ที่มีปริมาณนิวเคลซีมออกซาลेटโมโนไฮเดรต ต่อนิวเคลซีมออกซาลेटไดไฮเดรต เท่ากับ 62/29 ปรากฏพิกจำนวนสองพิกในช่วงความถี่  $1300\text{ cm}^{-1}$  ได้แก่ที่ความถี่  $1318$  และ  $1327.5\text{ cm}^{-1}$  ดังภาพประกอบ 4-28 เมื่อทดลองใช้ตำแหน่งพิกที่ที่ความถี่  $1327.5\text{ cm}^{-1}$  ในการวัดค่าความเข้มข้นของนิวตัวอย่างนี้ ผลปรากฏว่ามีค่าเท่ากับ  $-0.0110$  absorbance unit ซึ่งมีค่าใกล้เคียงกับค่าที่ได้จากเส้นโค้งเปรียบเทียบมากกว่าการวัดค่าความเข้มข้นจากตำแหน่ง  $1324\text{ cm}^{-1}$  โดยให้ผลเช่นเดียว กันจากทั้งสองวิธีตัวกรองสัญญาณรบกวน อีกหนึ่งตัวอย่างคือนิวตัวอย่างที่ 62 ซึ่งมีปริมาณนิวเคลซีมออกซาลेटโมโนไฮเดรต ต่อนิวเคลซีมออกซาลेटไดไฮเดรต เท่ากับ 20/70 ก็แสดงพิกในช่วงความถี่  $1300\text{ cm}^{-1}$  จำนวน 2 พิก ได้แก่ที่ความถี่  $1318$  และ  $1328.83\text{ cm}^{-1}$  เมื่อวัดค่าความเข้มข้นตรงตำแหน่งความถี่  $1328.83\text{ cm}^{-1}$  พบว่าตัวกรองซาวีสกี- โกลีย์วัดค่าความเข้มข้น ได้เท่ากับ  $-0.0040$  absorbance unit ในขณะที่การกรองด้วยวิธีหลายระดับความละเอียดวัดค่าความเข้มข้น ได้เท่ากับ  $-0.0048$  absorbance unit ซึ่งมีค่าใกล้เคียงกับค่าที่ได้จากเส้นโค้งเปรียบเทียบอ้างอิง

## บทที่ 5

### สรุปผลการทดลองและข้อเสนอแนะ

จากการศึกษาข้างต้นสามารถสรุปผลการทดลองตามหัวข้อดังนี้

#### 5.1 การวิเคราะห์และสรุปผลการทดลอง

##### 5.1.1 ผลการประมวลผลสัญญาณขั้นต้น

ลักษณะของตัวอย่างอินฟราเรดสเปกตรัมตั้งต้นที่นำมาใช้ในการทดลองนั้นมีลักษณะของการยกตัวของเส้นแนวโน้ม เมื่อนำอินฟราเรดสเปกตรัมตั้งต้นไปหาค่า SNR พบว่ามีค่าเท่ากับ 38.14 ซึ่งเป็นค่าที่ไม่ได้สูงหรือต่ำจนมากนัก แต่เมื่อนำอินฟราเรดสเปกตรัมเข้าสู่ขั้นตอนการกำจัดเส้นแนวโน้มด้วยวิธีการทำอนุพันธ์อันดับหนึ่ง พบว่าสเปกตรัมที่ผ่านการทำอนุพันธ์แล้วจะมี artifact peaks เกิดขึ้นจำนวนมาก ซึ่งผลจากขั้นตอนการทำอนุพันธ์นี้จะนำไปใช้ในการแปลผลเชิงคุณภาพและปริมาณ ดังนั้นการมี artifact peaks ปรากฏอยู่บนสเปกตรัมจะทำให้การแปลผลนั้นยากและเกิดความผิดพลาดได้ จึงได้มีการกำจัดสัญญาณรบกวน ในขั้นตอนของการปรับเส้นเรียบ ในขั้นตอนนี้ได้นำวิธีการกรองสัญญาณ 2 วิธีมาทำการเปรียบเทียบเพื่อดูว่าวิธีการใดให้ผลการกำจัดสัญญาณรบกวนได้ดีกว่ากัน วิธีที่ใช้ได้แก่ วิธีตัวกรองซาวีตกี-โกเลย์ และวิธีวิเคราะห์หลายระดับ ความละเอียดซึ่งเป็นการวิเคราะห์ความถี่ของสัญญาณ จากผลการทดลอง พบว่าตัวกรองซาวีตกี-โกเลย์ พหุนามดีกรี 2 และขนาดหน้าต่างพิจารณาเท่ากับ 5 ตำแหน่งนั้นให้ผลการวัดค่า SNR มากที่สุดในขณะที่การวิเคราะห์หลายระดับความละเอียดนั้นให้ผลการวัดค่า SNR ดีที่สุดเมื่อใช้เวฟเล็ต Duabechies08(L2) โดยที่ขนาดของพิกของสเปกตรัมไม่มีการเปลี่ยนแปลง

##### 5.1.2 ผลการแปลผลเชิงคุณภาพ

การแปลผลเชิงคุณภาพ ในกรณีของนิวชนิดเดียว พบว่า ผลการระบุตำแหน่งพิกที่ได้จากอินฟราเรดสเปกตรัมตั้งต้น มีเปอร์เซ็นต์การ ระบุตำแหน่งพิก ของนิวแต่ละชนิดได้ถูกต้องมากกว่า การระบุตำแหน่งพิกจาก อินฟราเรดสเปกตรัมเมื่อผ่าน การทำอนุพันธ์อันดับสองแล้ว เนื่องจากในบางตำแหน่งพิกที่มีค่าความเข้มขั้นต่ำๆ การทำอนุพันธ์จะทำให้ค่าความเข้มขั้นลดลงจนเกือบเท่าศูนย์ ทำให้เครื่องมือในการระบุตำแหน่งพิกไม่สามารถจับตำแหน่งดังกล่าวได้

กลับกันกับกรณีของนิวชนิดผสม พบว่า การระบุตำแหน่งพีคจาก อินฟราเรดสเปกตรัมตั้งต้นไม่สามารถชี้ชัดได้ว่าเป็นนิวผสมชนิดใด เนื่องจากตำแหน่งพีคที่สามารถระบุได้ เป็นตำแหน่งพีคที่เกิดจากนิวชนิดที่มีปริมาณมากกว่า นอกจากนั้นก็ไม่สามารถระบุตำแหน่งพีคที่ซ้อนทับกันอยู่ได้ แต่เมื่อแปลผลจากอินฟราเรดสเปกตรัมที่ผ่านการทำอนุพันธ์อันดับสองแล้วพบว่า สามารถระบุตำแหน่งพีคสำคัญของนิวส่วนประกอบทั้งสองชนิดได้ ดังนั้นจึงสามารถระบุได้ว่าเป็นอินฟราเรดสเปกตรัมของนิวผสมชนิดใด

### 5.1.3 ผลการการแปลผลเชิงปริมาณจากจากวิธี **zero-crossing first-derivative** และการประเมินค่า **Standard Error of Performance (SEP)**

ในการทดลองนี้เป็นการหาค่าความเข้มข้นที่ได้จากตำแหน่งความถี่ที่  $1324\text{ cm}^{-1}$  จากขั้นตอนการทำอนุพันธ์อันดับหนึ่ง เพื่อหาอัตราส่วนประกอบระหว่างนิวผสมชนิดแคลเซียมออกซาลेट โมโนไฮเดรต และนิวแคลเซียมออกซาลेट ไดไฮเดรต เนื่องจากตำแหน่งดังกล่าวเป็นตำแหน่งที่ใช้ยืนยันว่าเป็นนิวชนิดแคลเซียมและยังเป็นตำแหน่งที่ปรากฏให้เห็นอย่างเด่นชัดในทุกๆ ตัวอย่าง การทดลอง ไม่ว่าจะในสเปกตรัมของนิวชนิดเดี่ยว หรือในสเปกตรัมของนิวชนิดผสม โดยค่าที่ได้จากการทดลองจะถูกนำไปเปรียบเทียบกับค่าที่ได้จากเส้นโค้งเปรียบเทียบ ในบทความอ้างอิง [17] ซึ่งเป็นผลของการทดลองจากอินฟราเรดสเปกตรัมของนิวชนิดผสมที่เกิดจากการสังเคราะห์ในอัตราส่วนที่ต่างกัน ในขั้นตอนแรกได้ใช้ตัวอย่างของนิวชนิดเดี่ยว ชนิดแคลเซียมออกซาลेट โมโนไฮเดรตพบว่าผลจากวิธีตัวกรองซาวีสกี-โกเลย์มีค่า SEP เท่ากับ 0.0086 ในขณะที่ผลจากวิธีวิเคราะห์หลายระดับความละเอียดมีค่า SEP เท่ากับ 0.0088 ซึ่งทั้งสองวิธีให้ค่า SEP ที่น้อยมาก แสดงว่าค่าความเข้มข้นที่ได้จากการวัด และค่าที่ได้จากเส้นโค้งเปรียบเทียบมี ค่าใกล้เคียงกัน จากนั้นทำการทดลองในกรณีของนิวชนิดผสมพบว่า มีค่า SEP **สูงกว่า 80%** ซึ่งมากกว่าในกรณีที่เปรียบเทียบโดยนิวชนิดเดี่ยวมาก เนื่องจากนิวชนิดผสม ที่มีปริมาณส่วนประกอบไม่เท่ากัน จะทำให้พีคมีตำแหน่งแตกต่างกันออกไป ทำให้ตำแหน่งพีค  $1324\text{ cm}^{-1}$  ที่เป็นพีคของนิวชนิดแคลเซียมออกซาลेट ไดไฮเดรต ไม่ใช่ตำแหน่งแท้จริงที่ใช้ในการวัด

แต่จากการทดลองเรื่องการแปลผลเชิงคุณภาพ จากการทำอนุพันธ์อันดับสอง พบว่าในตัวอย่างที่ 107 และ 62 ซึ่งปรากฏพีคจำนวน 2 พีคและเป็นตำแหน่งพีคที่แสดงถึง นิวชนิดโมโนไฮเดรต และไดไฮเดรต เมื่อวัดค่าความเข้มข้นที่ตรงกับตำแหน่งพีคของนิวแคลเซียมออกซาลेट ไดไฮ

เดรต ผลปรากฏว่าค่าที่ได้สอดคล้องกับค่าจากเส้นโค้งเปรียบเทียบอ้างอิงมากกว่า นอกจากนั้นจากการทดลองขั้นต้นพบว่า สเปกตรัมจะแสดง พีค 2 พีคที่มีความถี่  $1300\text{ cm}^{-1}$  ก็ต่อเมื่อมีปริมาณขององค์ประกอบของนิวแต่ละชนิดมากกว่า 20% ต่อน้ำหนัก

## 5.2 ปัญหาและข้อเสนอแนะ

### 5.2.1 ปัญหา

ตัวอย่างข้อมูลอินฟราเรดสเปกตรัมที่จะนำมาใช้ในการวิเคราะห์มีจำนวนน้อย จึงทำให้การทดลองไม่ครอบคลุมทั้งหมด นอกจากนั้นยังพบว่าการบอกตำแหน่งความถี่ที่เกิดพีคของนิวแต่ละชนิดจากอ้างอิงนั้น จะอยู่ในรูปของความถี่ ช่วงกว้าง ทำให้การกำหนดช่วงความถี่เพื่อให้ระบุตำแหน่งการเกิดพีคเพียงชนิดใดชนิดหนึ่งอย่างชัดเจนนั้นทำได้ยาก เนื่องจากหมู่ฟังก์ชันที่ต่างชนิดกันอาจมีบางช่วงความถี่ที่ซ้อนทับกัน ทำให้การแปลผลผิดพลาดได้ ดังนั้นจึงต้องใช้การอ้างอิงจากหลายแหล่ง เพื่อให้ได้ตำแหน่งการเกิดพีคในช่วงที่ถูกต้องที่สุด นอกจากนั้นการแปลผลเชิงปริมาณในช่วงที่ผ่านมาเป็นการทดลองจากอินฟราเรดสเปกตรัมของนิวที่เกิดจากการสังเคราะห์ขึ้นเองโดยผู้ทดลอง ตัวแปรที่เกิดขึ้นจึงมีจำนวนน้อยกว่าการทดลองกับนิวที่เป็นนิวที่เกิดโดยธรรมชาติ เช่น นิวชนิดผสมที่ถูกสร้างขึ้นจากนิวชนิดเดียวสองชนิดนั้น ก็จะให้ผลของอินฟราเรดสเปกตรัมที่เกิดจากนิวสองชนิดนั้นเท่านั้น แต่สำหรับนิวผสมที่เกิดขึ้นในธรรมชาตินั้น จะมีส่วนประกอบของนิวที่มากกว่าสองชนิดปะปนอยู่ ทำให้การแปลผลนั้นยุ่งยากและซับซ้อนกว่ามาก

### 5.2.2 ข้อเสนอแนะ

จากการทำงานวิจัยที่ผ่านมาพบว่า ควรมีตัวอย่าง อินฟราเรดสเปกตรัมที่ใช้ ในการทดลองปริมาณที่มากพอและหลากหลาย เพื่อให้ผลการทดลองครอบคลุมและแม่นยำมากกว่า โดยเฉพาะในกรณีของนิวชนิดผสม นอกจากนั้นในปัจจุบันยังไม่มีงานวิจัยเกี่ยวกับนิวชนิดผสมตัวอื่นๆ ซึ่งโดยส่วนมากเป็นการจำแนกนิวชนิดผสมในกรณีนิวออกซาลेट โมโนไฮเดรตและไดไฮเดรตเท่านั้น แต่ในปัจจุบันนิวผสมชนิดแคลเซียมออกซาลेटกับนิวอะพาไทต์ ก็มีจำนวนมากขึ้น ดังนั้นอาจใช้แนวทางในการวิจัยของนิวผสมชนิดแคลเซียมเพื่อศึกษานิวชนิดผสมอื่นๆ ต่อไป

## บรรณานุกรม

- [1] จำนวนและอัตราผู้ป่วยนอกตามกลุ่มสาเหตุ . (Online). Available: <http://bps.ops.moph.go.th/healthinformation/index2.html> [Apr, 2011]
- [2] พิชรินทร์ ชนะพาน์, “ปัจจัยเสี่ยงของโรคนิ่วในไต: ประเด็นของสารแคลเซียมและออกซาเลต ,” *สงขลานครินทร์เวชสาร.*, vol. 29, no. 6, 2011
- [3] มณฑิรา มฤคทัต , นีวโนทางเดินปัสสาวะ , ประเทศไทย : คณะแพทยศาสตร์ มหาวิทยาลัยสงขลานครินทร์, หน้า 7 – 61, 2545
- [4] G. S. Popescu, I. Ionescu, R. Grecu, and A. Preda, “The use of infrared spectroscopy in the investigation of urolithiasis,” *REV ROMANA MED LAB.*, vol. 18, 2010
- [5] Jose R. G. and Jorge A. G.. “Infrared and Raman studies on renal stones: the use of second derivative infrared spectra,” *Urol Res.*, vol. 38, pp. 383-390, 2010
- [6] ศูนย์เครื่องมือวิทยาศาสตร์ : อัตราค่าบริการวิชาการของศูนย์เครื่องมือวิทยาศาสตร์ . (Online) Available: <http://www.sec.psu.ac.th/index2.php> [Feb, 2011]
- [7] พิมพิจิต ดามพวรรณ และวัชรินทร์ รุกขไชยศิริกุล , สเปกโทรสโกปีของสารอินทรีย์, ประเทศไทย: ภาควิชาเคมี คณะวิทยาศาสตร์ มหาวิทยาลัยสงขลานครินทร์, 2550
- [8] T. Lan, Y. Fang, W. Xiong, and C. Kong, “Automatic baseline correction of infrared spectra,” *CHIN OPT LETT.*, vol. 5, no. 10, 2007
- [9] G. Schulze, A. Jirasek, M. M. Yu, A. Lim, R. F. Turner, and M. W. Blades, “Investigation of selected baseline removal techniques as candidates for automated implementation,” *Appl Spectrosc.*, vol. 59, no. 5, pp. 545-74, 2005
- [10] W. Boyong, and G. W. Small, “Wavelet analysis used for spectral background removal in the determination of glucose from near-infrared single-beam spectra,” *Anal Chim Acta.*, vol. 681, pp. 1-2, 2011
- [11] E. Izaskun, A.E. Jose and Jose Luis R. Arrondo, “Removal of spectral noise in the quantitation of protein structure through infrared band decomposition”. *Biospet.*, Vol. 3, pp. 469-475, 1997



- [12] M. Bos and J.A.M. Vrieling, "The wavelet transform for pre-processing IR spectra in the identification of mono- and di-substituted benenes". *Chem. And ILS.*, Vol. 23, pp. 115-122, 1994
- [13] R. Davis, and L. J. Mauer, "Fourier transform infrared (FTIR) spectroscopy: A rapid tool for detection and analysis of foodborne pathogenic bacteria," *FORMATEX.*, pp. 1582-1594, 2010
- [14] S. Sankaran, "Mid-infrared spectroscopy for detection of Huanglongbing(greening) in citrus leaves," *Talanta.*, vol. 83, pp. 574-581, 2010
- [15] M. Kokalj, R. Metka, and S. Kreft, "Commonly applied smoothing of IR spectra showed unappropriate for the identification of plant leaf samples," *CHEMOMETR INTELL LAB.*, vol. 108, pp154-161, 2011
- [16] L.G. Jose, O. Emma, G. N. Jose, and P. H. Valentin, "Moving Average and Savitzki-Golay Smoothing Filters Using Mathcad," *ICEE.*, 2007
- [17] M. E. Laurence, P. Levillain, B. Lacour, and M. Daudon, "Advantage of zero-crossing-point first-derivative spectrophotometry for the quantification of calcium oxalate crustalline phases by infrared spectrophotometry," *Clinica Chimica Acta.*, vol. 298, pp. 1-11, 2000
- [18] M. Volver, B.G. Wolthers, H.J. Meeting, T. H. Y. de Haan, P. M. J. Coenegrach, and W. vander Slik, "Artificial neural network predictions of urinary calculus compositions analyzed with infrared spectroscopy," *Clin Chem.*, vol. 40, no. 9, pp. 1692-1697, 1994
- [19] A. Taulier, P. Levillain, and A. Lemonnier, "Determining Methemoglobin in Blood by Zero-Crossing-Point First-Derivative Spectrophotometry," *Clin Chem.*, vol. 33/10, pp. 1767-1770, 1987
- [20] How to Cure Kidney Stones at home. (Online) Available: <http://www.curemanual.com/diseases-and-tweaks/how-to-cure-kidney-stones-at-home> [Jul, 2011]
- [21] Analysis of Urinary calculi using infrared spectroscopic imaging. (Online) Available: <http://kb.osu.edu/dspace/handle/1811/38030?show=full> [Jul, 2011]
- [22] Clinical Laboratory Diagnostics of the future about non-invasive tool to diagnosis endometriosis. (Online) Available: <http://clin-lab.blogspot.com> [Jul, 2011]

- [23] Infrared spectroscopy (FTIR). (Online) Available: <http://www.andersonmaterials.com/ftir.html> [Feb, 2010]
- [24] P. Cochat, V. Pichault, J. Bacchetta, L. Dubourg, J. F. Sabot, C. Saban, M. Daudon, and A. Liutkus, "Nephrolithiasis related to inborn metabolic diseases," *Pediatr Nephrol.*, vol. 25(3), pp.415-424, 2010
- [25] B.C. Smitch, "Fundamentals of fourier transform infrared spectroscopy (second edition)," *Taylor and Francis Group.*, 2010
- [26] S. Barbara, *Infrared spectroscopy: fundamentals and applications, Analytical Techniques in the Sciences*, 2004
- [27] ไวยากรณ์ แสนสุข, การตรวจจับพอลิซันนิคิมพิแดนซ์สูงด้วยไมโครคอนโทรลเลอร์โดยใช้การแปลงเวฟเลตและการแปลงฟูริเยร์ช่วงสั้น , ประเทศไทย : ภาควิชาวิศวกรรมคอมพิวเตอร์ มหาวิทยาลัยเชียงใหม่, 2552
- [28] M. Bos, and J. A. M. Vrieling, "The wavelet transform for pre-processing IR spectra in the identification of mono- and di-substituted benzenes," *Chemometrics and Intelligent Laboratory System*, vol. 23, pp. 115-122, 1994
- [29] H. Shen, J. Wang, Y. Liang, K. Pettersson, J. G. Mats, L. F. Johan, "Chemical rank estimation by multiresolution analysis for two-way data in the presence of background," *CHEMOMETR INTELL LAB.*, vol. 37, pp. 261-269, 1997
- [30] LabVIEW: wavelet analysis tools user manual, USA, 2008
- [31] Numerical recipes in fortran 77: The art of scientific computing. (Online) Available: [www.wire.tu-bs.de/OLDWEB/mameyer/cmr/savgol.pdf](http://www.wire.tu-bs.de/OLDWEB/mameyer/cmr/savgol.pdf) [Jul, 2014]
- [32] Advanced preprocessing: noise, offset, and baseline filtering. (Online) Available: <http://wiki.eigenvector.com> [Sep, 2012]
- [33] M. Howard, and Jr. Jerome Workman, "Derivative in spectroscopy," *Spectroscopy.*, Vol. 18, no. 4, 2003

[34] A. Hesse, and G. Sanders, "Atlas of Infrared spectra for the Analysis of Urinary Concrement," *Georg Thieme Verlag Stuttgart.*, 1988

[35] ณรงค์พันธุ์ รัตนปนัดดา, "การใช้เทคนิค Near Infrared Spectroscopy (NIRS) ในการหาความชื้นและโปรตีนของแป้งสาลี," *SDU Res J.*, vol. 2(1), pp. 1-14, 2009

ภาคผนวก

## Automated Expert System for Urolithiasis Classification from Infrared Spectrogram

Jiaranai Ponnui\* Sawit Tanthanuch<sup>1</sup> Pornchai Phukpattaranont<sup>2</sup> Booncharoen Wongkittisuksa<sup>3</sup>  
<sup>1,2,3</sup> Department of Electrical Engineering, Faculty of Engineering, Prince of Songkla University,  
Hat Yai, Songkhla 90112  
E-mail: pnnui.j@gmail.com\*

### Abstract

This paper proposes a study of wavelet transform analysis for the urolithiasis classification. Calcium oxalate monohydrate (whewellite) stone and calcium oxalate dihydrate (weddellite) stone are used for the classification processing. Two methods are applied to indicating the differentiation of infrared spectrum, which are used the Daubechies wavelets transform with a difference order (db04, db07 and db08). The first method is multiresolution analysis (MRA). This method is the powerful tool to decompose high and low frequency components of spectrum. The second method is detrend analysis. The results show that Daubechies wavelet with order 4 (trend level = 0.125) in detrend analysis is more accurate and correct than MRA. Detrend analysis method achieves to identify peak positions of frequency correctly 6 from 7 positions in both of whewellite and weddellite while only 5 positions in whewellite infrared spectrum and 6 positions in weddellite infrared spectrum are obtained from MRA method.

**Keywords:** Urinary stones, Infrared spectroscopy, Wavelet transform, Detrend analysis, Multiresolution analysis (MRA)

### 1. Introduction

Urinary tract stone disease is the most frequently found in Thai people, and tends to increase every year. Especially, the number of the disease in North West of Thailand is increased to 10-16% every year [1]. The treatment of urinary stone has 2 purposes. The first purpose is to remove a stone out. The second purpose is important step in treatment that prevents recurrent urinary stone attacks. The knowledge of chemical component of urinary stones is very important for recurrent prevention because the recurrence rate is more than 50% [2]. Each stone is different in shape, textures, size and the rate of increase. Currently, the urinary stone analysis techniques that has been accepted and used for diagnosis reference are X-ray diffraction technique and infrared spectroscopy technique. The widely used technique is infrared spectroscopy. It is requires minimal sample volume for analysis [2] and uses lower cost than X-ray diffraction technique in the equal weight index [3]. Types of stone are composed of same major component form an absorption band in

the same frequency position such as calcium stone. The interpretation for identifying the component used a specialist. Therefore, this paper provides the automated expert system for urolithiasis classification from infrared spectrogram. Initially this system approach to identify types of calcium stone in qualitative analysis by using the wavelet transforms.

### 2. Theory

#### 2.1 Infrared Spectroscopy

Infrared spectroscopy is one of techniques to be used for identification of the substance by specifying a structure or quantity of a compound. Infrared spectroscopy is a measurement technique that relies on light absorption at various frequencies of molecule and then converted to energy for stimulating bonds to vibratory [4]. The energy of an electron in the molecule is distributed throughout the molecules. It is according to the Planck's equation,

$$E = hv, \quad (1)$$

where 'E' is the energy (J), 'v' is the fundamental vibration frequency and 'h' is Planck's constant ( $6.626 \times 10^{-34}$  J-s), respectively [5]. The phenomenon is recorded as infrared spectrum. The characteristic of infrared spectrum is more complex and superimpose because the vibration energy component is a higher energy term and corresponds to the absorption of energy by molecules.

Interpretation of infrared spectrum includes of qualitative and quantitative analysis. Qualitative analysis is used to identify types of molecules from the peak positions and the mass of each of molecular function in the stone explained by quantitative measurement.

#### 2.2 Calcium Stone

Most stones are composed of calcium or a combination of calcium and oxalate. There are 2 categories similarly infrared spectrum. The first category is calcium oxalate monohydrate whose chemical structure is  $\text{CaC}_2\text{O}_4 \cdot \text{H}_2\text{O}$ . The second category is calcium oxalate dehydrate in which the chemical structure is  $\text{CaC}_2\text{O}_4 \cdot 2\text{H}_2\text{O}$  [6]. Molecules of both substances have two carbon atoms and one calcium atom. The only difference is that calcium oxalate dehydrate is independently associated with two water molecules, whereas the monohydrate is

associated with one water molecule [7]. The important of peak frequency positions were compared with urinary stone reference as shown in table 1.

Table 1 Characteristics and peak positions of urinary's infrared spectrum.

| characteristics<br>band                       | peak positions (cm <sup>-1</sup> ) |            |
|---|------------------------------------|------------|
|   | whewellite                         | weddellite |
| O-H stretching vibration                      | 3438                               | 3448       |
| C=O group stretching vibration                | 1619                               | 1638       |
| symmetrical stretching vibration of C=O group | 1315                               | 1326       |
| weak absorption band vibrations of O-H group  | 886                                | 915        |
| C=O group vibration of O-H group              | 780                                | 777        |
| vibration of O-H group                        | 660                                | 610        |
| vibration of C=O group                        | 518                                | 518        |

This is peak frequency position reference from EZ OMNIC program

### 2.3 Wavelet transform

The wavelet is a tool that is useful in feature extraction applications. It is representation by wavelets that have different scales and translation [8]. Function of wavelet transform developed from Fourier transform basis is

$$\Psi_{a,b}(t) = \frac{1}{\sqrt{a}} \Psi\left(\frac{t-b}{a}\right), \quad (2)$$

where the parameter 'a' is the scaling vector and 'b' is the translation factor, consequently. Wavelet analysis method provided to multiresolution analysis (MRA) is used to analyze signals containing both low frequency components and high frequency components [9]. Low frequencies component is called 'Approximation' and high frequencies component is called 'Detail'. MRA also removed unwanted component in the signal like a filter [10].

The second method for removing base line of the signals is a detrend analysis. An internal parameter called trend level is required for baseline removal [11]. The trend level is calculated as follows

$$LEVEL_{(trend)} = \left[ \frac{\log_2 2t}{\log_2 N} \right], \quad (2)$$

where 't' is the sampling duration and 'N' is the number of sampling points in t time [12]. As well as MRA, detrend analysis method were applied filtering method to decompose low and high frequency components. Low frequency component is called 'trend' and high frequency component is called 'detrend' [13].

Since 1989, the wavelet transform-based techniques have been applied to the chemical signal processing [14]-[15] because wavelets are localized in

both the time and frequency domain. Hence, wavelet signal processing is suitable for nonstationary signals whose spectral content changes over the time. Wavelets were employed in the various fields of analytical chemistry, especially to the infrared spectrum [16]-[17], the spectral data in the wavelength domain instead of the frequency domain [15]. Each family in the wavelet transform has a different in shape. Hence, selecting wavelets family, which matches the signal to be processed, is very important in the wavelet applications.

### 3. Material and Methods

This paper used LabVIEW version 8.6 (Advanced signal processing toolkit) for implementation. Multiresolution and detrend analysis tools are used to decompose high and low frequency component as shown in figure 1.

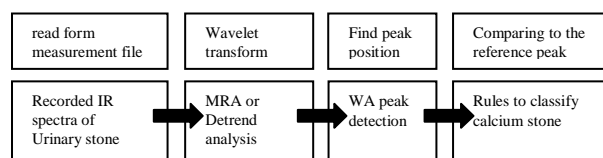


Figure 1. System block diagram

Sample infrared spectrum data were collected from Songklanagarind hospital on EZ OMNIC program in 2004. This program was used for interpreting urinary spectral components. Stone analysis was performed in 12 data. Urinary infrared spectrums are used as the input of this system. These inputs are read using Read from Measure File.VI in .txt format.

The Daubechies wavelet family is similar in shape to infrared spectral [16]. The Duabechies function order 4, 7 and 8 is suitable for infrared spectral analysis because the error occurred less than other orders in the Duabechies function [18]. The Daubechies wavelet was obtained using the order 4, 7 and 8 for both of methods. The trend level is 0.125. Then, the wavelet analysis peak detection VI is used to detect peak points by specifying proper width and threshold. Width specifies the width in number of samples. This VI coerces the value to a power of 2. The proper width in this method is 64 (trial and error method). Threshold specifies the value to reject peaks or valleys of a particular size. For the methods that look for valleys of spectra, threshold value was obtained from highest value according to %Transmission on y axis. Hence, the threshold value is 100. Otherwise, for the methods that look for peaks, the threshold value is 1. Width and threshold values are the same for all test data.

### 4. Experimental results

#### 4.1 Multiresolution analysis

Figure 2 and figure 3 show the result of approximation coefficient and detail with level 4 of whewellite and weddellite, respectively. According to a figure 2 and figure 3, 'X' marker is the peak

frequency positions that the wavelet analysis peak detector can be detected. These results are correct and accurate in approximation coefficient level 4 but peak positions in detail are nearly position because of a characteristic of the Daubechies wavelets. Hence, the wavelet analysis detector cannot specify only correct peak of spectrum.

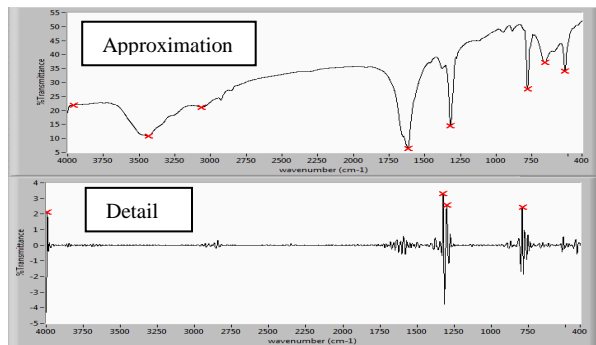


Figure 2. Results of MRA from Whewellite

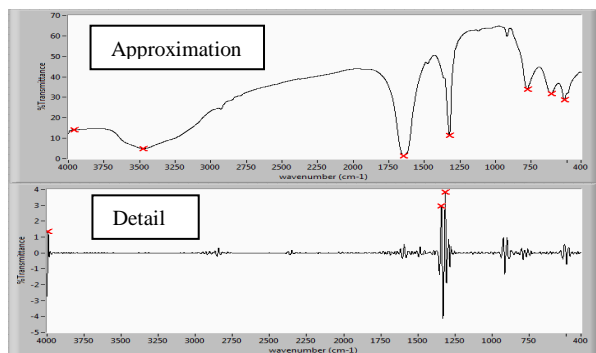


Figure 3. Results of MRA from weddellite

#### 4.2 Detrend analysis

Figure 4 and figure 5 show detrend analysis results in whewellite and weddellite, respectively. Each figure shows the trend signal and detrend signal. Peak positions from detrend signal have been used to compare to the reference peak positions from EZ OMNIC program.

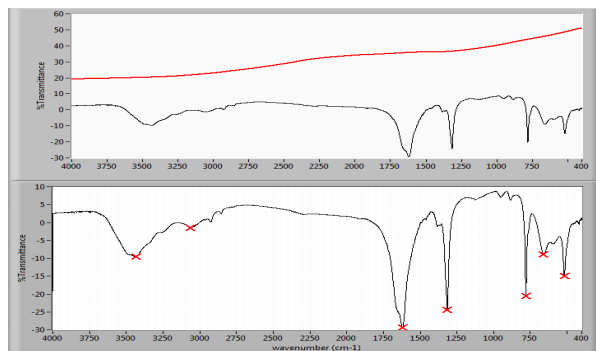


Figure 4. Results of detrend analysis from whewellite

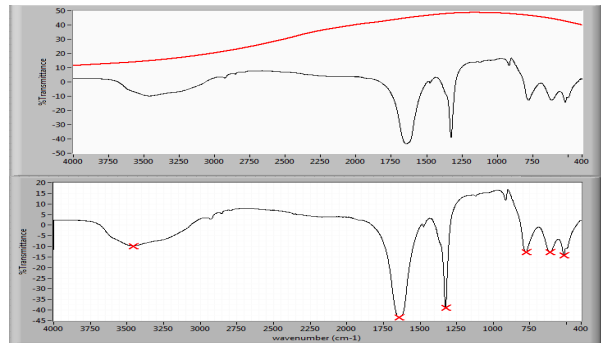


Figure 5. Results of detrend analysis from Weddellite

#### 4.3 Validation of output

The validation of the result is done by comparing the peak position of frequency with reference from EZ OMNIC program and kidney stone 1.3. They are spectral database. For example spectrum, in figure 6 is the results from whewellite. The multiresolution analysis with order 4 (level4) can identify 6 from 7 positions as same as the results from detrend analysis. Figure 7 is the results in weddellite. The result of detrend analysis can indicate 6 from 7 positions while only 5 from 7 positions from mutiresolution analysis method.

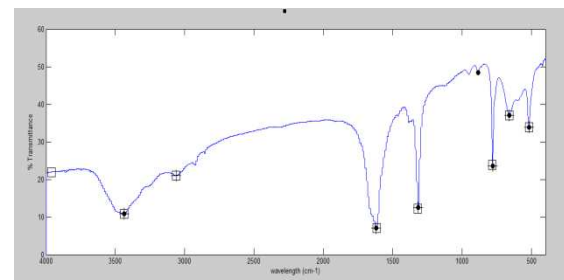


Figure 6. result for whewellite

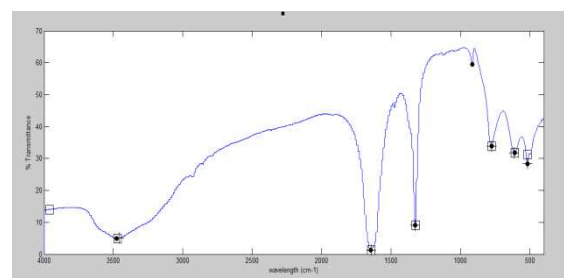


Figure 7. result for weddellite

#### 4.4 Experimental Error

The relative standard deviations (RSD) were used to calculate the analytical errors (6 spectra per sample) [19]. Results are shown in table. II. From the results of whewellite, RSD from both of analysis method was less than 0.5%. Excepting only the weak absorption band of O-H group at 886  $\text{cm}^{-1}$ , both of

method could not indicate this peak. In the part of results from weddellite, RSD values from MRA method was less than 0.5%. It could not indicate a small band at  $913\text{ cm}^{-1}$  in contrast to detrend analysis method that could do. It has RSD values at a small peak =0.96% while it has RSD less than 0.5% in other peaks.

## 5. Conclusion

Detrend analysis method using Daubechies wavelets functions order 4 level 4 can indicate peak frequency position for calcium stone's infrared spectrum with a few errors. It has %RSD in maximum range less than multiresolutions analysis method and this implementation will be the guideline for further interpreting infrared spectrum for other urinary stone.

## Acknowledgments

The author would like to acknowledge the Department of Electrical Engineering, Faculty of Engineering, Prince of Songkla University for providing the facilities to carry out this work.

## References

- [1] Montira Maraukatud, "Urinary Stone," vol.5, Bangkok: O.S. printing house, 2002, pp. 7-61.
- [2] Zhang Jing, Wang GuoZeng, Jiang Ning, Yang JiaWei, Gu Yan, and Yang Fang, "Analysis of urinary calculi composition by infrared spectroscopy: a prospective study of 625 patients in eastern China," *Urol Res*, vol. 38, pp. 111-115, 2010.
- [3] Scientific equipment center. (2011, Feb, 14). *Rate of service*. [Online]. Available: <http://www.sec.psu.ac.th/index2.php>.
- [4] P. Darnpawan and W. Rukachaisirikul, "Infrared Spectroscopy," in *Spectroscopy of Organic substance*, vol. 6, Songkla: Chemical Department, Prince of Songkla University, 2007, pp.208-270.
- [5] John Coates, "Interpretation of Infrared Spectra, A Practical Approach," *Encyclopedia of Analytical Chemistry*, R.A. Meyers, Ed. Chichester: John Wiley & Sons Ltd, pp. 10815-10837, 2000.
- [6] Saurin R.Shah, Manhar D.Desai, and Lalite Panchal. "Identification of Content Descriptive Parameters for Classification of Renal Calculi," *International Journal of Signal and Image Processing*, vol.1, no.4, pp. 255-259, 2010.
- [7] Shelly Morgan. (2011, Jul, 29). *Difference between calcium oxalate monohydrate & calcium oxalate dehydrate*. [Online]. Available: <http://www.livestrong.com/article/504734-difference-between-calcium-oxalate-monohydrate-calcium-oxalate-dihydrate/>
- [8] Channappa Bhyri, Kalpana. V, S.T.Hamde, and L.M. Waghmare, "Estimation of ECG features using LabVIEW," *TECHNIA*, vol. 2, No. 1, pp. 320-324, July 2009.
- [9] *LabVIEW: Advanced Signal Processing Toolkit*, National Instrument, USA. June, 2008.
- [10] T E Ayoob Khan, and P Vijayakumar. "Separating Heart Sound from Lung Sound Using LabVIEW," *International Journal of Computer and electrical Engineering*, vol. 2, no. 3, pp. 1793-8163, June, 2010.
- [11] LabVIEW for ECG Signal processing, <http://Zone.ni.com/devzone/cda/tut/p/id/6349>.
- [12] Miad Faezipour, Tarun M. Tiwari, Adnan Saeed, Mehrdad Nourani, and Lakshman S. Tamil, "Wavelet-Based Denoising and Beat Detection of ECG Signal," *2009 IEEE/NIH Life Science Systems and Applications Workshop (LiSSA 2009)*, pp. 100-103, 2009.
- [13] Kwang Eun Jang, Sungho Tak, Jinwook Jung, and Jeaduck Jang, "Wavelet minimum description length detrending for near-infrared spectroscopy," *Journal of Biomedical Optics*, vol. 14, no. 3(034004), May/June 2009.
- [14] Alexander Kai-man Leung, Foo-tim Chau, and Jun-bin Gao, "A review on applications of wavelet transform techniques in chemical analysis: 1989 – 1997," *Chemometrics and Intelligent Laboratory Systems*, vol. 43, pp.165-184, 1998.
- [15] Xue-Guang Shao, Alexander Kai-man Leung, and Foo-tim Chau, "Wavelet: A New Trend in Chemistry," *Acc Chem. Res.* 2003, vol. 36, pp. 276-283, 2003.
- [16] Hailin Shen, Jihong Wang, Yizeng Liang, Karin Pettersson, Mats Josefson, Johan Gottfries, and Frank Lee, "Chemical rank estimation by multiresolution analysis for two-way data in the presence of background," *Chemometrics and Intelligent Laboratory Systems*, vol. 37, pp. 261-269, Jan. 1997.
- [17] Daqi Zhan and Suqin Sun, "Application of Wavelet Transform in Improving Resolution of Two-Dimensional Infrared Correlation Spectroscopy," China: Springer-Verlag Berlin Heidelberg, ICIC 2005, Part II, LNCS 3645, pp. 356-365, 2005.
- [18] M. Bos and J.A.M. Vrieling, *Chemometrics and Intelligent Laboratory System*, vol. 23, pp. 115-122, 1994.
- [19] Abigail Matteson and Michael M. Herron, "Quantitative mineral analysis by Fourier transform Infrared spectroscopy," *SCA Conference*, no. 9308.



Table 2 Analytical Errors.

| Characteristics band                          | peak positions<br>(cm <sup>-1</sup> )* | whewellite |      |         |         |      |         | peak positions<br>(cm <sup>-1</sup> )* | weddellite |      |         |         |       |         |
|---|--|------------|------|---------|---------|------|---------|--|------------|------|---------|---------|-------|---------|
|   |  | MRA        |      |         | detrend |      |         |  | MRA        |      |         | detrend |       |         |
|   |  | mean       | SD   | RSD (%) | mean    | SD   | RSD (%) |  | mean       | SD   | RSD (%) | mean    | SD    | RSD (%) |
| O-H stretching vibration                      | 3438                                   | 3440.49    | 5.82 | 0.16    | 3439.37 | 4.93 | 0.14    | 3436                                   | 3462.40    | 8.75 | 0.25    | 3456.93 | 10.03 | 0.29    |
| C=O group stretching vibration                | 1619                                   | 1617.54    | 2.40 | 0.14    | 1619.79 | 0.75 | 0.04    | 1638                                   | 1644.63    | 3.33 | 0.20    | 1645.42 | 1.03  | 0.06    |
| symmetrical stretching vibration of C=O group | 1315                                   | 1320.81    | 5.25 | 0.39    | 1315.79 | 0.38 | 0.02    | 1326                                   | 1323.28    | 1.62 | 0.12    | 1326.18 | 0.20  | 0.01    |
| weak absorption band vibrations of O-H group  | 886                                    | -          | -    | -       | -       | -    | -       | 915                                    | -          | -    | -       | -       | -     | -       |
| C=O group                                     | 780                                    | 781.18     | 0.40 | 0.05    | 780.86  | 0.48 | 0.06    | 777                                    | 777.53     | 2.39 | 0.30    | 777.69  | 2.57  | 0.33    |
| vibration of O-H group                        | 660                                    | 662.96     | 2.87 | 0.43    | 663.44  | 2.21 | 0.33    | 610                                    | -          | -    | -       | 610.55  | 5.88  | 0.96    |
| vibration of C=O group                        | 517                                    | 519.38     | 0.76 | 0.14    | 519.60  | 0.81 | 0.15    | 517                                    | 517.60     | 0.49 | 0.09    | 517.6   | 0.49  | 0.09    |

\*This is peak frequency position reference from EZ OMNIC program